



TUGAS AKHIR - TM 141585

**ANALISIS TERMAL SISTEM UDARA KOMPRESI
BERTINGKAT (35-K-1A DAN 35-E) PADA PT
BADAK LNG**

NIA ROSALINA
NRP 2112 100 034

Dosen Pembimbing :
Dr. Ir. Budi Utomo Kukuh Widodo, ME

JURUSAN TEKNIK MESIN
Fakultas Teknologi Industri
Institut Teknologi Sepuluh Nopember
Surabaya 2016



FINAL PROJECT - TM 141585

**THERMAL ANALISYS OF MULTISTAGE
CENTRIFUGAL AIR COMPRESSOR (35-K-1A
AND 35-E) AT PT BADAK LNG**

NIA ROSALINA
NRP 2112 100 034

Supervisor :
Dr. Ir. Budi Utomo Kukuh Widodo, ME

MECHANICAL ENGINEERING DEPARTEMENT
Faculty Of Industrial Technology
Sepuluh Nopember Institute Of Technology
Surabaya 2016

**ANALISA TERMAL SISTEM UDARA KOMPRESI
BERTINGKAT (35-K-1A DAN 35-E) PADA PT BADAK
LNG**

TUGAS AKHIR

Diajukan Untuk Memenuhi Salah Satu Syarat
Memperoleh Gelar Sarjana Teknik
pada

Bidang Studi Konversi Energi
Program Studi S-1 Jurusan Teknik Mesin
Fakultas Teknologi Industri
Institut Teknologi Sepuluh Nopember

Oleh :

Nia Rosalina

Nrp. 2112 100 034

Disetujui oleh Tim Pengaji Tugas Akhir :

1. Dr. Ir. Budi Utomo Kukuh Widodo, M.E. (Pembimbing I)
NIP. 195312191981031001
2. Prof. Dr. Ir. Djatmiko Ichsan, M.Eng. (Pengaji I)
NIP. 195310191979031002
3. Ary Bachtiar K.P, ST, MT, PhD (Pengaji II)
NIP. 197105241997021001
4. Bambang Arip D, ST, M.Eng, PhD (Pengaji III)
NIP. 197804012002121001

SURABAYA
Januari , 2016

ANALISIS TERMAL SISTEM UDARA KOMPRESI BERTINGKAT (35-K-1A dan 35-E) PADA PT BADAK LNG

Nama : Nia Rosalina
NRP : 2112100034
Jurusan : Teknik Mesin FTI-ITS
**Dosen Pembimbing : Dr. Ir. Budi Utomo Kukuh Widodo,
M.E.**

Di dalam dunia industri, banyak sekali komponen penunjang proses produksi atau operasi dari sebuah pabrik diantaranya adalah pompa, kompresor, heat exchanger, turbin, dan boiler. PT Badak LNG menggunakan kompresor bertingkat untuk menunjang operasi pabrik. Di dalam sistem kompresor bertingkat terdapat sebuah komponen yang berfungsi untuk membantu kerja dari kompresor yakni komponen intercooler. Komponen ini berfungsi untuk menurunkan temperatur udara bertekanan keluaran satu tingkat kompresor yang akan masuk kedalam kompresor tingkat berikutnya. Operasi sistem kompresi bertingkat sering mengalami penurunan performansi. Penurunan performa ini sangat sering terjadi, terutama pada jenis kompresor tersebut. Penurunan performa diakibatkan oleh dua hal, yakni adanya penurunan tekanan pada intercooler dan terjadinya kebocoran di beberapa sambungan pipa. Oleh sebab itu diperlukan sebuah analisis termal untuk mengetahui pengaruh adanya penurunan tekanan yang terjadi di intercooler terhadap penurunan performa kompresor.

Metode analisis didasarkan pada analisis termodinamika dan perpindahan panas. Analisis termodinamika digunakan untuk meninjau kesetimbangan massa dan konservasi energi pada intercooler, sedangkan analisis perpindahan panas digunakan untuk meninjau unjuk kerja atau performa dari intercooler. Data yang didapat untuk analisis merupakan data hasil kerja praktik lapangan di PT Badak LNG

Berdasarkan dengan hasil penelitian dan perhitungan didapatkan bahwa nilai efisiensi per stage pada kompresor mengalami penurunan dibandingkan saat commissioning. Kemudian nilai effectiveness intercooler 2 terletak dibawah nilai effectiveness intercooler 1. Selain itu nilai pressure drop intercooler 2 lebih tinggi dibandingkan dengan intercooler 1 sehingga diindikasikan bahwa performa intercooler mengalami penurunan. Berdasarkan hasil penelitian didapatkan bahwa secara sistem kompresor masih berjalan dengan baik, namun sudah tidak sesuai dengan spesifikasi sehingga diindikasikan bahwa kompresor mengalami low performance.

Kata kunci: *Intercooler, Kompresor, Efisiensi*

THERMAL ANALYSIS OF MULTISTAGE AIR COMPRESSION SYSTEM (35-K-1A AND 35-E) AT PT BADAK LNG

Name : Nia Rosalina

NRP : 2112100034

Department : Mechanical Engineering

Supervisor : Dr. Ir. Budi Utomo Kukuh Widodo, M.E.

In the industrial, there are many equipment used for supporting the production process or the operation of a plant, for example pump, compressor, heat exchanger, turbine and boiler. PT Badak LNG use multistage compressor for supporting the operation process of the plant. In the multistage air compression system, there is equipment used for supporting the work of a compressor, that is intercooler. Intercooler is used for reducing the temperature of compressed air from the discharge of a stage before the compressed air enter the other stages. The multistage air compression system often has low performance especially for the compressor. The reduction of the performance is caused by two factors, there are reduction of the pressure in the intercooler and the presence of leakage in the pipe connection. Because of that, it requires a thermal analysis to know the effect of pressure drop in the intercooler to the performance of the compressor.

The analysis method is based on thermodynamic analysis and heat transfer. The thermodynamic analysis is used for analyzing mass balance and energy balance in the intercooler, while the heat transfer analysis is used for analyzing the performance of the compressor. Data used for analyzing is the result of internship at PT Badak LNG.

Based on the research and the calculation of the efficiency in the stage of compressor has decreased compared to commissioning. Then the effectiveness intercooler 2 value less than effectiveness intercooler 1. In addition the value of pressure

drop intercoolers 2 higher than the intercooler 1, that is to indicated the low performance of intercooler . Based on the the research showed that the system of compressor is still running well, but the indicated of compressor is low performance.

Keyword : Intercooler, Kompresor, Efficiency

KATA PENGANTAR

Puji syukur atas kehadiran Allah SWT yang telah memberikan rahmat serta hidayah-Nya sehingga penulis dapat melaksanakan dan menyelesaikan Tugas Akhir dengan judul Analisis Termal Sistem Udara Kompresi Bertingkat (35-K-1A dan 35-E) pada PT Badak LNG. Dalam penyusunan laporan ini saya telah mendapat bantuan dari berbagai pihak baik secara moril dan materi, sehingga dalam pembuatan laporan ini, saya dengan hormat mengucapkan terima kasih kepada

1. Ayah, Ibu, Mas Agung, Mas Antok, Mbak Gendis yang selalu memberikan doa yang tak ada hentinya, semangat, dan motivasi serta kasih sayangnya sehingga penulis dapat menyelesaikan Tugas Akhir ini dengan baik.
2. Eyang, Mbak Tuk, Om Didik, serta segenap keluarga besar dan saudara-saudaraku yang telah memberikan semangat dan doanya.
3. Bapak Dr. Ir. Budi Utomo Kukuh Widodo, M.E. selaku dosen pembimbing dan orang tua yang telah meluangkan waktu, tenaga, dan pikiran di tengah segala kesibukan, dan selalu membantu hingga penulis selesai mengerjakan Tugas Akhir dengan tepat waktu.
4. Bapak Ir. Bambang Pramujati, MSc, Eng, PhD selaku Ketua Jurusan Teknik Mesin ITS, seluruh dosen dan karyawan jurusan Teknik Mesin ITS yang telah banyak membantu baik akademis maupun non akademis.
5. Bapak Prof. Dr. Ir Djatmiko Ichsani, M.Eng; Ary Bachtiar K.P, ST., MT, PhD; Dr. Bambang Arip Dwiyantoro ST., M.Eng yang telah memberikan kritik dan saran dalam penyempurnaan tugas akhir ini.
6. Bapak Ir. Bobby Oedy Pramudyo, MSc, PhD sebagai dosen wali yang telah memberikan pengarahan selama masa perkuliahan penulis.

7. Bapak Zulbahri, Bapak Syaiful, Mas Bross dan segenap keluarga besar PT Badak yang telah memberikan bantuan, ilmu, dan motivasi kepada saya.
8. Segenap keluaga besar TAker's pakitem (Dian, Hayu, Bobby, Nazilah, Sekar, Ari, Maho, Raymond, Rony, dan Mbeng) yang telah membantu, memberikan semangat, memberi keceriaan, dan rasa kekeluargaan di dalam menyelesaikan TA
9. Yunita, Istina, Puput dan Clarissa yang telah memberikan semangat dan doa serta persahabatan selama menjalani perkuliahan di Teknik Mesin
10. Divisi Umum (Heri, Tuwek, Tegar, Azis) yang telah menemani di dalam kepengurusan di Bengkel
11. Segenap kelurga besar Lembaga Bengkel Mahasiswa Mesin yang telah memberikan ilmu, kekeluargaan, ilmu, kenangan dan yang terbaik kepadaku
12. Seluruh angkatan M55 yang telah memberikan dukungan moril, dan kehangatan keluarga di Teknik Mesin
13. Para penghuni laboratorium perpan yang telah membantu dan mengisi hari-hariku, dan telah memberikan kenangan
14. Bayu sebagai orang spesial yang telah banyak memberikan motivasi, ilmu dan sekaligus membantu saya di setiap saat
15. Seluruh pihak yang belum disebutkan di atas yang telah memberikan doa, bantuan, dan dukungannya bagi penulis hingga tugas akhir ini dapat terselesaikan dengan baik dan tepat waktu.

Dalam segala keterbatasan, kemampuan, serta pengetahuan penulis, tidak menutup kemungkinan Tugas Akhir ini jauh dari kesempurnaan. Oleh karena itu, penulis mengharapkan kritik dan saran demi kesempurnaan tugas akhir ini. Akhirnya, penulis berharap semoga tugas akhir ini dapat memberikan bermanfaat bagi semua pihak.

Surabaya, Januari 2016
Penulis

DAFTAR ISI

| | |
|--|------|
| JUDUL | |
| HALAMAN PENGESAHAN | |
| ABSTRAK | i |
| ABSTRACT | iii |
| KATA PENGANTAR | v |
| DAFTAR ISI | vii |
| DAFTAR GAMBAR | xi |
| DAFTAR TABEL | xiii |
| DAFTAR SIMBOL | xv |
| | |
| BAB I PENDAHULUAN | 1 |
| 1.1 Latar Belakang | 1 |
| 1.2 Rumusan Masalah | 5 |
| 1.3 Tujuan Penelitian | 5 |
| 1.4 Manfaat Penelitian | 5 |
| 1.5 Batasan Masalah | 6 |
| | |
| BAB II TINJAUAN PUSTAKA | 7 |
| 2.1 Gambaran Umum Plant 35 di PT Badak LNG | 7 |
| 2.2 Kompresor 35-K-1A | 9 |
| 2.3 <i>Intercooler</i> 35-E di PT Badak LNG | 11 |
| 2.4 Dasar Penelitian dan Perhitungan | 12 |
| 2.4.1 Analisis Termodinamika Secara Umum | 12 |
| 2.4.1.1 Analisis Termodinamika pada Kompresor | 13 |
| 2.4.1.2 Analisis Termodinamika pada <i>Intercooler</i> | 17 |
| 2.4.2 Analisis Perpindahan Panas | 19 |
| 2.4.2.1 Analisis <i>Heat Exchanger</i> dengan Metode <i>Number of Transfer Unit</i> (NTU)..... | 19 |
| 2.4.2.2 <i>Pressure Drop</i> pada <i>Finned Tube</i> <i>Exchanger</i> | 22 |
| 2.5 Penelitian Terdahulu | 23 |
| 2.5.1 Aloysius Eddy Liemena ^[1] | 23 |

| | |
|--|-----------|
| 2.5.2 Lopata Stanislaw and Oclocz, Paweł ^[4] | 24 |
| BAB III METODOLOGI PENELITIAN | 27 |
| 3.1 Secara umum | 27 |
| 3.2 Metodologi | 27 |
| 3.3 Pengumpulan Data | 28 |
| 3.3.1 Objek Penelitian | 28 |
| 3.3.2 Spesifikasi <i>Intercooler</i> 35-E di PT Badak LNG | 29 |
| 3.3.3 Data Operasi | 30 |
| 3.3.3.1 Data <i>Performance Test</i> | 30 |
| 3.3.3.2 Data Comissioning | 35 |
| 3.4 Flowchart Perhitungan | 37 |
| BAB IV ANALISIS dan PEMBAHASAN | 41 |
| 4.1 Data Operasi | 41 |
| 4.2 Analisis Berdasarkan Termodinamika | 42 |
| 4.2.1 Analisis pada Kompresor | 42 |
| 4.2.2 Analisis pada <i>Intercooler</i> | 42 |
| 4.3 Analisis Perpindahan Panas pada <i>Intercooler</i> | 45 |
| 4.4 Analisis Daya Motor | 57 |
| 4.5 Pembahasan | 57 |
| 4.5.1 Grafik Efisiensi per <i>Stage</i> Kompresor Terhadap Bukaan | 57 |
| 4.5.2 Grafik <i>Effectiveness Intercooler</i> Terhadap Bukaan | 63 |
| 4.5.3 Grafik <i>Pressure Drop (Δp) Intercooler</i> Terhadap Bukaan | 67 |
| 4.5.4 Grafik $P_{motor}/\Delta p$, $P_{motor}/\Delta T$ terhadap Bukaan | 70 |
| 4.5.5 Grafik Efisiensi terhadap Penurunan Tekanan pada <i>Intercooler</i> | 74 |
| BAB V KESIMPULAN DAN SARAN | 79 |
| 5.1 Kesimpulan | 79 |
| 5.2 Saran | 80 |

| | |
|-----------------------|-----|
| Daftar Pustaka | 81 |
| Lampiran | 83 |
| Lampiran A | 84 |
| Lampiran B | 141 |
| Biodata Penulis | 147 |

“Halaman Ini Sengaja Dikosongkan”

DAFTAR GAMBAR

| | | |
|-------------|--|----|
| Gambar 1.1 | Kompresor 35-K-1A | 2 |
| Gambar 1.2 | <i>Intercooler</i> | 2 |
| Gambar 1.3 | Skema Sistem Kompresor | 3 |
| Gambar 2.1 | <i>Plant 35</i> | 8 |
| Gambar 2.2 | Skema Sistem | 9 |
| Gambar 2.3 | Diagram P-V untuk kompresor yang menggunakan <i>intercooler</i> dan dalam keadaan ideal dan ketika ada pengotoran (<i>fouling</i>) | 9 |
| Gambar 2.4 | Bentuk dari <i>Intercooler</i> | 12 |
| Gambar 2.5 | Skema sistem | 13 |
| Gambar 2.6 | Perbandingan antara Kompresi Nyata dan Isentropik ^[5] | 15 |
| Gambar 2.7 | Grafik <i>Typical Compressor Performance</i> | 16 |
| Gambar 2.8 | Kesetimbangan <i>Massa</i> pada <i>Intercooler</i> | 17 |
| Gambar 2.9 | Kesetimbangan Energi pada <i>Intercooler</i> | 18 |
| Gambar 2.10 | Grafik NTU vs <i>Effectiveness</i> ^[3] | 21 |
| Gambar 2.11 | Pemodelan <i>tube</i> dengan menggunakan ANSYS CFX | 25 |
| Gambar 3.1 | <i>Flowchart</i> Analisis | 27 |
| Gambar 3.2 | Komponen <i>Intercooler 35-E-1</i> | 28 |
| Gambar 3.3 | <i>Intercooler</i> Tampak Atas | 28 |
| Gambar 3.4 | <i>Flowchart</i> Perhitungan | 37 |
| Gambar 4.1 | Skema Kompresor 3 stage dengan 2 <i>intercooler</i> .. | 42 |
| Gambar 4.2 | Skema Kompresor stage 1 | 42 |
| Gambar 4.3 | Skema <i>Intercooler 1</i> pada sistem | 44 |
| Gambar 4.4 | Skema <i>Intercooler 1</i> | 44 |
| Gambar 4.5 | Area <i>Primary</i> dan <i>Fin</i> pada Komponen <i>Intercooler</i> | 47 |
| Gambar 4.6 | <i>Cross Sectional Area</i> dari <i>intercooler</i> | 48 |
| Gambar 4.7 | Susunan <i>Tube Staggered</i> | 49 |
| Gambar 4.8 | a) Grafik Bukaan terhadap Efisiensi Kompresor Stage 1, (b) Grafik Bukaan terhadap Efisiensi Kompresor Stage 2, dan | |

| | | |
|-------------|--|----|
| | (c) Grafik Bukaan terhadap Efisiensi Kompresor <i>Stage 3</i> | 60 |
| Gambar 4.9 | Grafik Bukaan Terhadap <i>Effectiveness Intercooler</i> | 65 |
| Gambar 4.10 | Grafik Bukaan Terhadap <i>Pressure Drop Intercooler</i> (ΔP) | 69 |
| Gambar 4.11 | (a) Grafik $P_{motor} / \Delta p$ terhadap Bukaan , (b) Grafik $P_{motor} / \Delta T$ terhadap Bukaan | 70 |
| Gambar 4.12 | (a) Grafik Penurunan Tekanan <i>Intercooler</i> terhadap Efisiensi Kompresor <i>Stage 1</i> , (b) Grafik Penurunan Tekanan <i>Intercooler</i> terhadap Efisiensi Kompresor <i>Stage 2</i> , dan (c) Grafik Penurunan Tekanan <i>Intercooler</i> terhadap Efisiensi Kompresor <i>Stage 3</i> | 75 |

DAFTAR TABEL

| | | |
|------------|--|----|
| Tabel 3.1 | Spesifikasi Intercooler | 29 |
| Tabel 3.2 | Data <i>Performance Test</i> pada 30 Desember 2014 | 32 |
| Tabel 3.3 | Data <i>Performance Test</i> pada Kompressor 19 Januari 2015 | 33 |
| Tabel 3.4 | Data <i>Performance Test</i> pada Kompressor 19 April 2015 | 34 |
| Tabel 3.5 | Data Temperatur saat <i>Commisioning</i> | 35 |
| Tabel 3.6 | Data <i>Pressure</i> saat <i>Commisioning</i> | 36 |
| Tabel 4.1 | Data Dimensi <i>Fin</i> pada <i>Intercooler</i> | 41 |
| Tabel 4.2 | Data <i>performance test</i> pada bukaan 100 di bulan Desember 2014 | 43 |
| Tabel 4.3 | Data Efisiensi per <i>Stage</i> Kompresor Terhadap Bukaan pada Data <i>Comissioning</i> | 58 |
| Tabel 4.4 | Data Efisiensi per <i>Stage</i> Kompresor Terhadap Bukaan pada Data Bulan Desember 2014..... | 58 |
| Tabel 4.5 | Data Efisiensi per <i>Stage</i> Kompresor Terhadap Bukaan pada Data Bulan Januari 2015 | 59 |
| Tabel 4.6 | Data Efisiensi per <i>Stage</i> Kompresor Terhadap Bukaan pada Data Bulan April 2015 | 59 |
| Tabel 4.7 | Data <i>Effectiveness Intercooler</i> Terhadap Bukaan pada Data <i>Comissioning</i> | 63 |
| Tabel 4.8 | Data <i>Effectiveness Intercooler</i> Terhadap Bukaan pada Data Bulan Desember | 64 |
| Tabel 4.9 | Data <i>Effectiveness Intercooler</i> Terhadap Bukaan pada Data Bulan Januari 2015 | 64 |
| Tabel 4.10 | Data <i>Effectiveness Intercooler</i> Terhadap Bukaan pada Data Bulan April 2015 | 65 |
| Tabel 4.11 | Data <i>Pressure Drop Intercooler</i> Terhadap Bukaan pada Data <i>Comissioning</i> | 67 |
| Tabel 4.12 | Data <i>Pressure Drop Intercooler</i> Terhadap Bukaan pada Data Bulan Desember 2014..... | 67 |
| Tabel 4.13 | Data <i>Pressure Drop Intercooler</i> Terhadap Bukaan pada Data Bulan Januari 2015 | 68 |

| | |
|---|----|
| Tabel 4.14 Data <i>Pressure Drop Intercooler</i> Terhadap Bukaan pada Data Bulan April 2015 | 68 |
| Tabel 4.15 Data $P_{motor}/\Delta p$ dan $P_{motor}/\Delta T$ Terhadap Bukaan pada Data <i>Comissioning</i> | 70 |
| Tabel 4.16 Data $P_{motor}/\Delta p$ dan $P_{motor}/\Delta T$ Terhadap Bukaan pada Data Bulan Desember 2014 | 71 |
| Tabel 4.17 Data $P_{motor}/\Delta p$ dan $P_{motor}/\Delta T$ Terhadap Bukaan pada Data Bulan Januari 2015 | 71 |
| Tabel 4.18 Data $P_{motor}/\Delta p$ dan $P_{motor}/\Delta T$ Terhadap Bukaan pada Data Bulan April 2015 | 72 |

DAFTAR SIMBOL

| | |
|--------------------------------|---|
| \dot{Q} | : laju alir panas (Watt) |
| \dot{W} | : laju kerja (Watt) |
| \dot{m} | : laju alir massa zat (kg/s) |
| v | : kecepatan fluida (m/s) |
| h | : <i>enthalphy</i> (kJ/kg) |
| z | : ketinggian (m) |
| $\frac{\dot{W}_{cv}}{\dot{m}}$ | : kerja per satuan massa ($\frac{\text{kJ}}{\text{kg}}$) |
| h_2 | : entalphy keluar kompresor secara actual ($\frac{\text{kJ}}{\text{kg}}$) |
| h_1 | : entalphy masuk kompresor($\frac{\text{kJ}}{\text{kg}}$) |
| h_{2s} | : entalphy keluar kompresor isentropik($\frac{\text{kJ}}{\text{kg}}$) |
| U | : nilai <i>overall heat transfer</i> (W/m ² .K) |
| $R_{f,i}^{"}$ | : nilai <i>fouling factor</i> (m ² .K/W) |
| h_i | : nilai <i>coefficient convection</i> (W/m ² .K) |
| A | : luas permukaan (m ²) |
| A_f | : luas permukaan fin (m ²) |
| A_c | : luas <i>crosssection area</i> (m ²) |
| d_o | : diameter <i>outer</i> (m) |
| L_1 | : tinggi komponen <i>intercooler</i> (m) |
| N_f | : banyaknya jumlah fin per tinggi dari komponen <i>intercooler</i> (unit/m) |
| N_t | : jumlah <i>tube</i> (unit) |
| L_2 | : panjang komponen <i>intercooler</i> (m) |
| L_3 | : lebar komponen <i>intercooler</i> (m) |
| δ | : ketebalan <i>fin</i> (m) |
| h | : koefisien konveksi (W/ m ² .K) |
| k_f | : koefisien konduksi alumunium (W/ m.K) |
| L_2 | : panjang <i>fin</i> (m) |
| L_1 | : panjang <i>tube</i> (m) |
| L_3 | : lebar <i>fin</i> (m) |
| V | : kecepatan <i>tube</i> (m/s) |

| | |
|-------------|---|
| k | : <i>koefisien losses pada valve, dll</i> |
| c_p | : panas spesifik (kJ/kg.K) |
| Q | : debit (m^3/s) |
| R | : konstanta gas (kJ/kg.K) |
| ρ | : massa jenis (kg/m^3) |
| G | : massa flux ($kg/m^2.s$) |
| ϑ | : viskositas kinematis (m^2/s) |
| f | : <i>friction factor</i> |
| R_w | : <i>Resintance wall</i> (K/W) |
| ϵ | : <i>Effectiveness</i> |
| NTU | : <i>Number Transfer Of Unit</i> |
| m | : <i>fin parameter</i> (1/m) |
| Δp | : <i>Pressure Drop</i> (kgf/cm ²) |
| P_{motor} | : Daya Motor (kWatt) |

BAB I

PENDAHULUAN

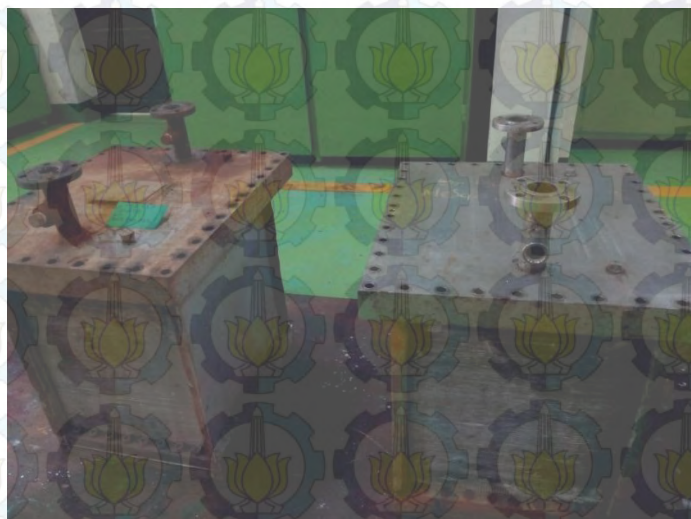
1.1 Latar Belakang

Di dalam dunia industri, banyak sekali komponen penunjang proses produksi atau operasi dari sebuah pabrik. Komponen tersebut adalah pompa, kompresor, *heat exchanger*, turbin, dan boiler. Penggunaan komponen tersebut disesuaikan dengan kebutuhan di industri yang bersangkutan. Salah satu komponen yang umum digunakan dalam dunia industri di Indonesia adalah kompresor. Kompresor berperan penting dalam menunjang proses produksi, sehingga kompresor diharapkan dalam kondisi yang prima.

PT Badak LNG menggunakan kompresor untuk menunjang operasi di pabrik. Kompresor di PT Badak LNG, termasuk dalam kompresor udara (*air compressor*). Kompresor ini berfungsi untuk menghasilkan udara bertekanan yang dibutuhkan pada *utility air*, *instrument air*, dan pengasilan umpan N₂. Kompresor terdiri dari 4 buah yakni kompresor 35-K-1A, 35-K-1B, 35-K-1C dan 35-K-1D, yang memiliki spesifikasi yang sama. Kompresor ini termasuk dalam jenis kompresor sentrifugal dan terdiri dari 3 *stage*. Kompresor dilengkapi dengan 2 buah *intercooler* yang berada antara *stage* 1 dan 2 serta berada diantara *stage* 2 dan 3. Selain itu, kompresor ini juga dilengkapi dengan 1 buah *aftercooler* yang berada setelah *stage* 3.

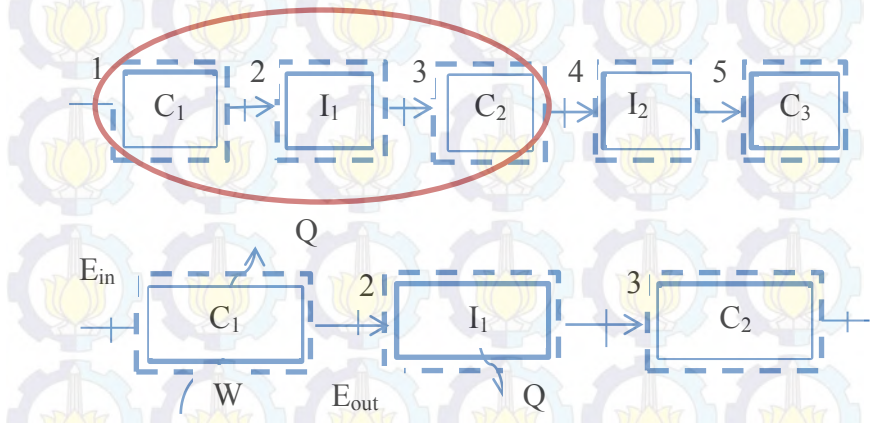


Gambar 1.1 Kompresor 35-K-1A



Gambar 1.2 Intercooler

Penelitian ini akan membahas tentang kompresor 35-K-1A dan *intercooler* 35-E yang digunakan di PT Badak LNG. *Intercooler* 35-E termasuk dalam jenis *finned-tube compact heat exchanger*. Komponen ini berfungsi untuk menurunkan temperatur udara bertekanan yang keluar dari *discharge* setiap *stage* pada kompresor. *Intercooler* dibagi menjadi 2 bagian yakni bagian *fin* dan bagian *tube*. Fluida yang mengalir pada sisi *fin* adalah udara bertekanan, sedangkan pada bagian *tube* dialiri oleh air laut. Salah satu permasalahan yang sering terjadi pada *intercooler* 35-E adalah adanya *fouling* (pengotoran) pada *inlet tube* dan *fin* di *intercooler*. Pengotoran ini menyebabkan *pressure drop* yang dialami oleh *intercooler* menjadi meningkat. Tak hanya itu *fouling* juga menyebabkan perpindahan panas yang terjadi pada komponen ini menjadi berkurang. Hal ini dapat dibuktikan dari hipotesa berikut :



Gambar 1.3 Skema Sistem Kompresor

Dari skema diatas diketahui bahwa kalor yang dilepaskan oleh fluida panas (udara bertekanan) di dalam kompresor menjadi berkurang akibat adanya *fouling* di *intercooler*. *Fouling* ini menyebabkan fluida dingin (air laut) tidak dapat menyerap kalor dari fluida panas (udara bertekanan) sesuai dengan spesifikasi desain. Dengan meninjau persamaan :

$$Q' = U A \Delta T'$$

$$Q_{act} = U A \Delta T$$

dengan :

- Q' = kalor yang dilepaskan oleh udara bertekanan saat ada *fouling*
- Q_{act} = kalor yang dilepaskan oleh udara bertekanan saat keadaan bersih
- U = nilai *overall heat transfer coefficient*
- A = luas penampang
- ΔT = perbedaan temperatur saat keadaan bersih
- $\Delta T'$ = perbedaan temperatur saat adanya *fouling*

Diketahui bahwa jika ada *fouling* maka nilai *overall heat transfer coefficient* (U) turun akibat nilai *thermal resistance* yang naik. Selain itu luas penampang pada *fin* dan *tube* juga berkurang. Hal ini menyebabkan nilai Q' menjadi turun.

Selain itu *fouling* juga menyebabkan nilai *pressure drop* meningkat, sehingga nilai P_2 menjadi berkurang sesuai dengan perumusan berikut :

$$\Delta p = P_1 - P_2$$

dengan :

- P_2 : tekanan udara bertekanan saat keluar dari *intercooler*
- P_1 : tekanan udara bertekanan saat masuk *intercooler*

Akibat adanya *fouling* nilai *pressure drop* menjadi naik sebagai akibat dari nilai *friction factor* yang meningkat. Hal ini dapat menyebabkan nilai P_2 menjadi turun sehingga berpengaruh terhadap performa kompresor *stage* selanjutnya. Oleh karena itu perlu adanya sebuah analisis *thermal* pada sistem udara kompresi bertingkat pada kompresor 35-K-1A dan *intercooler* 35-E untuk

mengetahui pengaruh adanya penurunan tekanan di *intercooler* tersebut terhadap penurunan performa kompresor.

1.2 Rumusan Masalah

Penurunan performa pada kompresor 35-K-1A menyebabkan *supply* udara bertekanan yang dibutuhkan untuk operasi pabrik menjadi berkurang. Penurunan performa ini menyebabkan tekanan yang keluar dari *stage 3* kompresor tidak sesuai dengan spesifikasi desain yaitu sebesar $9,1 \text{ kg/cm}^2$. Penurunan tekanan ini sangat sering terjadi, terutama pada jenis kompresor tersebut. Penurunan performa diakibatkan oleh dua hal, yakni adanya *fouling* (pengotoran) pada *intercooler* dan terjadinya kebocoran di beberapa sambungan pipa. Oleh sebab itu diperlukan sebuah analisis *thermal* pada sistem udara kompresi bertingkat pada kompresor 35-K-1A dan *intercooler* 35-E untuk mengetahui pengaruh adanya penurunan tekanan di *intercooler* terhadap penurunan performa kompresor. Analisis *thermal* akan dilakukan dalam bentuk perhitungan sesuai dengan perumusan termodinamika dan perpindahan panas.

1.3 Tujuan Penelitian

Berdasarkan latar belakang dan rumusan masalah tersebut, maka tujuan penelitian adalah :

1. Untuk mengetahui dampak adanya penurunan tekanan yang terjadi pada *intercooler* terhadap performa kompresor
2. Untuk mengetahui performa kompresor dan *intercooler* dengan menggunakan analisis *thermal*

1.4 Manfaat Penelitian

Manfaat dari penelitian ini sebagai berikut:

1. Mengetahui aplikasi dari ilmu termodinamika dan perpindahan panas serta menerapkannya pada *heat exchanger* dan kompresor

2. Untuk mendapatkan performa dari *intercooler* dan kompresor yang lebih baik

1.5

Batasan Masalah

Batasan masalah dan asumsi yang digunakan pada aplikasi ini adalah :

1. Pengambilan data dilakukan pada operasi *plant 35* di PT Badak LNG
2. Kondisi operasi *steady state*
3. Proses perpindahan panas secara radiasi diabaikan
4. Aliran udara dalam pipa diasumsikan *fully developed*
5. Pengaruh energi kinetik dan potensial diabaikan

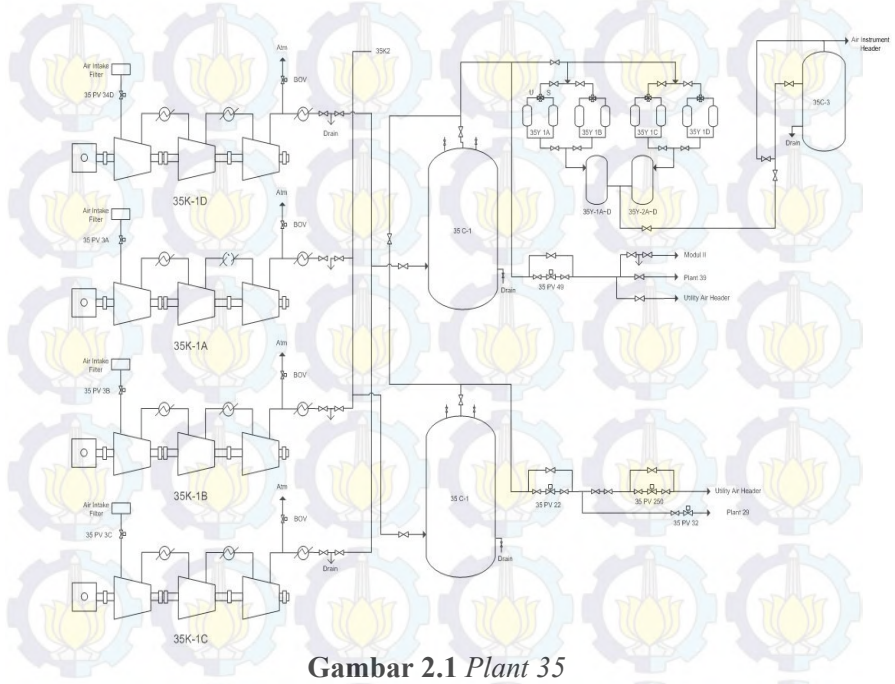
BAB II

TINJAUAN PUSTAKA

2.1 Gambaran Umum *Plant 35* di PT Badak LNG

Plant 35 di PT Badak LNG adalah salah satu *plant* yang berfungsi sebagai pembangkit udara bertekanan saat pabrik beroperasi. Udara bertekanan diperlukan untuk keperluan instrumentasi, *utility air*, dan sebagai umpan N₂. *Plant 35* terdiri dari 6 komponen utama yakni kompresor, *cooler*, *air intake filter*, *air drier*, *plant receiver*, dan *instrument air receiver*. Kompresor berfungsi untuk menyediakan udara bertekanan. *Cooler* berfungsi untuk mendinginkan udara bertekanan yang keluar dari *discharge* kompresor. *Air intake filter* berfungsi sebagai saluran udara masuk dari atmosfer menuju kompresor. *Air drier* berfungsi untuk menyerap kandungan air yang masih terkandung pada udara bertekanan. *Plant receiver* berfungsi untuk menampung udara bertekanan yang keluar dari kompresor. *Instrumen air receiver* berfungsi untuk menampung *air instrument* sebelum didistribusikan ke *header air instrument*. Hubungan antar komponen diatas dapat dilihat pada gambar berikut :

AIR COMPRESSOR AND AIR INSTRUMENT

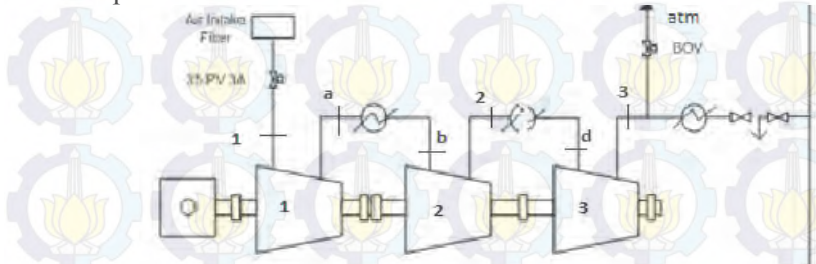


Gambar 2.1 Plant 35

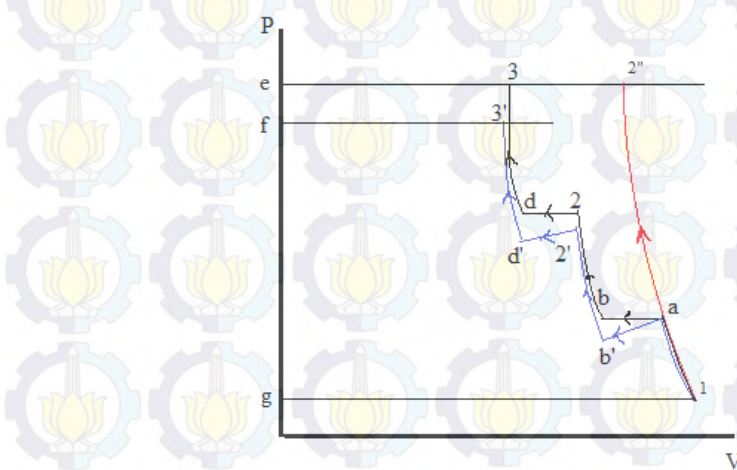
Pada gambar 2.1 dapat terlihat bahwa udara bertekanan dihasilkan oleh kompresor centrifugal tiga stage yakni kompresor 35-K-1A, 35-K-1B, 35-K-1C, dan 35-K-1D. Udara bertekanan bersumber dari udara atmosfer yang dikompresikan hingga mencapai tekanan $9.1 \text{ kg/cm}^2 \text{ gauge}$ dan didinginkan hingga 35°C . Ketika udara bertekanan masuk ke kompresor, terjadi tiga proses pendinginan yang melibatkan 2 buah *intercooler* dan 1 buah *aftercooler*. Pendinginan udara bertekanan bertujuan untuk menurunkan temperatur dari udara tekan yang keluar dari *discharge* kompresor stage sebelumnya. Setelah udara bertekanan keluar dari kompresor dan *aftercooler*, akan masuk pada *air drier* untuk dikeringkan sebelum ditampung pada *plant air receiver*.

2.2 Kompresor 35-K-1A

Kompresor 35-K-1A adalah salah satu kompresor yang berfungsi untuk menghasilkan udara bertekanan yang dibutuhkan saat operasi pada pabrik. Kompresor ini diasumsikan bekerja dalam keadaan isentropik. Berikut adalah skema dari sistem di kompresor :



Gambar 2.2 Skema Sistem



Gambar 2.3 Diagram P-V untuk kompresor yang menggunakan *intercooler* dan dalam keadaan ideal dan ketika ada pengotoran (*fouling*)

Pada diagram P-V diatas, terdapat 3 buah grafik yakni grafik berwarna merah, hitam, dan hijau. Tiga grafik tersebut menunjukkan keadaan atau kondisi dari sistem kompresor. Grafik berwarna merah menunjukkan keadaan kompresor tanpa menggunakan *intercooler*. Grafik berwarna hitam menunjukkan keadaan kompresor dengan menggunakan *intercooler* saat keadaan ideal (bersih), sedangkan grafik berwarna hijau menunjukkan keadaan kompresor dengan menggunakan *intercooler* saat mengalami *fouling* (pengotoran).

Grafik berwarna merah adalah grafik sebuah kompresor *single stage* yang bekerja tanpa menggunakan *intercooler*. Daerah e-g-1-2" merupakan daerah yang menunjukkan kerja yang dilakukan oleh kompresor. Dapat dilihat bahwa kerja yang dibutuhkan oleh kompresor tanpa menggunakan *intercooler* lebih besar jika dibandingkan dengan kompresor yang menggunakan *intercooler*. Kerja yang dibutuhkan ini dapat dilihat dari besarnya luasan daerah yang ditunjukkan oleh daerah e-g-1-2".

Grafik berwarna hitam menunjukkan kerja kompresor dan *intercooler* saat keadaan bersih (ideal). Saat kompresor dan *intercooler* dalam keadaan bersih (ideal), udara bertekanan dikompresikan pada *stage* 1 dan digambarkan sebagai proses 1-a. Kemudian udara bertekanan masuk ke dalam *intercooler* 1 yang digambarkan sebagai proses a-b. Setelah temperatur udara bertekanan mencapai 43°C, kemudian dikompreksi kembali pada *stage* 2 kompresor dan digambarkan sebagai proses b-2. Kemudian udara bertekanan masuk kembali ke dalam *intercooler* 2 yang digambarkan sebagai proses 2-c, sebelum dikompreksi kembali pada *stage* 3 kompresor dan ditunjukkan dengan proses c-3. Di dalam keadaan bersih *intercooler* tidak memiliki nilai *pressure drop* sehingga grafik yang terjadi tetap linier seperti diatas.

Namun di dalam kenyataannya *intercooler* mengalami *fouling* (pengotoran), sehingga terjadi *pressure drop* dan menyebabkan tekanan *stage* berikutnya pada kompresor menjadi berkurang. Akibat adanya *fouling*, tekanan pada *intercooler*

mengami penurunan sehingga tingkat keadaan tekanan pada grafik P-V menjadi menurun. Hal ini dapat ditunjukkan pada grafik berwarna biru pada diagram P-V diatas. Penurunan tekanan ini menyebabkan tekanan udara yang diharapkan masuk pada *stage* berikutnya di dalam kompresor tidak tercapai. Oleh sebab itu, dikatakan bahwa kompresor mengalami penurunan performa diakibatkan tekanan udara bertekanan dibawah spesifikasi desain.

2.3 *Intercooler 35-E di PT Badak LNG*

Intercooler 35-E adalah salah satu tipe alat penukar panas (*heat exchanger*) yang digunakan di PT Badak LNG. *Intercooler* berbentuk *finned tubular heat exchanger*, atau lebih dikenal dengan nama *compact heat exchanger*. Alat ini berfungsi untuk menurunkan temperatur udara bertekanan yang keluar dari *discharge* setiap *stage* pada kompresor 35-K-1A. Komponen ini membantu kerja dari kompresor. Namun, komponen ini sering mengalami permasalahan yakni adanya *fouling* pada bagian *tube* sehingga komponen ini tidak dapat menurunkan temperatur sesuai dengan spesifikasi desain. Tak hanya itu *fouling* juga terjadi pada sisi *fin*.

Fouling (pengotoran) pada *intercooler* disebabkan oleh jenis fluida yang masuk kedalam *intercooler*. Fluida yang masuk pada *tube* adalah fluida air laut, sehingga pada *tube* terdapat faktor pengotor yang sesuai *design* sebesar $0,000176 \text{ m}^2 \cdot \text{K/W}$ dengan kecepatan ($v > 0,9 \text{ m/s}$). Sedangkan fluida yang masuk pada *fin* adalah udara bertekanan, sehingga pada sisi *fin* terdapat faktor pengotor sebesar $0,000176 \text{ m}^2 \cdot \text{K/W}$. Namun pada kenyataannya nilai faktor pengotor pada sisi *tube* dan *fin* lebih besar dari *design* yang ada. Oleh sebab itu *fouling* (pengotor) ini menyebabkan luas penampang dari *tube* dan *fin* menjadi berkurang. Hal ini menyebabkan laju perpindahan panas dan *effectiveness* pada *intercooler* menjadi berkurang. Selain itu *fouling* juga menyebabkan nilai *pressure drop* pada *intercooler* menjadi meningkat. Berikut adalah gambaran dari *intercooler 35-E*:



Gambar 2.4 Bentuk dari *Intercooler*

Pada gambar 2.4 dapat dilihat bahwa komponen dari *intercooler* dibagi menjadi 2 bagian yakni bagian *tube* dan bagian *fin*. Fluida yang melewati *tube* adalah air laut, sedangkan pada bagian *fin* dilewati oleh udara bertekanan.

2.4 Dasar Penelitian dan Perhitungan

2.4.1. Analisis Termodinamika Secara Umum

Pada saat kondisi *steady*, *massa* yang berada di dalam volume atur dan pada daerah *control volume* (pembatas) tidak mengalami perubahan berdasarkan waktu sesuai dengan gambar 2.5. Perpindahan energi dan laju aliran *massa* juga konstan terhadap waktu. Sehingga prinsip hukum konservasi *massa* dapat dilihat pada persamaan berikut :

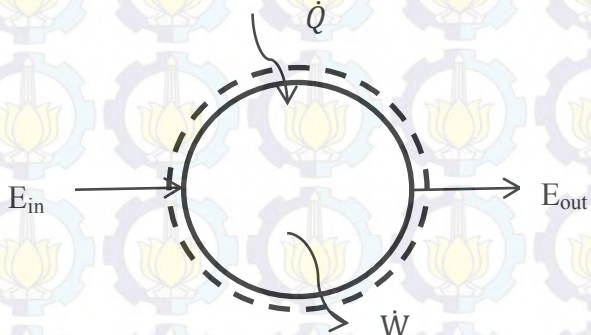
$$\frac{dm_{cv}}{dt} = \sum \dot{m}_i - \sum \dot{m}_e \quad \dots \dots \dots \quad (2.1)$$

$$\frac{dm_{cv}}{dt} = 0$$

$$\sum \dot{m}_i = \sum \dot{m}_e \quad \dots \dots \dots \quad (2.2)$$

Sedangkan kekekalan energi pada volume atur sesuai dengan Hukum I Termodinamika adalah sebagai berikut :

$$\frac{dE_{cv}}{dt} = \dot{Q} - \dot{W} + \sum \dot{m}_{in} \left(h_1 + \frac{V^2}{2} + gz_1 \right) - \sum \dot{m}_{out} \left(h_2 + \frac{V^2}{2} + gz_2 \right) \dots \dots \dots (2.3)$$



Gambar 2.5 Skema sistem

Selama proses berjalan *steady*, maka total energi pada *control volume* adalah konstan ($E_{cv} = constant$), sehingga $dE_{cv}/dt = 0$. Sehingga persamaan dinyatakan sebagai berikut :

$$\dot{Q} - \dot{W} + \sum \dot{m}_{in} \left(h_1 + \frac{V^2}{2} + gz_1 \right) - \sum \dot{m}_{out} \left(h_2 + \frac{V^2}{2} + gz_2 \right) = 0 \dots \dots \dots (2.4)$$

dengan :

- \dot{Q} = Laju alir panas (Watt)
- \dot{W} = Laju kerja (Watt)
- \dot{m} = Laju alir massa zat (kg/s)
- v = Kecepatan zat (m/s)
- h = *Enthalpy* (kJ/kg)
- z = Ketinggian (m)

2.4.1.1. Analisis Termodinamika pada Kompresor

Kompresor 35-K-1A bekerja secara isentropik sehingga efisiensi untuk kompresor ini dapat ditunjukkan pada diagram

Moliier seperti pada gambar 2.6. Diagram tersebut menunjukkan proses yang dialami oleh kompresor isentropic dan nyata .

Dari diagram tersebut diketahui bahwa keadaan saat memasuki kompresor dan tekanan keluar adalah tetap. Dengan perpindahan kalor, energi kinetik dan energi potensial diabaikan, maka kerja per satuan massa yang mengalir melewati kompresor secara *actual* adalah :

$$\left(-\frac{\dot{W}_{cv}}{\dot{m}}\right) = h_2 - h_1 \quad \dots \dots \dots \quad (2.5)$$

Sedangkan karena kompresor 35-K-1A bekerja secara isentropik maka kerja per satuan massa yang mengalir melewati kompresor dapat dinyatakan sebagai berikut :

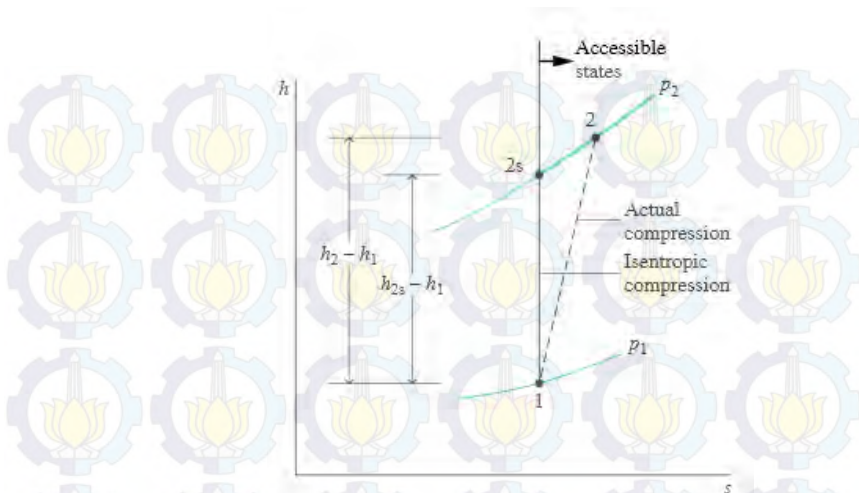
$$\left(-\frac{\dot{W}_{cv}}{\dot{m}}\right)_s = h_{2s} - h_1 \quad \dots \dots \dots \quad (2.6)$$

Sehingga efisiensi yang dihasilkan oleh kompresor ini adalah perbandingan dari kerja per satuan massa kompresor secara isentropik dibandingkan dengan kerja per satuan massa kompresor secara nyata, dan dapat dinyatakan sebagai berikut :

$$\eta_c = \frac{\left(-\frac{\dot{W}_{cv}}{\dot{m}}\right)_s}{\left(-\frac{\dot{W}_{cv}}{\dot{m}}\right)} \quad \dots \dots \dots \quad (2.7)$$

dengan :

- $\frac{\dot{W}_{cv}}{\dot{m}}$ = kerja per satuan massa ($\frac{\text{kJ}}{\text{kg}}$)
- h_2 = entalphy keluar kompresor secara *actual* ($\frac{\text{kJ}}{\text{kg}}$)
- h_1 = entalphy masuk kompresor ($\frac{\text{kJ}}{\text{kg}}$)
- h_{2s} = entalphy keluar kompresor isentropik ($\frac{\text{kJ}}{\text{kg}}$)



Gambar 2.6 Perbandingan antara Kompresi Nyata dan Isentropik [5]

Berdasarkan dengan nilai efisiensi isentropic yang didapatkan sesuai dengan persamaan 2.7, didapatkan bahwa nilai efisiensi menurun seiring dengan *flow* yang masuk pada kompresor. Hal ini dapat dilihat pada grafik *Typical Compressor Performance* berikut ini :



Gambar 2.7 Grafik Typical Compressor Performance

Grafik pada gambar 2.7 menunjukkan sebuah kondisi operasi kompresor *centrifugal* secara umum. Berdasarkan kondisi operasi tersebut diketahui bahwa untuk menghasilkan debit tertentu, suatu kompresor dapat beroperasi dalam putaran yang berbeda dengan tekanan dan efisiensi yang berbeda pula. Hal ini dapat ditunjukkan dengan operasi kompresor pada gambar 2.7, misalnya ketika sebuah kompresor menghasilkan debit sebesar 3052 CFM (titik a) maka nilai *pressure*, efisiensi *isentropik*, dan putaran kompresor dapat memiliki nilai yang berbeda (titik b, c, dan d). Ketika kompresor beroperasi dengan putaran yang sama (garis e-f), maka nilai efisiensi *isentropic* kompresor mengalami kenaikan hingga mencapai titik tertentu, kemudian efisiensi ini

mengalami penurunan seiring dengan bertambahnya nilai *flow* pada kompresor tersebut. Penambahan nilai *flow* pada kompresor juga berdampak pada penurunan tekanan yang terjadi pada kompresor. Penurunan tekanan ini menyebabkan sebuah fenomena *stone wall*, dimana nilai *flow* dari kompresor tidak dapat bertambah meskipun putaran kompresor ditingkatkan.

2.4.1.2. Analisis Termodynamika pada *Intercooler*

Analisis pada *Intercooler* dapat dibagi menjadi 2 yakni :

a.) Kesetimbangan Massa

Kesetimbangan *massa* pada *intercooler* dapat dijabarkan dengan persamaan berikut:

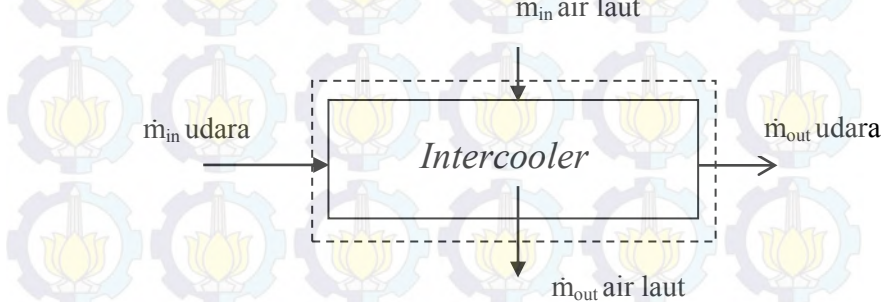
$$\sum \dot{m}_{in} = \sum \dot{m}_{out}$$

dengan :

$$\sum \dot{m}_{in} = \sum \dot{m}_{in} \text{ air laut} + \sum \dot{m}_{in} \text{ udara bertekanan} \dots\dots(2.8)$$

$$\sum \dot{m}_{out} = \sum \dot{m}_{out} \text{ air laut} + \sum \dot{m}_{out} \text{ udara bertekanan} \dots(2.9)$$

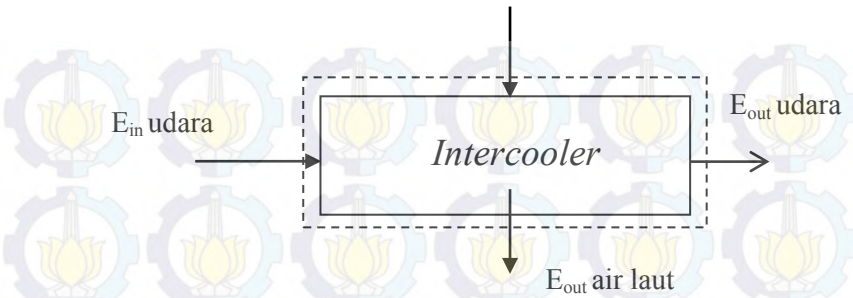
Skema dari kesetimbangan *massa* dapat dilihat sebagai berikut :



Gambar 2.8 Kesetimbangan *Massa* pada *Intercooler*

b.) Kesetimbangan Energi

$$E_{in} \text{ air laut}$$



Gambar 2.9 Kesetimbangan Energi pada *Intercooler*

Dari gambar 2.8 dapat diketahui bahwa ada energi masuk pada sistem yang berasal dari energi air laut dan udara bertekanan. Di dalam sistem tidak terdapat energi bangkitan ($\dot{E}_g = 0$) dan sistem dalam kondisi *steady state* ($\frac{dE_{cv}}{dt} = 0$). Sehingga persamaan kesetimbangan energi menjadi sebagai berikut:

$$\frac{dE_{cv}}{dt} = \dot{Q} - \dot{W} + \sum \dot{m} \left(h_{in} + \frac{v_1^2}{2} + gz_1 \right) - \sum \dot{m} \left(h_{out} + \frac{v_2^2}{2} + gz_2 \right) \dots \quad (2.10)$$

$$\dot{Q} = \sum \dot{m} (h_1 - h_2) \dots \quad (2.11)$$

Sehingga nilai kalor terbagi menjadi dua yakni kalor yang terjadi pada *tube* dan *fin*. Persamaan pada *tube* dan *fin* dapat dinyatakan sebagai berikut :

- Kalor yang terjadi pada sisi fluida udara bertekanan

$$\dot{Q}_{fin} = \sum \dot{m} (h_1 - h_2) \dots \quad (2.12)$$

- Kalor yang terjadi pada sisi fluida air laut

$$\dot{Q}_{tube} = \sum \dot{m} (h_1 - h_2) \dots \quad (2.13)$$

dengan :

- \dot{Q}_{fin} : Panas yang dilepas oleh udara bertekanan (watt)
 - \dot{Q}_{tube} : Panas yang diterima oleh air laut (watt)

2.4.2 Analisis Perpindahan Panas

2.4.2.1. Analisis Heat Exchanger dengan Metode Number of Transfer Unit (NTU)

Metode ini dipakai untuk mengetahui unjuk kerja alat penukar kalor yang sudah ada. Dalam sistem ini adalah *intercooler*. Di dalam mendefinisikan unjuk kerja dari penukar kalor terlebih dahulu harus diketahui laju perpindahan panas maksimum yang dimungkinkan oleh alat penukar kalor tersebut (q_{maks}). Sebelum mencari nilai q_{maks} , terlebih dahulu dicari nilai c_{min} yang dapat dinyatakan sebagai berikut :

$$C_c = \dot{m}_c \times c_p c$$

atau,

$$C_h = \dot{m}_h \times c_{ph}$$

Jika nilai $C_f < C_h$, maka $q_{\max} = C_f(T_{h,i} - T_{c,i}) \dots\dots\dots(2.14)$

Namun jika $C_c > C_h$, maka $q_{maks} = C_h (T_{hi} - T_{ci})$(2.15)

Selanjutnya setelah mendapatkan nilai q_{maks} , dihitung pula nilai kalor yang dihasilkan dari sistem *intercooler* yang berasal dari perhitungan secara termodinamika yakni :

Kemudian nilai *Number of Transfer unit* (NTU) dapat didefinisikan dengan persamaan berikut :

$$NTU = \frac{UA}{C_{min}} \quad \dots \dots \dots \quad (2.17)$$

dan nilai dari *overall heat transfer* dapat diperoleh dari persamaan berikut :

$$U = \frac{1}{\frac{1}{\eta_{\text{ohydrene}}} + \frac{R_{f,c}}{\eta_o} + R_w + \frac{R_{f,h}}{\eta_o} + \frac{1}{\eta_{\text{ohair laut}}}} \quad \dots \dots \dots (2.18)$$

dengan :

- U : nilai overall heat transfer ($\text{W}/\text{m}^2 \cdot \text{K}$)

- $R''_{f,i}$: nilai *fouling factor* ($\text{m}^2 \cdot \text{K/W}$)
 - h_i : nilai *coefficient convection* ($\text{W/m}^2 \cdot \text{K}$)
 - A : luas permukaan (m^2)

Nilai efisiensi *overall* didapatkan dengan persamaan berikut :

dengan :

- A_f : luas fin (m^2)
 - A : luas total (m^2)
 - η_f : efisiensi fin

Nilai luas fin , luas total penampang *intercooler*, dan efisiensi fin *intercooler* didapatkan berdasarkan persamaan berikut :

- Nilai luas fin :

Nilai *primary surface area* didapatkan dengan persamaan berikut :

$$A_p = \pi d_o (L_1 - \delta N_f L_1) N_t + 2 \left(L_2 L_3 - \frac{\pi d_o^2}{4} N_t \right) \quad (2.21)$$

Kemudian nilai luas *fin (secondary area)* didapatkan dengan persamaan berikut :

$$A_f = \left(L_2 L_3 - \left(\frac{\pi d_o}{4} \right) N_t \right) N_f L_1 + (2L_3 \delta N_f L_1) \quad (2.22)$$

dengan :

- d_o : diameter outer (m)
 - L_1 : tinggi komponen *intercooler* (m)
 - N_f : banyaknya jumlah fin per tinggi dari komponen *intercooler* (unit/m)
 - N_t : jumlah *tube* (unit)
 - L_2 : panjang komponen *intercooler* (m)
 - L_3 : lebar komponen *intercooler* (m)
 - δ : ketebalan *fin* (m)

- Efisiensi dari *fin* adalah efisiensi yang dihasilkan oleh alat tersebut akibat adanya permukaan yang bersirip, dan dapat dinyatakan sebagai berikut:

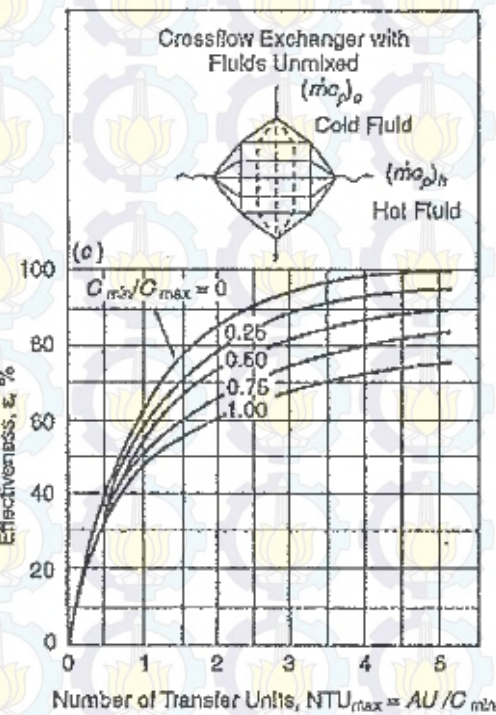
$$\eta_f = \frac{\tanh(mL)}{mL} \quad \dots \dots \dots \quad (2.23)$$

dimana,

$$m = \left(\frac{2h}{kt}\right)^{1/2} \quad \dots \dots \dots \quad (2.24)$$

dengan :

- t : ketebalan *fin* (m)
- h : koefisien konveksi ($\text{W}/\text{m}^2.\text{K}$)
- k : koefisien konduksi ($\text{W}/\text{m.K}$)
- L : panjang *fin* (m)



Gambar 2.10 Grafik NTU vs Effectiveness [3]

Selanjutnya didapatkan nilai *effectiveness* (ε) yang merupakan bilangan tanpa dimensi dan berada dalam batas $0 < \varepsilon < 1$. *Effectiveness* dapat diperoleh melalui 2 cara yakni :

1. membandingkan antara laju perpindahan panas *heat exchanger* dan laju perpindahan maksimum yang dimungkinkan, sehingga didapatkan persamaan sebagai berikut :

$$\varepsilon = \frac{q}{q_{maks}} \quad \dots \dots \dots \quad (2.25)$$

2. melalui grafik sebagai fungsi antara NTU dan $\frac{C_{min}}{C_{maks}}$.

Grafik yang digunakan untuk mencari nilai *effectiveness* seperti pada gambar 2.9.

2.4.2.2. Presure Drop pada Finned Tube Exchanger

Pada sebuah aliran normal yang melintasi daerah *finned tube exchanger* didapatkan sebuah nilai penurunan tekanan pada bagian *fin* dan *tube*.

- a. Penurunan Tekanan pada sisi *fin* dapat dinyatakan seperti berikut :

$$\Delta p = \frac{G}{2\rho_i}^2 \left(f \frac{A_t}{A_{min}} \frac{\rho_i}{\rho} + (1 + \sigma^2) \left(\frac{\rho_i}{\rho_o} - 1 \right) \right) \dots \dots \dots (2.26)$$

dimana,

$$\sigma = \frac{A_{min}}{A_{fr}} = \frac{\text{minimum free-flow free}}{\text{frontal area}} \dots \dots \dots (2.27)$$

$$\frac{A_t}{A_f} = \frac{4L}{D} = \frac{\text{total heat transfer area}}{\text{minimum flow area}} \quad \dots \dots \dots (2.28)$$

$$G = \frac{\rho U_{\sim} A_{fr}}{A_{min}} = \frac{\rho U_{\sim}}{\sigma} \quad \dots \quad (2.29)$$

Pada persamaan tersebut, ρ merupakan rata-rata dari *density* yang dievaluasi pada temperatur antara *inlet* dan *outlet*, dan dapat diestimasikan bahwa *specific volume* antara *inlet* dan *outlet* adalah :

$$\frac{1}{\rho} = \frac{1}{2} \left(\frac{1}{\rho_i} + \frac{1}{\rho_o} \right) \quad \dots \dots \dots \quad (2.30)$$

b. Penurunan Tekanan pada sisi *Tube*

Pressure Drop pada sisi *Tube* dibagi menjadi 2 yakni *major losses* dan *minor losses* dan dinyatakan dalam persamaan dibawah ini :

dengan :

- L : panjang *tube* (m)
 - V : kecepatan *tube* (m/s)
 - k : *coefficient losses* pada *valve*, dll
 - d : diameter (m)

2.5 Penelitian Terdahulu

Terdapat beberapa penelitian terdahulu yang dapat dijadikan pertimbangan dalam proses perhitungan dan analisis *intercooler* pada kompresor ini yaitu :

2.5.1. Aloysius Eddy Liemena [1]

Aloysius Eddy Liemena (2010) melakukan sebuah penelitian yang berjudul "*Analisis Energi pada Kompresor Tiga Tingkat yang Mengalami Penurunan Tekanan*". Penelitian ini bertujuan untuk menentukan kerja spesifik dan mendapatkan tingkat laju aliran udara, sehingga didapatkan daya yang diperlukan oleh kompresor saat sebelum dan sesudah mengalami penurunan tekanan udara.

Peneliti melakukan analisis berdasarkan prinsip kekekalan *massa* maupun energi untuk sistem terbuka, selanjutnya juga menganalisis proses aliran *steady*. Analisis ini dilakukan hanya pada bagian kompresor dan *intercooler*. Metodologi penelitian yang digunakan oleh peneliti adalah mengevaluasi kerja spesifik dan daya yang dibutuhkan oleh kompresor sebelum dan sesudah penurunan tekanan untuk. Dari hasil penelitian ini didapatkan bahwa untuk mendapatkan laju aliran massa udara pada kompresor sebesar $0,007903 \text{ kg/s}$ dibutuhkan daya sebesar $5,2146 \text{ kW}$ atau meningkat sebesar

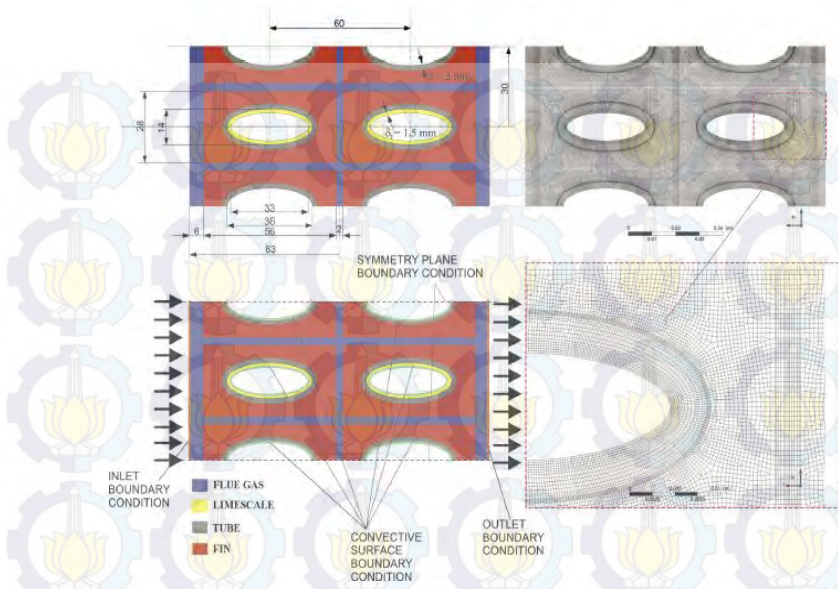
1,418 kali dari daya yang dibutuhkan pada saat sebelum penurunan tekanan sebesar 3,677 kW.

2.5.2. Lopata Stanisław and Oclo_n, Paweł^[4]

Lopata Stanisław and Oclo_n, Paweł (2015) melakukan sebuah penelitian yang berjudul “Studi numerik akibat adanya *fouling* terhadap perpindahan panas pada *tube fin heat exchanger* saat beroperasi dengan suhu tinggi. Penelitian ini bertujuan untuk mengetahui dampak adanya *fouling* pada *inner elliptical tube* terhadap temperatur dan perpindahan panas pada proses pendinginan gas buang di dalam komponen *tube fin heat exchanger*. Peneliti melakukan sebuah pemodelan adanya *fouling* tersebut dengan menggunakan ANSYS CFX. Software ini digunakan untuk menentukan kecepatan, perpindahan panas, dan distribusi temperatur *flue gas* diantara sisi *tube* dan *fin*. Pemodelan tersebut dapat dilihat pada gambar 2.10.

Pemodelan ini menghasilkan beberapa kesimpulan yakni :

- *Heat Flux* terbesar terjadi pada dinding permukaan depan tabung ellips baris pertama
- Setelah terjadi *fouling* maka *heat flux* mengalami penurunan hingga tinggal 1/5 nilai saat permukaan dalam *tube* bersih
- Terjadi penurunan efisiensi pada komponen



Gambar 2.11 Pemodelan *tube* dengan menggunakan ANSYS CFX

“Halaman Ini Sengaja Dikosongkan”

BAB III

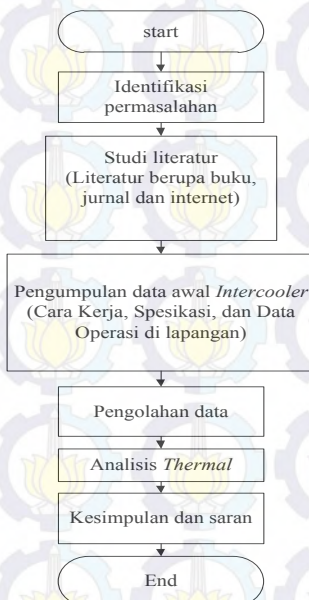
METODOLOGI PENELITIAN

3.1 Secara Umum

Metodologi adalah kerangka yang terdiri dari tahapan-tahapan dalam menyelesaikan tugas akhir. Metodologi penelitian tugas akhir ini mencakup seluruh kegiatan yang dilaksanakan dalam memecahkan masalah dan melakukan proses analisis terhadap permasalahan tugas akhir.

3.2 Metodologi

Metodologi di dalam menyelesaikan Tugas Akhir dapat ditunjukkan secara lengkap dengan langkah-langkah sebagai berikut :



Gambar 3.1 Flowchart Analisis

3.3 Pengumpulan Data

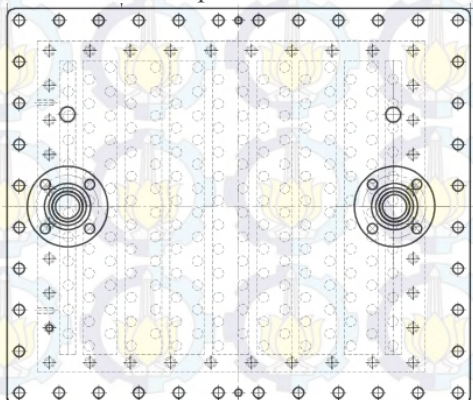
Data yang dibutuhkan untuk menganalisis *Intercooler 35-E* diperoleh dari dokumen di PT Badak LNG. Dokumen tersebut berisi tentang gambar desain *intercooler*, spesifikasi teknis *intercooler*, data *commissioning*, serta data *performance test* saat beroperasi.

3.3.1 Objek Penelitian

Objek penelitian yang digunakan pada tugas akhir ini adalah *Intercooler 35-E* di PT Badak LNG. Berikut adalah penampang dan penampang gambar tampak atas dari *intercooler 35-E* :



Gambar 3.2 Komponen *Intercooler 35-E-1*



Gambar 3.3 *Intercooler* Tampak Atas

Intercooler ini merupakan salah satu produk :

- Buatan : PT INDOCOOL SOLUSI CEMERLANG
 - Tipe : *Compact Heat Exchanger (finned-tube)*
- dengan:
- *Fin* : terdiri dari 1 laluan
 - *Tube* : terdiri dari 16 laluan

3.3.2 Spesifikasi *Intercooler* 35-E di PT Badak LNG

Berikut adalah data spesifikasi *intercooler* 35-E yang berada pada plant 35 di PT Badak LNG dari segi *performance* per unit dan juga kontruksi komponen tersebut:

Tabel 3.1 Spesifikasi *Intercooler*

| <i>Performance of One Unit</i> | | | | |
|---|------------------|-------|------------------|------|
| | <i>Shellside</i> | | <i>Tubeside</i> | |
| <i>Fluid Circulated</i> | <i>Air</i> | | <i>Sea Water</i> | |
| <i>Total Fluid Entering (kg/h)</i> | 6514 | | 16125 | |
| | In | Out | In | Out |
| <i>Vapor (kg/h.mol.W)</i> | 227.5 | | | |
| <i>Condensate (kg/h.mol.W)</i> | 6280 | | | |
| <i>Fluid Vaporized/Condensed (kg/h)</i> | 78.5 | | | |
| <i>Gravity</i> | | | 1 | |
| <i>Viscosity (m²/s)</i> | | | 2.06 x 10-5 | |
| <i>Spesific Heat (Kj/kg. K)</i> | | | 4.1868 | |
| <i>Temperatur (° C)</i> | 154.4 | 43.28 | 29.4 | 43.3 |
| <i>Operating Pressure (GAUGE) kg/cm²</i> | 2.49 | 3.09 | | |
| <i>No Passes/Shell</i> | 1 | | 16 | |
| <i>Velocity (m/s)</i> | 1.26 | | 2.33 | |
| <i>Fouling Resistance (m².K/W)</i> | 0.0002 | | 0.0004 | |

| | | | | |
|-----------------------|-----------------------|------------|--|--|
| <i>Heat Exchanged</i> | 0.261130 MW MTD | 28.9 °C | | |
|-----------------------|-----------------------|------------|--|--|

| <i>Construction</i> | | | |
|--|--------------------|------------------|-----------------|
| | | <i>Shellside</i> | <i>Tubeside</i> |
| <i>Design Pressure (kg/cm²)</i> | | 5.27/8.09 | 8.79/13.18 |
| <i>Design Temperatur (°C)</i> | | 204 | 65.5 |
| <i>Corrosion Allowance (mm)</i> | | 1.5875 | 1.5875 |
| <i>Connection</i> | <i>Inlet (mm)</i> | 203.2 | 38.1 |
| <i>Size</i> | <i>Outlet (mm)</i> | 152.4 | 38.1 |
| <i>Rating</i> | | STD. WT | 150 RF |

| | | | |
|-----------------------------|-----------------------|-------------------------------------|--------------|
| <i>Tube Material</i> | 90/10 Cu Ni | | |
| <i>Shell</i> | <i>Steel</i> | <i>Shellcover</i> | <i>Steel</i> |
| <i>Channel/Sonnet</i> | | <i>Channel Cover</i> | <i>Steel</i> |
| <i>Tubesheet-Stationary</i> | 90/10 Cu Ni | <i>Tubesheet</i> <i>Floating</i> | <i>Steel</i> |
| <i>Floating Hard Cover</i> | <i>Steel</i> | | |
| <i>Gaskets</i> | Asbestos (Bounded) | | |
| <i>Code Requirement</i> | ASME VIII, Div.1 | TEMA | Class C |
| <i>Weight</i> | <i>Each Shell</i> | | |

3.3.3 Data Operasi

3.3.3.1 Data Performance Test

Data performance test kompresor 35-K-1A di PT Badak LNG pada bulan Desember 2014, Januari 2015, dan April 2015 yang dijadikan sebagai data acuan di dalam melakukan analisis

kompresor 35-K-1A dan *intercooler* 35-E terdapat pada tabel 3.2, 3.3, dan 3.4. Berdasarkan dengan tabel *performance test* tersebut terdapat nilai *blow off opening valve* dengan nilai 100%, 80%, dan seterusnya. Nilai *blow off* ini menunjukkan nilai pembukaan valve sebagai masuknya udara kedalam kompresor. Berdasarkan data tersebut terdapat nilai 100% opening yang memiliki arti bahwa *valve* terbuka secara penuh untuk mengalirkan udara masuk kedalam kompresor. Kemudian terdapat bukaan 80% yang memiliki arti bahwa *valve* terbuka 80 persen dan tertutup 20 %. Pembukaan 80 persen ini menunjukkan bahwa luasan masuknya udara melalui *valve* berkangur 20%. Pengurangan luasan saluran masuknya udara melalui *valve* ini selanjutnya terjadi seiring dengan bukaan *valve* pada kompresor yang diperkecil. Berikut adalah data *performance test* kompresor 35-K-1A :

Tabel 3.2 Data *Performance Test* pada 30 Desember 2014 saat kompresor mengalami *low performance*

| 35K-1A Performance Test | | | | | | | | | | Date: 30/12/14 | | 9:00:00 WIB | | | | | | | | |
|-------------------------------|----------------------|---------|-------|-----|-------|-----|-------|-----|-------|------------------|-------------|-------------|-------|-----|-------|-----|-------|-----|------|-----|
| | | | | | | | | | | Prepared by: IAG | | | | | | | | | | |
| Ref: | | | | | | | | | | | FlowFactor: | | | | | | | | | |
| Parameters | Unit | Tag No. | Pt.1 | Ref | Pt.2 | Ref | Pt.3 | Ref | Pt.4 | Ref | Pt.5 | Ref | Pt.6 | Ref | Pt.7 | Ref | Pt.8 | Ref | Pt.9 | Ref |
| Time | | | | | | | | | | | | | | | | | | | | |
| PV | % | | | | | | | | | | | | | | | | | | | |
| BlowOffOpening | % | lokal | 100 | | 80 | | 70 | | 65 | | 60 | | 55 | | 50 | | 45 | | | |
| InletValve Opening | % | lokal | 100 | | 100 | | 100 | | 100 | | 100 | | 100 | | 100 | | 100 | | | |
| Tin | Deg-C | lokal | | | | | | | | | | | | | | | | | | |
| Pin | kg/cm ² g | lokal | 0 | | 0 | | 0 | | 0 | | 0 | | 0 | | 0 | | 0 | | | |
| Dp (Read from panel) | mmH2O | lokal | 37,2 | | 37,5 | | 36,5 | | 36,1 | | 35,8 | | 35,2 | | 34 | | 34,1 | | | |
| Tout | Deg-C | lokal | 150 | | 150 | | 150 | | 150 | | 152 | | 152 | | 152 | | 152 | | | |
| Pout | kg/cm ² g | lokal | 1,3 | | 1,3 | | 1,3 | | 1,3 | | 1,4 | | 1,4 | | 1,4 | | 1,4 | | | |
| Stage 2 (After Intercooler 1) | | | | | | | | | | | | | | | | | | | | |
| Tin | Deg-C | lokal | 38 | | 39 | | 40 | | 40 | | 40 | | 40 | | 40 | | 40 | | | |
| Pin | kg/cm ² g | lokal | 1 | | 1 | | 1,1 | | 1,1 | | 1,1 | | 1,1 | | 1,1 | | 1,1 | | | |
| Tout | Deg-C | lokal | 160 | | 160 | | 160 | | 160 | | 160 | | 160 | | 160 | | 160 | | | |
| Pout | kg/cm ² g | lokal | 4,3 | | 4,3 | | 4,4 | | 4,5 | | 4,5 | | 4,6 | | 4,7 | | 4,8 | | | |
| Stage 3 (After Intercooler 2) | | | | | | | | | | | | | | | | | | | | |
| Tin | Deg-C | lokal | 44 | | 45 | | 46 | | 46 | | 46 | | 46 | | 46 | | 46 | | | |
| Pin | kg/cm ² g | lokal | 3,7 | | 3,7 | | 3,8 | | 3,8 | | 3,9 | | 3,9 | | 4,1 | | 4,2 | | | |
| Tout | Deg-C | lokal | 120 | | 124 | | 125 | | 125 | | 125 | | 125 | | 125 | | 125 | | | |
| Pout | kg/cm ² g | lokal | 5,9 | | 6 | | 6,1 | | 6,1 | | 6,3 | | 6,6 | | 7 | | 7,4 | | | |
| Aftercooler | | | | | | | | | | | | | | | | | | | | |
| Tout (Read from Panel) | Deg-C | lokal | 30,1 | | 30,58 | | 30,78 | | 30,96 | | 31,36 | | 31,66 | | 31,81 | | 33,02 | | | |
| Pout (Read at PI near motor) | kg/cm ² g | lokal | 5,9 | | 6 | | 6,1 | | 6,1 | | 6,3 | | 6,6 | | 7 | | 7,4 | | | |
| Discharge Flow | SCFM | lokal | 3052 | | 3029 | | 2987 | | 2942 | | 2908 | | 2790 | | 2624 | | 2480 | | | |
| Amperes (Read from Panel) | Amps | lokal | 91,52 | | 90,62 | | 90,11 | | 89,73 | | 87,57 | | 87,57 | | 86 | | 83,72 | | | |
| Vibration - Ball Gear | IPS | DCS | 1,67 | | 1,72 | | 1,67 | | 1,72 | | 1,7 | | 1,7 | | 1,7 | | 1,75 | | | |
| Vibration - 1st Stage | mils | DCS | 0,427 | | 0,43 | | 0,43 | | 0,43 | | 0,43 | | 0,43 | | 0,44 | | 0,44 | | | |
| Vibration - 2nd Stage | mils | DCS | 0,664 | | 0,62 | | 0,602 | | 0,58 | | 0,59 | | 0,59 | | 0,59 | | 0,58 | | | |
| Vibration - 3rd Stage | mils | DCS | 0,42 | | 0,43 | | 0,43 | | 0,43 | | 0,44 | | 0,44 | | 0,45 | | 0,463 | | | |

Tabel 3.3 Data *Performance Test* pada Kompresor 19 Januari 2015 saat kompresor mengalami *low performance*

| 35K-1A Performance Test | | | | | | | | | | Date: 19/01/15 | | 5:00:00 WIT | | | | | | | | |
|-------------------------------|----------------------|---------|------|-----|------|-----|------|-----|-----|---------------------|------------|-------------|------|-----|------|-----|------|-----|------|------|
| | | | | | | | | | | Prepared by: IAG-FY | | | | | | | | | | |
| Ref: | | | | | | | | | | | FlowFactor | | | | | | | | | |
| Parameters | Unit | Tag No. | Pt1 | Ref | Pt2 | Ref | Pt3 | Ref | Pt4 | Ref | Pt5 | Ref | Pt6 | Ref | Pt7 | Ref | Pt8 | Ref | Pt9 | Ref |
| Time | | | | | | | | | | | | | | | | | | | | |
| PV | % | | | | | | | | | | | | | | | | | | | |
| BlowOff Opening | % | lokal | 100 | | 80 | | 70 | | 65 | | 60 | | 55 | | 50 | | 45 | | 40 | 35 |
| Inlet Valve Opening | % | lokal | 100 | | 100 | | 100 | | 100 | | 100 | | 100 | | 100 | | 100 | | 100 | 100 |
| Tin | Deg-C | lokal | | | | | | | | | | | | | | | | | | |
| Pin | kg/cm ² g | lokal | 0 | | 0 | | 0 | | - | | 0 | | 0 | | 0 | | 0 | | 0 | 0 |
| Dp (Read from panel) | mmH2O | lokal | 35,2 | | 35,5 | | 35,1 | | - | | 35,1 | | 37,8 | | 32,5 | | 30,6 | | 30,4 | 30,4 |
| Tout | Deg-C | lokal | 140 | | 140 | | 140 | | - | | 140 | | 140 | | 140 | | 140 | | 140 | 150 |
| Pout | kg/cm ² g | lokal | 1,2 | | 1,2 | | 1,2 | | - | | 1,2 | | 1,2 | | 1,2 | | 1,3 | | 1,38 | 1,4 |
| Stage 2 (After Intercooler 1) | | | | | | | | | | | | | | | | | | | | |
| Tin | Deg-C | lokal | 38 | | 38 | | 38 | | - | | 38 | | 38 | | 38 | | 38 | | 38 | 38 |
| Pin | kg/cm ² g | lokal | 1 | | 1 | | 1 | | - | | 1 | | 1 | | 1 | | 1 | | 1 | 1 |
| Tout | Deg-C | lokal | 158 | | 158 | | 160 | | - | | 160 | | 160 | | 160 | | 160 | | 160 | 160 |
| Pout | kg/cm ² g | lokal | 3,3 | | 3,3 | | 3,4 | | - | | 3,4 | | 3,6 | | 3,7 | | 3,9 | | 4 | 4 |
| Stage 3 (After Intercooler 2) | | | | | | | | | | | | | | | | | | | | |
| Tin | Deg-C | lokal | 38 | | 38 | | 39 | | - | | 39 | | 39 | | 39 | | 39 | | 39 | 39 |
| Pin | kg/cm ² g | lokal | 3,5 | | 3,5 | | 3,6 | | - | | 3,7 | | 3,8 | | 4 | | 4,1 | | 4,2 | 4,2 |
| Tout | Deg-C | lokal | 115 | | 115 | | 115 | | - | | 115 | | 117 | | 118 | | 118 | | 118 | 118 |
| Pout | kg/cm ² g | lokal | 5,8 | | 5,8 | | 6 | | - | | 6,4 | | 6,6 | | 7 | | 7,4 | | 7,6 | 7,65 |
| Aftercooler | | | | | | | | | | | | | | | | | | | | |
| Tout (Read from Panel) | Deg-C | lokal | | | | | | | | | | | | | | | | | | |
| Pout (Read at PI near motor) | kg/cm ² g | lokal | | | | | | | | | | | | | | | | | | |
| Discharge Flow | SCFM | lokal | 3050 | | 3040 | | 2987 | | - | | 2880 | | 2783 | | 2668 | | 2470 | | 2370 | 2355 |
| Ampereas (Rad from Panel) | Amps | lokal | 88,3 | | 87,9 | | 87,3 | | - | | 86,6 | | 85,6 | | 84,3 | | 82 | | 81 | 81 |
| Vibration - Bull Gear | IPS | DCS | 1,69 | | 1,67 | | 1,7 | | - | | 1,65 | | 1,69 | | 1,7 | | 1,67 | | 1,68 | 1,68 |
| Vibration - 1st Stage | mils | DCS | 0,43 | | 0,43 | | 0,43 | | - | | 0,43 | | 0,43 | | 0,43 | | 0,41 | | 0,43 | 0,44 |
| Vibration - 2nd Stage | mils | DCS | 0,6 | | 0,59 | | 0,59 | | - | | 0,58 | | 0,58 | | 0,56 | | 0,56 | | 0,56 | 0,56 |
| Vibration - 3rd Stage | mils | DCS | 0,38 | | 0,39 | | 0,39 | | - | | 0,39 | | 0,4 | | 0,41 | | 0,41 | | 0,41 | 0,41 |

Tabel 3.4 Data Performance Test pada Kompresor 28 April 2015 saat kompresor selesai di *overhaul*

3.3.3.2. Data Comissioning

Data *commissioning* kompresor 35-K-1A adalah data yang didapatkan oleh PT Badak LNG saat komponen ini baru digunakan. Data *commissioning* ini terdiri dari data temperatur dan *pressure* pada setiap *stage* kompresor. Berikut adalah data temperatur saat *commissioning* kompresor 35-K-1A:

Tabel 3.5 Data Temperatur saat *Commissioning*

| Time | First Stage Inlet Temperatur (°F) | | | | First Stage Discharge Temperatur (°F) | | | Second Stage Inlet Temperatur (°F) | |
|-------|-----------------------------------|----|----|----|---------------------------------------|-----|-----|------------------------------------|------|
| 10.15 | 80 | 80 | 79 | 81 | 286 | 286 | 286 | 89.5 | 91 |
| | 79 | 80 | 80 | 80 | 287 | 287 | 287 | 90 | 91.8 |
| | 79.87 | | | | 286.58 | | | 90.57 | |

| Second Stage Discharge Temperatur (°F) | | | Third Stage Inlet Temperatur (°F) | | Third Stage Discharge Temperatur (°F) | | |
|--|-------|-------|-----------------------------------|------|---------------------------------------|-------|-------|
| 301.5 | 302 | 303 | 91.5 | 91.3 | 229 | 230 | 229.5 |
| 302.5 | 302.5 | 303.5 | 91.5 | 91.5 | 229.3 | 230.3 | 230 |
| 302.5 | | | 91.45 | | 229.68 | | |

Berikut adalah data *pressure* saat *commissioning* kompresor 35-K-1A :

Tabel 3.6 Data Pressure saat Commisioning

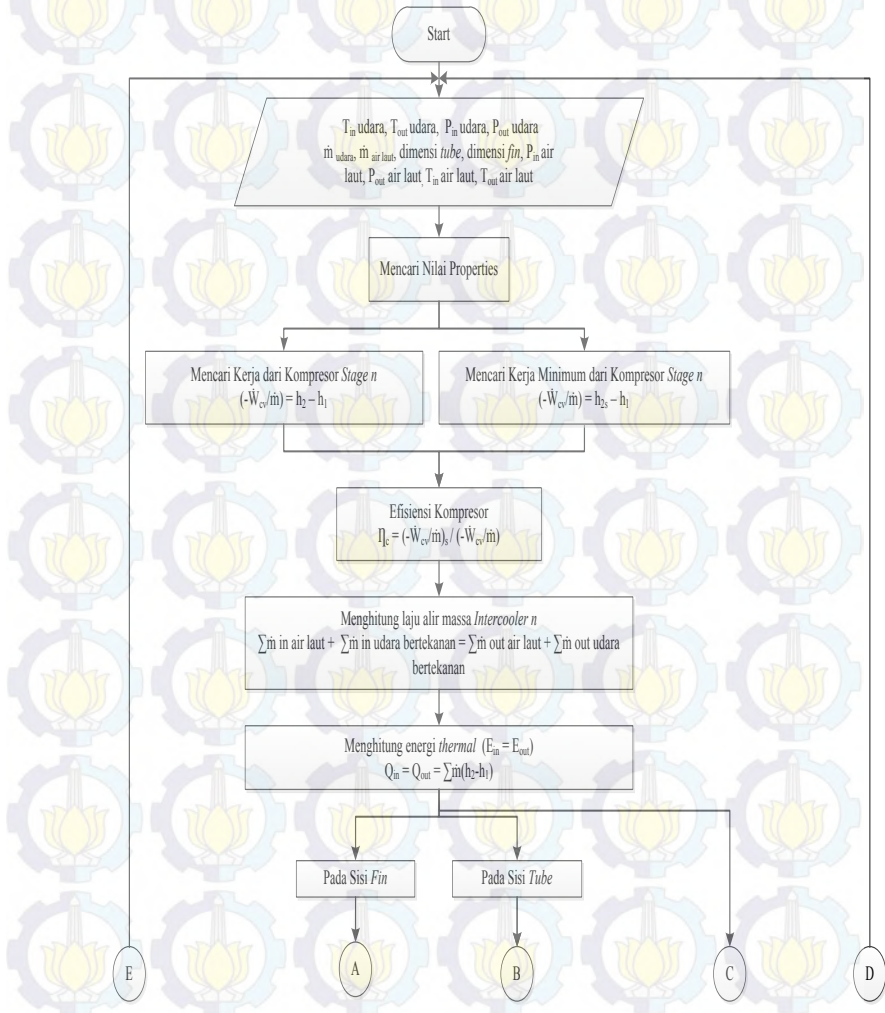
| | First Stage Inlet Pressure (HG) | | | | | | | | First Stage Discharge Pressure (PSIG) | | |
|-------|---------------------------------|-----|------|------|-----|-----|-----|-------|---------------------------------------|------|------|
| 10.15 | 0.75 | 0.8 | 0.85 | 1.15 | 0.7 | 0.7 | 0.7 | 0.7 | 19 | 19 | 19.1 |
| | 0.65 | 0.8 | 0.4 | 1.15 | 0.7 | 0.7 | 0.7 | 0.7 | 19.1 | 18.8 | 19.1 |
| -1.45 | | | | | | | | 19.01 | | | |

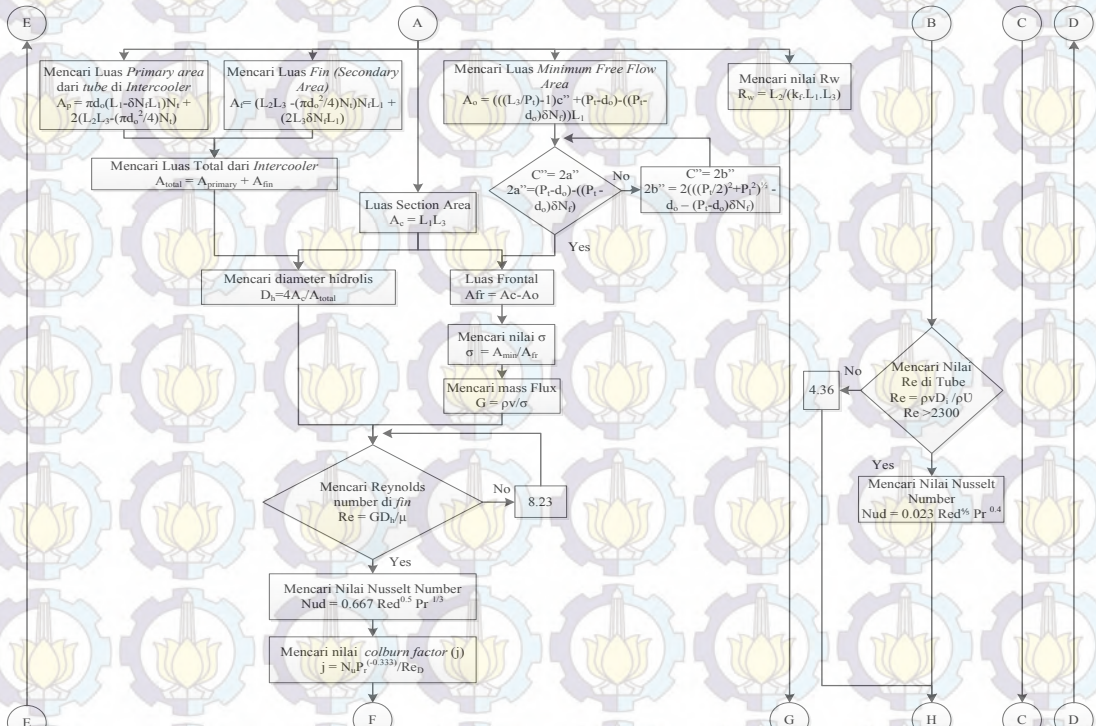
| Second Stage Inlet Pressure (PSIG) | | | Second Stage Discharge Pressure (PSIG) | | |
|------------------------------------|------|------|--|------|------|
| 18.6 | 18.4 | 18.6 | 63.8 | 63.2 | 63.2 |
| 18.6 | 18.4 | 18.5 | 63.7 | 63 | 64 |
| 18.51 | | | 63.4 | | |

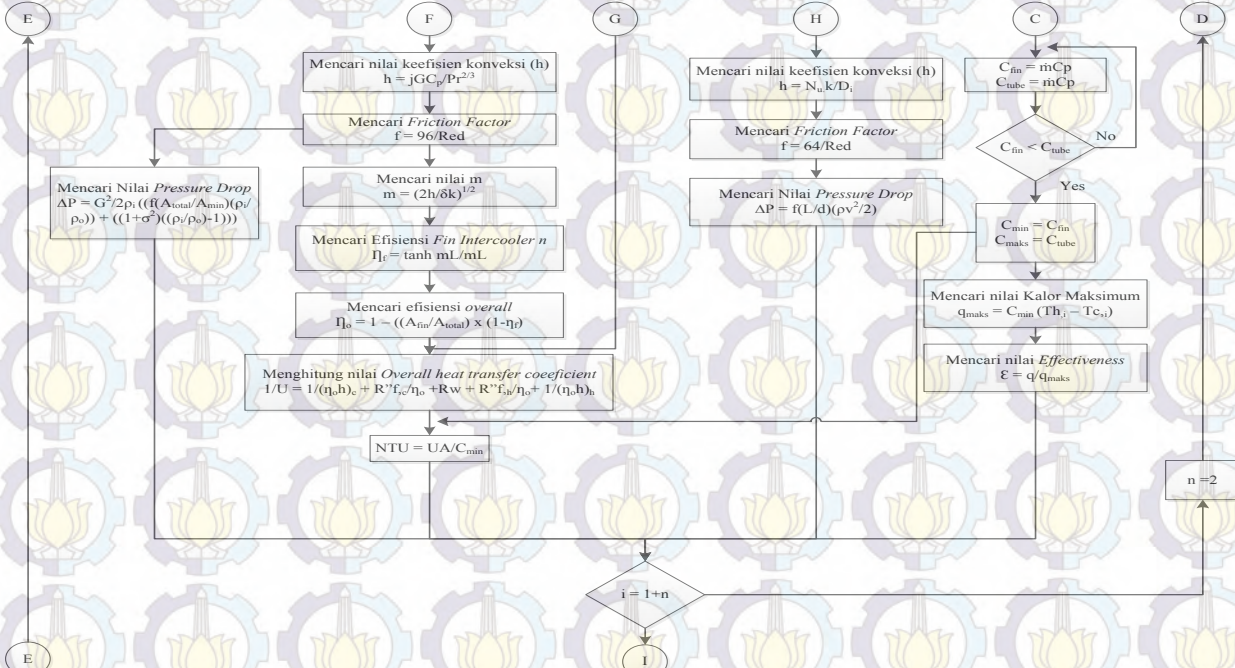
| Third Stage Inlet Pressure (PSIG) | | | Third Stage Discharge Pressure (PSIG) | | |
|-----------------------------------|------|------|---------------------------------------|-------|-------|
| 62.3 | 62.3 | 61.8 | 123.5 | 123.8 | 123.4 |
| 62.4 | 62.2 | 61.9 | 123.5 | 123.7 | 123.4 |
| 62.2 | | | 123.6 | | |

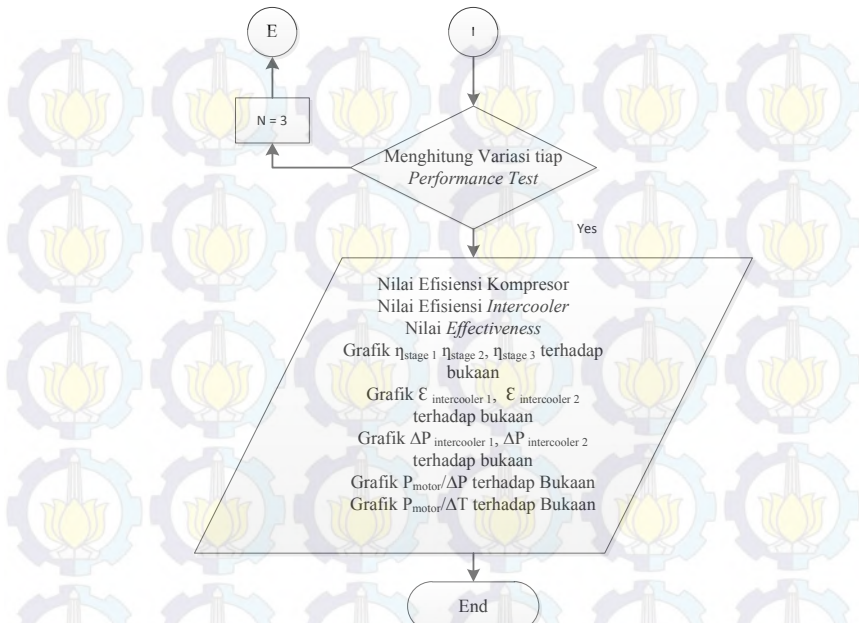
3.4 Flowchart Perhitungan

Berikut adalah *flowchart* perhitungan di dalam melakukan analisis kompresor 35-K-1A dan *intercooler* 35-E di PT Badak LNG :









Gambar 3.4 Flowchart Perhitungan

BAB IV

ANALISIS dan PEMBAHASAN

4.1 Data Operasi

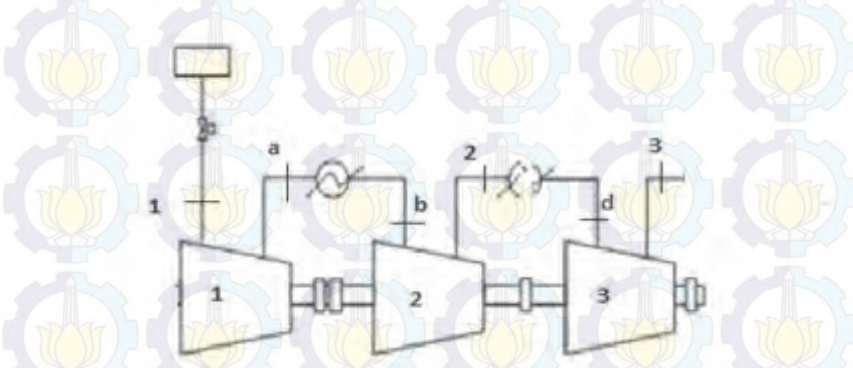
Data yang dibutuhkan untuk menganalisis *intercooler* 35-E diperoleh dari dokumen di PT Badak LNG. Dokumen ini terdiri dari spesifikasi teknis *intercooler*, 3 data *performance test* kompresor 35-K-1A yakni *performance test* bulan Desember 2014, Januari 2015, dan April 2015, serta data *comissioning* awal saat kompresor digunakan pada *plant* 35 di PT Badak LNG. Data hasil *performance test* tersebut sesuai dengan tabel 3.2, 3.3, dan 3.4 pada bab 3, serta data hasil *commissioning* pada tabel 3.5 dan 3.6. Berikut adalah data dimensi dari *fin* pada *intercooler* yang dijadikan sebagai acuan dalam melakukan perhitungan secara perpindahan panas :

Tabel 4.1 Data Dimensi *Fin* pada *Intercooler*

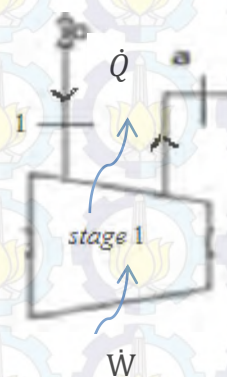
| | |
|----------------------------|------------|
| Outside Diameter (OD) | 0.015875 m |
| P _T | 0.0381 m |
| P _L | 0.033 m |
| N _T | 12 |
| N _L | 16 |
| N _{tubes} | 192 |
| N _{fin} | 1164 |
| Thickness Fin (δ) | 0.00025 m |
| L ₁ | 0.528 m |
| L ₂ | 0.610 m |
| L ₃ | 0.457 m |

4.2 Analisis Berdasarkan Termodinamika

4.2.1. Analisis pada Kompresor



Gambar 4.1 Skema Kompresor 3 stage dengan 2 *intercooler*



Gambar 4.2 Skema Kompresor *stage 1*

Analisis kesetimbangan energi setiap *stage* kompresor berdasarkan nilai temperatur dan *pressure* yang terdapat pada data *performance test* dan data *comissioning*. Berikut adalah contoh analisis kompresor pada setiap *stage* dengan menggunakan data *performance test* pada bukaan 100 di bulan Desember 2014 :

Tabel 4.2 Data *performance test* pada bukaan 100 di bulan Desember 2014

| | | °C | | | Kj/kg | h _{2s} | | Kj/kg .K |
|--|----------------|-------|----------------|-----|----------------|-----------------|-------|----------------------|
| Bukaan 100, Q=3052 SCFM | T ₁ | 14.44 | P ₁ | 1 | h ₁ | 288 | 365.7 | s ₁ 6.827 |
| | T _a | 150 | P _a | 2.3 | h _a | 424.8 | | s _a 6.977 |
| | T _b | 38 | P _b | 2 | h _b | 311.7 | 412 | s _b 6.707 |
| | T ₂ | 160 | P ₂ | 5.3 | h ₂ | 435 | | s ₂ 6.761 |
| | T _d | 44 | P _d | 4.7 | h _d | 317.7 | 354.7 | s _d 6.481 |
| | T ₃ | 120 | P ₃ | 6.9 | h ₃ | 394.4 | | s ₃ 6.587 |

Dari data temperatur dan *pressure* tersebut didapat nilai entalphi saat kondisi aktual dan nilai entropi berdasarkan *software Computer- Aided Thermodynamic Table (CATT)* dengan fluida kerja berupa udara. Selain itu didapatkan pula nilai entalphi saat kondisi *isentropic* (h_{2s}) dengan memasukkan nilai entropi s₁=s₂ pada tekanan (p₂) pada *software* tersebut.

Kemudian dari data tersebut didapatkan nilai kerja spesifik dan kalor per satuan massa dari setiap *stage* pada kompresor. Berikut adalah salah satu contoh perhitungan di dalam mencari nilai kerja spesifik dan panas yang dihasilkan pada *stage 1* kompresor :

- Kerja spesifik kompresor adalah sebagai berikut :

$$\frac{\dot{W}}{\dot{m}} = - \frac{nR}{n-1} (T_2 - T_1)$$

$$\frac{\dot{W}}{\dot{m}} = - \frac{1.4}{1.4-1} \frac{8.314 \text{ kJ}}{28.97 \text{ kg.K}} (150 - 14.44) \text{ K}$$

$$\frac{\dot{W}}{\dot{m}} = -136.164 \frac{\text{kJ}}{\text{kg}}$$

- Kalor per satuan massa kompresor adalah sebagai berikut:

$$\frac{\dot{Q}}{\dot{m}} = \frac{\dot{W}}{\dot{m}} + (h_2 - h_1)$$

$$\frac{\dot{Q}}{\dot{m}} = -136.164 \frac{\text{kJ}}{\text{kg}} + (424.8 - 288) \frac{\text{kJ}}{\text{kg}}$$

$$\frac{\dot{Q}}{\dot{m}} = 0.636367 \frac{\text{kJ}}{\text{kg}}$$

Setelah itu didapatkan pula nilai efisiensi setiap *stage* pada kompresor dengan contoh perhitungan sebagai berikut:

- Efisiensi *stage* 1 kompresor

$$\eta = \frac{h_{2s} - h_1}{\frac{\dot{W}}{\dot{m}}} \rightarrow \eta = \frac{365.7 \frac{\text{kJ}}{\text{kg}} - 288 \frac{\text{kJ}}{\text{kg}}}{136.164 \frac{\text{kJ}}{\text{kg}}}$$

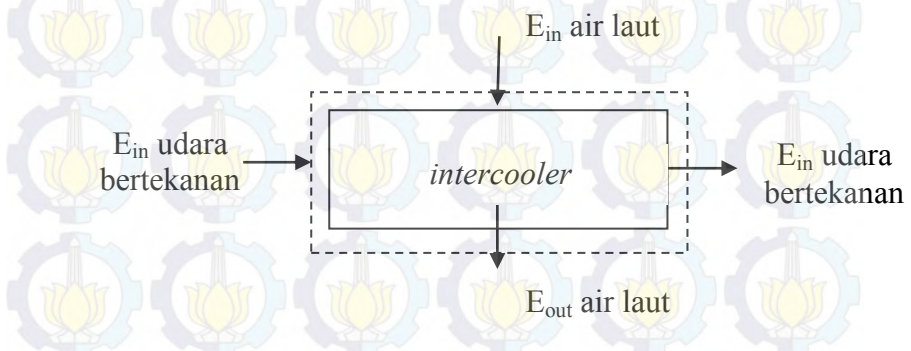
$$\eta = 0.570637$$

Data kerja spesifik, kalor per satuan massa kompresor dan efisiensi kompresor selengkapnya terdapat pada lampiran.

4.2.2. Analisis pada *Intercooler*



Gambar 4.3 Skema *Intercooler* 1 pada sistem



Gambar 4.4 Skema *Intercooler* 1

Analisis kesetimbangan energi pada *intercooler* 1 dan *intercooler* 2 dibagi menjadi 2 bagian yakni pada *fin* dan *tube*. Energi yang diserap oleh *intercooler* adalah panas yang berasal dari fluida kerja berupa udara bertekanan dan berasal dari *discharge* kompresor. Berikut adalah contoh perhitungan kalor yang dikeluarkan oleh udara bertekanan yang terletak di bagian *fin intercooler* 1 pada *performance test* bulan Desember 2014 dengan bukaan 100% :

- $\dot{Q}_{\text{fin}} = \dot{m}(h_b - h_a)$
 $\dot{Q}_{\text{fin}} = \rho Q (h_b - h_a)$
 $\dot{Q}_{\text{fin}} = 0.83425 \frac{\text{kg}}{\text{m}^3} \times 1.44 \frac{\text{m}^3}{\text{s}} \times (311.7 - 424.8) \frac{\text{kJ}}{\text{kg}}$
 $\dot{Q}_{\text{fin}} = -135.869 \frac{\text{kJ}}{\text{s}}$

Sedangkan nilai kalor yang diterima oleh fluida dingin yang mengalir pada *tube* berdasarkan dengan data temperatur sebagai berikut:

- $T_{c,\text{in}} = 30^\circ\text{C}$
- $T_{c,\text{out}} = 43^\circ\text{C}$

Berdasarkan data temperatur masuk dan keluar fluida air laut diatas maka didapatkan nilai properties air laut yakni :

- $h_2 = 172.18 \text{ kJ/kg}$
- $h_1 = 119.98 \text{ kJ/kg}$

Kemudian didapatkan nilai kalor yang diterima oleh fluida dingin adalah sebagai berikut :

- $\dot{Q}_{\text{tube}} = \dot{m}(h_2 - h_1)$
 $\dot{Q}_{\text{tube}} = 4.5 \frac{\text{kg}}{\text{s}} (172.18 - 119.98) \frac{\text{kJ}}{\text{kg}}$
 $\dot{Q}_{\text{tube}} = 234.9 \frac{\text{kJ}}{\text{s}}$

4.3 Analisis Perpindahan Panas pada *Intercooler*

Analisis perpindahan panas pada *Intercooler* 1 dan 2 bertujuan untuk mengetahui performa dari *intercooler* tersebut. Adapun data yang digunakan di dalam menganalisis *intercooler* 1

dan 2 didasarkan pada data hasil *performance test* dan *comissioning*. Berikut adalah salah satu contoh perhitungan di dalam menganalisis *intercooler 1* sesuai dengan data bukaan 100 pada *performance test* bulan Desember 2014 :

1. $T_{h \text{ in}} = 150^\circ\text{C}$
2. $T_{h \text{ out}} = 38^\circ\text{C}$
3. $T_{c \text{ in}} = 30^\circ\text{C}$
4. $T_{c \text{ out}} = 43^\circ\text{C}$

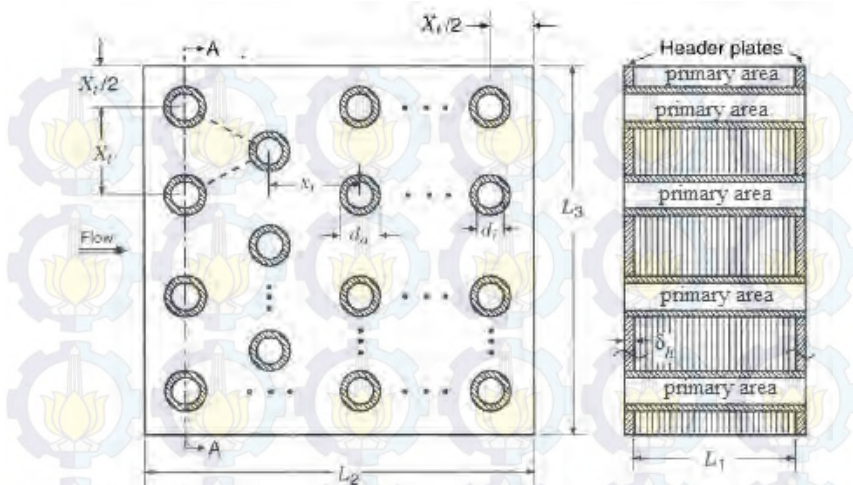
Dari data diatas kemudian dicari dan dihitung *propertiesnya* sehingga didapatkan data sebagai berikut :

- $\rho_{\text{in udara}} = 0.83425 \text{ kg/m}^3$
- $\rho_{\text{out udara}} = 1.13448 \text{ kg/m}^3$
- $\rho_{\text{in air laut}} = 1020.175 \text{ kg/m}^3$
- $\rho_{\text{out air laut}} = 1018.35 \text{ kg/m}^3$
- $\mu_{\text{in udara}} = 2.39 \times 10^{-5} \text{ kg/m.s}$
- $\mu_{\text{out udara}} = 1.901 \times 10^{-5} \text{ kg/m.s}$
- $Pr_{\text{udara}} = 0.6935$
- $Pr_{\text{air laut}} = 5.0575$
- $k_f_{\text{alumunium}} = 238.965 \text{ W/m.K}$
- $Cp_{\text{udara}} = 1.015 \text{ kJ/kg.K}$
- $Cp_{\text{air laut}} = 4.005 \text{ kJ/kg.K}$

Kemudian didapatkan luasan total, luasan frontal, dan luasan *minimum free flow area* dari komponen *intercooler* yakni sebagai berikut :

1. Luas Total (A_{total}) dari *intercooler* yakni :

$$A_{\text{total}} = A_p + A_f$$



Gambar 4.5 Area Primary dan Fin pada komponen *Intercooler*

Luas total dari *intercooler* adalah penjumlahan dari luasan *primary area* (luas *tube* yang tidak dipengaruhi oleh *fin*) dan luas *secondary area* (luas *fin*). Berikut adalah contoh perhitungan di dalam mencari nilai A_p dan A_f :

- *primary surface area*

$$A_p = \pi d_o (L_1 - \delta N_f L_1) N_t + 2 \left(L_2 L_3 - \frac{\pi d_o^2}{4} N_t \right)$$

$$A_p = (3.14 \times 0.15875 \text{ m}) \times$$

$$\left(0.528 \text{ m} - \left(2.5 \times 10^{-4} \text{ m} \times \frac{1164 \text{ m}}{0.528 \text{ m}} \times 0.528 \text{ m} \right) \right) \times 192$$

$$\quad \quad \quad \times 192)$$

$$+ 2 \left((0.610 \times 0.457 \text{ m}) - \frac{3.14 \times (0.015875 \text{ m})^2}{4} \times 192 \right)$$

$$A_p = 2.7498 \text{ m}^2$$

- Luas *fin (secondary area)*

$$A_f = \left(L_2 L_3 - \left(\frac{\pi d_o^2}{4} \right) N_t \right) N_f L_1 + (2L_3 \delta N_f L_1)$$

$$A_f = \left(- \left(\left(\frac{3.14 \times (0.015875 \text{ m})^2}{4} \right) \times 192 \text{ unit} \right) \right)$$

$$\times \left(\frac{1164 \text{ m}}{0.528 \text{ m}} \times 0.528 \text{ m} \right)$$

$$+ (2 \times 0.457 \text{ m} \times 2.5 \times 10^{-4} \text{ m} \times \frac{1164 \text{ m}}{0.528 \text{ m}} \times 0.528 \text{ m})$$

$$A_f = 280.541 \text{ m}^2$$

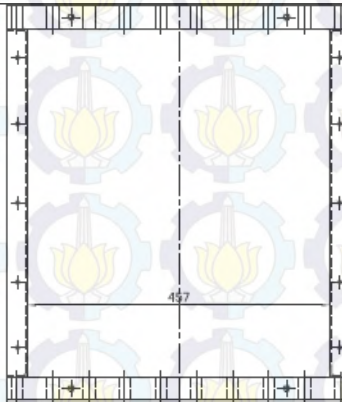
Maka nilai A_{total} adalah sebagai berikut :

- $A_{total} = A_p + A_f$

$$A_{total} = 2.7498 \text{ m}^2 + 280.541 \text{ m}^2$$

$$A_{total} = 283.2909 \text{ m}^2$$

2. Luas Penampang (*cross sectional area*) adalah luas daerah masuknya fluida udara ke dalam *intercooler* yakni :



Gambar 4.6 *Cross Sectional Area* dari *Intercooler*

Luas *Cross Sectional Area* adalah hasil perkalian antara lebar *fin* dan tinggi dari komponen *intercooler* dan dapat dinyatakan sebagai berikut :

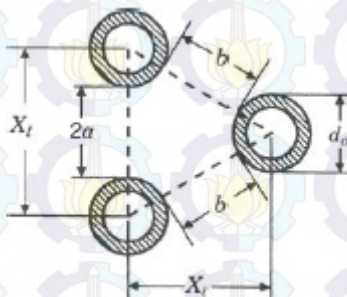
- $A_c = L_1 L_3 \rightarrow A_c = 0.528 \text{ m} \times 0.457 \text{ m}$
 $A_c = 0.241296 \text{ m}^2$

3. Luas *Minimum Free Flow Area* (A_o) merupakan luasan daerah celah-celah antara sisi-sisi *fin* dan *tube* dan dapat dinyatakan sebagai berikut :

$$A_o = \left(\frac{L_3}{P_t} - 1 \right) c'' + (P_t - d_o) - ((P_t - d_o)\delta N_f)L_1$$

Nilai c'' adalah :

- $c'' = 2a''$ jika $2a'' < 2b''$
- $c'' = 2b''$ jika $2b'' < 2a''$



Gambar 4.7 Susunan *Tube Staggered*

Kemudian didapatkan nilai $2a''$ dan $2b''$ adalah sebagai berikut :

- $2a'' = (P_t - d_o) - (P_t - d_o)\delta N_f$
 $2a'' = (0.0381 \text{ m} - 0.015875 \text{ m}) - ((0.0381 \text{ m} - 0.015875 \text{ m}) \times (2.5 \times 10^{-4} \text{ m} \times \frac{1164 \text{ m}}{0.528 \text{ m}}))$
 $2a'' = 9.975994 \times 10^{-3} \text{ m}$

- $$2b'' = \left(\left(\frac{P_t}{2} \right)^2 + Pl^2 \right)^{\frac{1}{2}} - d_o - (P_t - d_o)\delta N_f$$

$$2b'' = 2\left(\left(\frac{0.0381 \text{ m}}{2} \right)^2 + (0.033 \text{ m})^2 \right)^{\frac{1}{2}} - 0.015875 -$$

$$(0.0381 - 0.015875 \text{ m}) \times 2.5 \times 10^{-4} \text{ m} \times \frac{1164 \text{ m}}{0.528 \text{ m}}$$

$$2b'' = 2 \times 0.009979833 \text{ m}$$

$$2b'' = 1.9959665 \times 10^{-2} \text{ m}$$

Setelah mendapatkan nilai c'' maka didapatkan luas *minimum free flow area* adalah sebagai berikut:

- $$A_o = \left(\begin{array}{l} \left(\frac{0.457 \text{ m}}{0.0381 \text{ m}} - 1 \right) \times 9.975994 \times 10^{-3} + \\ (0.0381 \text{ m} - 0.15875 \text{ m}) - \\ ((0.0381 \text{ m} - 0.15875 \text{ m}) \times 2.5 \times 10^{-4} \times \frac{1164 \text{ m}}{0.528 \text{ m}}) \end{array} \right) \times 0.528 \text{ m}$$

$$A_o = 0.06318 \text{ m}^2$$

4. Luas Frontal adalah luas daerah yang tertabrak oleh fluida udara bertekanan. Luas frontal ini merupakan selisih antara luas *cross sectional area* dan luasan *minimum free flow area*, sehingga dapat dinyatakan sebagai berikut :

- $$A_{fr} = A_c - A_o \rightarrow A_{fr} = 0.241296 \text{ m}^2 - 0.06318 \text{ m}^2$$

$$A_{fr} = 0.17811575 \text{ m}^2$$

Kemudian setelah didapatkan nilai A_{total} , A_c , A_o dan A_{fr} maka dilanjutkan dengan mencari nilai Diameter hidrolis, nilai σ , dan nilai *mass flux* (G) yang terjadi pada sisi udara bertekanan. Berikut adalah salah satu contoh perhitungan di dalam mencari nilai-nilai tersebut :

1. Diameter Hidrolis

- $$D_h = \frac{4A_c L_2}{A}$$

$$D_h = \frac{4 \times 0.241296 \text{ m}^2 \times 0.61 \text{ m}}{283.2909 \text{ m}^2}$$

$$D_h = 2.078 \times 10^{-3} \text{ m}$$

2. Nilai σ adalah perbandingan antara nilai *minimum free flow area* dan luas total dari komponen *intercooler* dan dapat dinyatakan sebagai berikut :

- $\sigma = \frac{A_0}{A_{fr}}$

$$\sigma = \frac{0.069084455 \text{ m}^2}{0.241296 \text{ m}^2}$$

$$\sigma = 0.3547$$

3. Nilai *Mass Flux* (G)

- $G = \frac{\rho v}{\sigma}$

$$G = \frac{0.83425 \frac{\text{kg}}{\text{m}^3} \times 1.26 \frac{\text{m}}{\text{s}}}{0.3547}$$

$$G = 2.963 \text{ kg/m}^2 \cdot \text{s}$$

Kemudian dilanjutkan dengan menghitung nilai Reynolds, Nusselt, nilai coefficient konveksi dan nilai friction factor pada sisi fluida udara dan fluida air laut dengan perhitungan sebagai berikut :

1. Menghitung Nilai Reynolds

Nilai Reynolds terbagi menjadi 2 yakni :

- a. Nilai Reynolds pada sisi udara bertekanan (fluida panas) yang dapat dinyatakan sebagai berikut:

- $Re_D \text{ udara} = \frac{GD_h}{\mu}$

$$Re_D = \frac{3.6714 \frac{\text{kg}}{\text{m}^2 \cdot \text{s}} \times 2.0781 \times 10^{-3} \text{ m}}{2.39 \times 10^{-5}}$$

$$Re_D = 257.689$$

- b. Nilai Reynolds pada sisi air laut (fluida dingin) yang dapat dinyatakan sebagai berikut:

- $Re_D \text{ air laut} = \frac{v D}{\vartheta}$

$$Re_D \text{ air laut} = \frac{2.33 \frac{\text{m}}{\text{s}} \times 0.013395 \text{ m}}{0.0000206 \frac{\text{m}^2}{\text{s}}}$$

$$Re_D \text{ air laut} = 1515.065534$$

Nilai *Reynolds number* diatas menunjukkan bahwa Re_D udara dan Re_D air laut termasuk aliran laminar karena nilai $Re < 2300$.

2. Nilai Nusselt diperoleh berdasarkan dengan nilai *Reynolds* pada sisi udara dan sisi air laut. Berdasarkan nilai *Reynolds* tersebut diketahui bahwa aliran fluida adalah laminar sehingga nilai nusseltnya adalah sebagai berikut:

- $Nu_D \text{ udara} = 7.54$
- $Nu_D \text{ air laut} = 3.66$

3. Nilai *coefficient konveksi* (h) dibagi menjadi 2 yakni pada bagian fluida udara dan pada bagian fluida air laut
- Nilai *coefficient konveksi* (h) untuk fluida udara diperoleh sebagai berikut :

$$h = \frac{j \cdot Cp \cdot G}{Pr^{\frac{2}{3}}}$$

Kemudian didapatkan nilai *colburn factor* sesuai persamaan berikut :

- Mencari bilangan *Colburn* (j)

$$j = \frac{N_{ud} Pr^{-\frac{1}{3}}}{Re_D \text{ udara}} \rightarrow j = \frac{7.54(0.6935)^{-\frac{1}{3}}}{257.689}$$

$$j = 3.3 \times 10^{-2}$$

Sehingga nilai *coefficient konveksi* (h) untuk fluida sisi udara adalah sebagai berikut :

- Nilai *coefficient* konveksi (*h*) :

$$h = \frac{j \cdot Cp \cdot G}{Pr^{\frac{2}{3}}}$$

$$h = \frac{3.3 \times 10^{-2} \times 1015 \frac{J}{kg \cdot K} \times 2.963 \frac{kg}{m^2 \cdot s}}{(0.6935)^{\frac{2}{3}}}$$

$$h = 126.905 \frac{W}{m^2 K}$$

- Nilai *coefficient* konveksi (*h*) untuk fluida air laut diperoleh dengan persamaan berikut :

$$h = \frac{Nu_d k}{D_i} \rightarrow h = \frac{3.66 \times 0.622 \frac{W}{m \cdot K}}{0.013395 m}$$

$$h = 167.317 \frac{W}{m^2 K}$$

4. Nilai *friction factor* (*f*) berfungsi di dalam menghitung nilai *pressure drop* pada sisi fluida udara dan fluida air laut. Berdasarkan perhitungan nilai Reynolds didapatkan bahwa kedua aliran yang mengalir pada sisi *intercooler* adalah aliran laminar, sehingga nilai *friction factor* (*f*) untuk aliran laminar dapat dinyatakan sebagai berikut :

- Nilai *friction factor* (*f*) untuk fluida udara dengan sisi *fin* berbentuk *noncircular* adalah sebagai berikut :

$$f = \frac{96}{Re_D \text{ udara}} \rightarrow f = \frac{96}{257.689} \rightarrow f = 0.37254$$

- Nilai *friction factor* (*f*) untuk fluida air laut dengan sisi *tube* berbentuk *circular* adalah

$$f = \frac{64}{Re_D \text{ air laut}} \rightarrow f = \frac{64}{1515.065534} \rightarrow f = 4.224 \times 10^{-2}$$

Kemudian didapatkan pula nilai efisiensi η_f berdasarkan persamaan berikut :

$$\eta_f = \frac{\tanh(mL_C)}{(mL_C)}$$

Nilai m didapatkan berdasarkan perhitungan sebagai berikut :

- Nilai m

$$m = \frac{(2h)^{\frac{1}{2}}}{k_f \delta} \rightarrow m = \frac{\left(2 \times 126.905 \frac{W}{m^2 \cdot K}\right)^{\frac{1}{2}}}{238.965 \frac{W}{m \cdot K} \times 0.00025 \text{ m}}$$

$$m = 65.180 \frac{1}{m^2}$$

Maka nilai efisiensi η_f adalah

- Efisiensi η_f

$$\eta_f = \frac{\tanh(mL_C)}{(mL_C)}$$

$$\eta_f = \frac{\tanh\left(65.180 \frac{1}{m^2} \times 0.021066 \text{ m}\right)}{\left(65.180 \frac{1}{m^2} \times 0.021066 \text{ m}\right)}$$

$$\eta_f = 0.640$$

Setelah itu didapatkan pula nilai *Overall heat transfer coefficient* (U) berdasarkan perhitungan sebagai berikut :

$$U = \frac{1}{\frac{1}{\eta_{ohudara}} + \frac{R_{f,c}}{\eta_o} + R_w + \frac{R_{f,h}}{\eta_o} + \frac{1}{\eta_{ohair laut}}}$$

Berdasarkan persamaan diatas maka nilai *overall efisiensi* dan *wall resistance* dapat dinyatakan sebagai berikut :

- Menghitung *overall efisiensi* (η_o)

$$\eta_o = 1 - \frac{A_f}{A} (1 - \eta_f)$$

$$\eta_o = 1 - \frac{280.5411166 \text{ m}^2}{283.2909497 \text{ m}^2} (1 - 0.640)$$

$$\eta_o = 0.6439$$

- Menghitung *wall resistance* (R_w)

$$R_w = \frac{L_2}{k_f L_1 L_3}$$

$$R_w = \frac{0.610 \text{ m}}{238.965 \frac{W}{m \cdot K} \times 0.528 \text{ m} \times 0.457 \text{ m}}$$

$$R_w = 0.0105790 \frac{K}{W}$$

Sehingga didapatkan nilai *Overall heat transfer coefficient* (U) adalah sebagai berikut :

$$\bullet \quad U = \frac{1}{\frac{1}{\eta_{oh\text{udara}}} + \frac{R_{f,c}}{\eta_o} + R_w + \frac{R_{f,h}}{\eta_o} + \frac{1}{\eta_{oh\text{air laut}}}}$$

$$U = 30.276 \frac{W}{m^2 K}$$

Kemudian dihitung pula nilai C_{fin} dan C_{tube} antara kedua fluida diatas yakni sebagai berikut :

$$\bullet \quad C_{fin} = \dot{m} C_p \text{ udara} \rightarrow C_{fin} = \rho Q C_p \text{ udara}$$

$$C_{fin} = 0.83425 \frac{\text{kg}}{\text{m}^3} \times 1.44 \frac{\text{m}^3}{\text{s}} \times 1013 \frac{\text{J}}{\text{kg.K}}$$

$$C_{fin} = 1219.3398 \frac{\text{J}}{\text{s.K}}$$

$$\bullet \quad C_{tube} = \dot{m} C_p \text{ air laut} \rightarrow C_{tube} = 4.5 \frac{\text{kg}}{\text{s}} \times 4005 \frac{\text{J}}{\text{kg.K}}$$

$$C_{tube} = 18022.5 \frac{\text{J}}{\text{s.K}}$$

Berdasarkan perhitungan diatas dapat diketahui bahwa nilai $C_{minimum}$ adalah $C_{fin} = 1219.3398 \frac{\text{J}}{\text{s.K}}$ dan $C_{maksimum}$ adalah $C_{tube} = 18022.5 \frac{\text{J}}{\text{s.K}}$

Nilai NTU, *Effectiveness* (ϵ), dan *Pressure Drop* (Δp) yang berfungsi sebagai nilai indikator performa dari *intercooler* didapatkan sebagai berikut :

- Nilai NTU :

$$\text{NTU} = \frac{\text{UA}}{C_{\min}} \rightarrow \text{NTU} = \frac{30.276 \frac{\text{W}}{\text{m}^2 \text{K}} \times 283.2909 \text{m}^2}{1219.3398 \frac{\text{J}}{\text{s.K}}} \\ \text{NTU} = 7.034$$

2. Nilai *Effectiveness* (ϵ) didapatkan dari perbandingan antara kalor yang dikeluarkan oleh fluida udara secara aktual terhadap kalor maksimal yang dihasilkan oleh komponen *intercooler*. Nilai *Effectiveness* (ϵ) dapat dinyatakan sebagai berikut :

$$\epsilon = \frac{q}{q_{\max}}$$

Kemudian nilai q_{\max} dapat dinyatakan sebagai berikut :

- $q_{\max} = C_{\min}(T_{h,i} - T_{c,i})$

$$q_{\max} = 1219.3398 \frac{\text{J}}{\text{s.K}} (150 - 30) K$$

$$q_{\max} = 146.320776 \frac{\text{kJ}}{\text{s}}$$

Maka Nilai *Effectiveness* (ϵ) dapat dinyatakan sebagai berikut :

$$\epsilon = \frac{\dot{Q}_{\text{fin}}}{q_{\max}} \rightarrow \epsilon = \frac{135.869 \frac{\text{kJ}}{\text{s}}}{146.320776 \frac{\text{kJ}}{\text{s}}} \rightarrow \epsilon = 0.9286$$

3. Nilai *Pressure Drop* (Δp) dibagi menjadi 2 yakni :

- Pressure Drop* (Δp) pada sisi *fin*

$$\Delta p = \frac{G^2}{2\rho_i} \left(f \frac{A_t}{A_{\min}} \frac{\rho_i}{\rho} + (1 + \sigma^2) \left(\frac{\rho_i}{\rho_o} - 1 \right) \right)$$

$$\Delta p = 7626.843 \frac{N}{m^2}$$

$$\Delta p = 0.077 \frac{kgf}{cm^2}$$

- *Pressure Drop (Δp) pada sisi tube*

$$\Delta p = f \frac{L \rho v^2}{d_i 2}$$

$$= 4.224 \times 10^{-2} \times \frac{0.528 \text{ m}}{0.013395 \text{ m}} \times \frac{1020.175 \frac{\text{kg}}{\text{m}^3} (2.33 \frac{\text{m}}{\text{s}})^2}{2}$$

$$\Delta p = 4611.0123 \frac{\text{N}}{\text{m}^2}$$

$$\Delta p = 0.047019 \frac{\text{kgs}}{\text{cm}^2}$$

Untuk data dan perhitungan lain di dalam analisis *intercooler* secara lengkap dapat dilihat pada lampiran.

4.4 Analisis Daya Motor

Analisis perhitungan daya motor untuk kompresor 35-K-1A didapatkan dengan persamaan :

$$P_{motor} = AV\sqrt{3} \cos \varphi$$

Adapun contoh perhitungan diambil dari data kompresor bukaan 100 pada *performance test* bulan Desember 2014 dengan data sebagai berikut :

- $P_{motor} = AV\sqrt{3} \cos \varphi$
 $P_{motor} = \frac{88.3 \text{ A} \times 4000 \text{ V} \times 1.73 \times 0.85}{1000}$
 $P_{motor} = 519.3806 \text{ kWatt}$

Untuk data daya motor pada setiap *performance test* secara lengkap dapat dilihat pada lampiran.

4.5 Pembahasan

4.5.1 Grafik Efisiensi Per Stage Kompresor Terhadap Bukaan

Berikut adalah data efisiensi per *stage* kompresor terhadap bukaan hasil data *commissioning*, *performance test* bulan Desember 2014, *performance test* bulan Januari 2015 dan *performance test* bulan April 2015:

Tabel 4.3 Data Efisiensi per *Stage* Kompresor Terhadap Bukaan pada Data *Comissioning*

| Bukaan (%) | Q (m ³ /s) | \dot{m} (kg/s) | η stage 1 | η stage 2 | η stage 3 |
|------------|-----------------------|------------------|----------------|----------------|----------------|
| 100 | 1.415842 | 2.532446 | 0.719067 | 0.72369 | 0.730818 |

Tabel 4.4 Data Efisiensi per *Stage* Kompresor Terhadap Bukaan pada Data Bulan Desember 2014

| Bukaan (%) | Q (m ³ /s) | \dot{m} (kg/s) | η stage 1 | η stage 2 | η stage 3 |
|------------|-----------------------|------------------|----------------|----------------|----------------|
| 100 | 1.440384 | 1.77038 | 0.569455 | 0.81819 | 0.483017 |
| 80 | 1.429529 | 1.757038 | 0.569455 | 0.827411 | 0.484747 |
| 70 | 1.409707 | 1.732675 | 0.569455 | 0.762152 | 0.477381 |
| 65 | 1.388469 | 1.706572 | 0.569455 | 0.779876 | 0.477381 |
| 60 | 1.372423 | 1.686849 | 0.593951 | 0.779876 | 0.486786 |
| 55 | 1.316733 | 1.618401 | 0.593951 | 0.842898 | 0.539492 |
| 50 | 1.23839 | 1.522109 | 0.593951 | 0.860359 | 0.553959 |
| 45 | 1.156271 | 1.421176 | 0.593951 | 0.831786 | 0.592377 |

Tabel 4.5 Data Efisiensi per *Stage* Kompresor Terhadap Bukaan pada Data Bulan Januari 2015

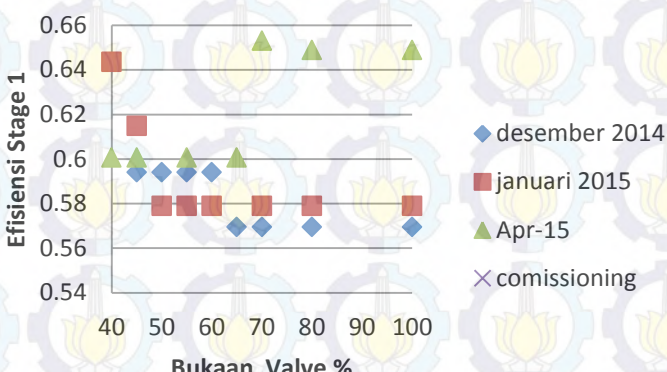
| Bukaan (%) | Q (m ³ /s) | \dot{m} (kg/s) | η stage 1 | η stage 2 | η stage 3 |
|------------|-----------------------|------------------|----------------|----------------|----------------|
| 100 | 1.43944 | 1.76922 | 0.5789 | 0.641413 | 0.505814 |
| 80 | 1.43472 | 1.763419 | 0.5789 | 0.641413 | 0.505814 |
| 70 | 1.409707 | 1.732675 | 0.5789 | 0.64404 | 0.522967 |
| 60 | 1.359209 | 1.670607 | 0.5789 | 0.64404 | 0.567843 |
| 55 | 1.31343 | 1.61434 | 0.5789 | 0.686576 | 0.560634 |
| 50 | 1.254436 | 1.541831 | 0.5789 | 0.707844 | 0.567184 |
| 45 | 1.16571 | 1.432778 | 0.614808 | 0.743394 | 0.605714 |
| 40 | 1.118515 | 1.374771 | 0.643534 | 0.762143 | 0.611271 |

Tabel 4.6 Data Efisiensi per *Stage* Kompresor Terhadap Bukaan pada Data Bulan April 2015

| Bukaan (%) | Q (m ³ /s) | \dot{m} (kg/s) | η stage 1 | η stage 2 | η stage 3 |
|------------|-----------------------|------------------|----------------|----------------|----------------|
| 100 | 1.609813 | 1.974645 | 0.648862 | 0.542739 | 0.606601 |
| 80 | 1.557427 | 1.910386 | 0.648862 | 0.55653 | 0.627932 |
| 70 | 1.510232 | 1.852496 | 0.653088 | 0.53932 | 0.683099 |
| 65 | 1.476252 | 1.810815 | 0.60061 | 0.593812 | 0.644179 |
| 55 | 1.413483 | 1.73382 | 0.60061 | 0.61102 | 0.685212 |
| 45 | 1.287001 | 1.578674 | 0.60061 | 0.61102 | 0.643154 |
| 40 | 1.261987 | 1.547992 | 0.60061 | 0.678162 | 0.652249 |

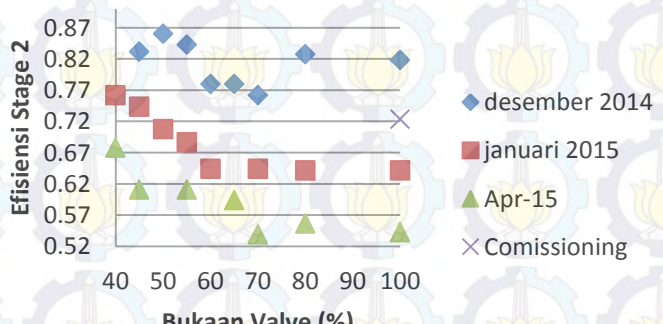
Berdasarkan data diatas maka dibuat grafik efisiensi per *stage* terhadap bukaan sebagai berikut :

Efisiensi Stage 1 Vs Bukaan



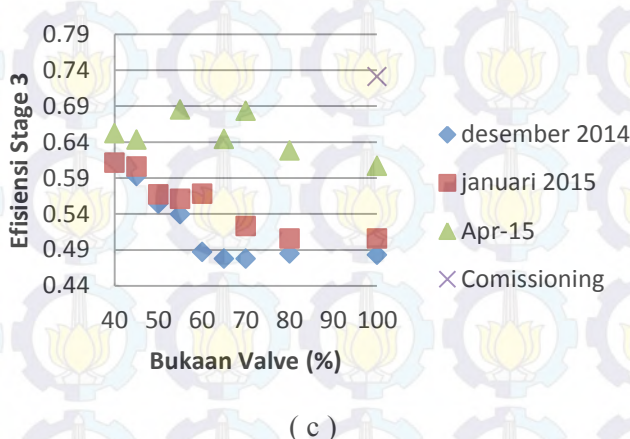
(a)

Efisiensi Stage 2 Vs Bukaan



(b)

Efisiensi Stage 3 Vs Bukaan



Gambar 4.8 (a) Grafik Bukaan terhadap Efisiensi Kompresor *Stage 1*, (b) Grafik Bukaan terhadap Efisiensi Kompresor *Stage 2*, dan (c) Grafik Bukaan terhadap Efisiensi Kompresor *Stage 3*

Efisiensi per *stage* pada kompresor merupakan salah satu indikator untuk mengetahui kinerja dari kompresor tersebut. Perbandingan grafik efisiensi terhadap buaan (*flow*) pada *performance test* bulan Desember 2014 hingga April 2015 terdiri dari buaan *valve* 40-100 %, sedangkan pada hasil *commissioning* hanya terdiri dari buaan *valve* 100 %. Berdasarkan kondisi operasi kompresor 35-K-1A pada *performance test* bulan Desember 2014 hingga April 2015 didapatkan nilai efisiensi per *stage* kompresor yang menurun seiring bertambah besarnya buaan *valve*. Berdasarkan grafik diatas diketahui bahwa nilai efisiensi *stage 1* pada hasil *commissioning* mencapai 0.719, efisiensi *stage 2* mencapai 0.724 dan efisiensi *stage 3* mencapai 0.731. Kemudian berdasarkan hasil *performance test* bulan Desember 2014 didapatkan nilai efisiensi maksimum *stage 1* mencapai 0.5939 pada buaan *valve* 45-60 % dan nilai efisiensi minimum 0.569455 pada buaan 65-100 %. Kemudian nilai

efisiensi *stage 2* mencapai nilai maksimum sebesar 0.860 pada bukaan 50 % dan efisiensi minimum mencapai 0.762 pada bukaan *valve* 70%, sedangkan efisiensi maksimum *stage 3* mencapai 0.592 pada bukaan *valve* 45% serta efisiensi minimum mencapai 0.477 pada bukaan *valve* 65-70%. Berdasarkan grafik efisiensi per *stage* pada bulan Desember 2014 didapatkan nilai efisiensi *stage 1* dan *stage 3* pada bukaan 100 % terletak dibawah nilai efisiensi per *stage* pada hasil data *commissioning*, sedangkan efisiensi *stage 2* terletak diatas data *comissioning*. Berdasarkan hasil *performance test* bulan Januari 2015 didapatkan nilai efisiensi maksimum *stage 1* mencapai 0.643 pada bukaan *valve* 40 % dan nilai efisiensi minimum mencapai 0.579 pada bukaan *valve* 50-100 %. Kemudian nilai efisiensi maksimum *stage 2* mencapai 0.762 pada bukaan 40 % dan efisiensi minimum mencapai 0.633 pada bukaan 80-100 %, sedangkan nilai efisiensi maksimum *stage 3* mencapai 0.611 pada bukaan 40% serta nilai efisiensi minimum mencapai 0.504 pada bukaan 80-100%. Kemudian berdasarkan hasil *performance test* bulan April 2015 didapatkan nilai efisiensi maksimum *stage 1* mencapai 0.655 pada bukaan 70 % dan nilai efisiensi minimum mencapai 0.6023 pada bukaan 40-65 %. Kemudian nilai efisiensi maksimum *stage 2* mencapai 0.662 pada bukaan 40 % dan efisiensi minimum mencapai 0.521 pada bukaan 70 %, sedangkan nilai efisiensi maksimum *stage 3* mencapai 0.684 pada bukaan 70% serta nilai efisiensi minimum mencapai 0.6088 pada bukaan 100%. Berdasarkan grafik efisiensi per *stage* terhadap bukaan pada bulan Januari dan April 2015 didapatkan nilai efisiensi *stage 1* hingga *stage 3* berada dibawah nilai hasil data *commissioning*.

Namun pada kenyataannya nilai efisiensi *stage 1*, *stage 2*, dan *stage 3* mengalami fluktuasi seiring pengaturan bukaan *valve* yang dijalankan. Pada bulan Desember 2014 dan Januari 2015 didapatkan nilai efisiensi *stage 1*, *stage 2* dan *stage 3* yang semakin menurun seiring bukaan yang semakin besar. Pada bulan April 2015 didapatkan nilai efisiensi terbesar pada *stage 1* dengan

bukaan (100 %), efisiensi *stage* 2 terbesar terdapat pada bukaan 40 %, dan efisiensi *stage* 3 terbesar pada bukaan 70 %.

Nilai efisiensi pada kompresor merupakan perbandingan antara jumlah kerja spesifik secara isentropik dengan kerja spesifik secara aktual sesuai dengan persamaan 2.7. Oleh sebab itu nilai efisiensi per *stage* kompresor akan semakin menurun seiring dengan meningkatnya bukaan (*flow*) yang masuk pada kompresor. Hal ini disebabkan oleh adanya kerak yang terdapat pada pipa inlet udara masuk pada kompresor dan juga akibat kondisi valve yang tidak sesuai dengan spesifikasi.

4.5.2 Grafik *Effectiveness Intercooler* Terhadap Bukaan

Berikut adalah data *effectiveness intercooler* 1 dan 2 terhadap bukaan berdasarkan hasil data *commissioning*, *performance test* bulan Desember 2014, *performance test* bulan Januari 2015 dan *performance test* bulan April 2015:

Tabel 4.7 Data *Effectiveness Intercooler* Terhadap Bukaan pada Data *Comissioning*

| Hasil Comissioning | | | |
|---------------------------|-------------------------|-----------------------------------|-----------------------------------|
| Bukaan (%) | Q (m ³ /min) | $\epsilon_{\text{intercooler 1}}$ | $\epsilon_{\text{intercooler 2}}$ |
| 100 | 84,95 | 0.971693997 | 0.967915245 |

Tabel 4.8 Data *Effectiveness Intercooler* Terhadap Bukaan pada Data Bulan Desember 2014

| Hasil Bulan Desember 2014 | | | |
|----------------------------------|-------------------------------|-----------------------------------|-----------------------------------|
| Bukaan (%) | Q (m^3/min) | $\epsilon_{\text{intercooler 1}}$ | $\epsilon_{\text{intercooler 2}}$ |
| 100 | 86.42 | 0.928571429 | 0.88722487 |
| 80 | 85.77 | 0.920361248 | 0.879661145 |
| 70 | 84.58 | 0.912151067 | 0.872097421 |
| 65 | 83.31 | 0.912151067 | 0.872097421 |
| 60 | 82.35 | 0.913348946 | 0.872097421 |
| 55 | 79 | 0.913348946 | 0.872097421 |
| 50 | 74.3 | 0.913348946 | 0.872097421 |
| 45 | 69.38 | 0.913348946 | 0.872097421 |

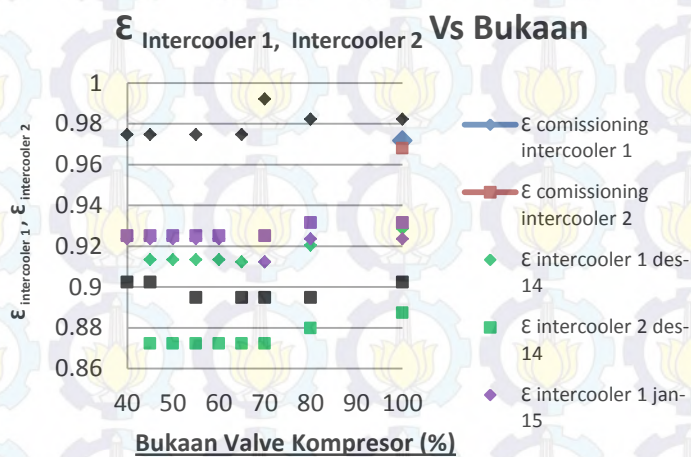
Tabel 4.9 Data *Effectiveness Intercooler* Terhadap Bukaan pada Data Bulan Januari 2015

| Hasil Bulan Januari 2015 | | | |
|---------------------------------|-------------------------------|-----------------------------------|-----------------------------------|
| Bukaan (%) | Q (m^3/min) | $\epsilon_{\text{intercooler 1}}$ | $\epsilon_{\text{intercooler 2}}$ |
| 100 | 86.37 | 0.923449699 | 0.931505165 |
| 80 | 86.08 | 0.923449699 | 0.931505165 |
| 70 | 84.58 | 0.912151067 | 0.925043491 |
| 60 | 81.55 | 0.923449699 | 0.925043491 |
| 55 | 78.81 | 0.923449699 | 0.925043491 |
| 50 | 75.27 | 0.923449699 | 0.925043491 |
| 45 | 69.94 | 0.923449699 | 0.925043491 |
| 40 | 67.11 | 0.923449699 | 0.925043491 |

Tabel 4.10 Data Effectiveness Intercooler Terhadap Bukaan pada Data Bulan April 2015

| Hasil Bulan April 2015 | | | |
|-------------------------------|-------------------------------|-----------------------------------|-----------------------------------|
| Bukaan (%) | Q (m^3/min) | $\epsilon_{\text{intercooler 1}}$ | $\epsilon_{\text{intercooler 2}}$ |
| 100 | 94.15 | 0.982230997 | 0.902352318 |
| 80 | 93.45 | 0.982230997 | 0.894788594 |
| 70 | 90.61 | 0.992102665 | 0.894788594 |
| 65 | 88.58 | 0.97460289 | 0.894788594 |
| 55 | 84.81 | 0.97460289 | 0.894788594 |
| 45 | 77.22 | 0.97460289 | 0.902352318 |
| 40 | 75.72 | 0.97460289 | 0.902352318 |

Berdasarkan data diatas maka dibuat *effectiveness intercooler 1* dan *2* terhadap bukaan sebagai berikut :



Gambar 4.9 Grafik Bukaan Terhadap *Effectiveness Intercooler*

Effectiveness adalah salah satu indikator yang menunjukkan performa dari *intercooler*. Berdasarkan grafik *effectiveness* terhadap bukaan pada data *performance test* bulan Desember 2014 hingga April 2015 dapat diketahui bahwa nilai *effectiveness intercooler 1* lebih tinggi dibandingkan dengan nilai *effectiveness intercooler 2*. Pada bulan Desember 2014 nilai *effectiveness intercooler 1* konstan dengan nilai 0.91 untuk bukaan (45-70 %), kemudian meningkat hingga mencapai 0.93 pada bukaan 100 %, sedangkan nilai *effectiveness intercooler 2* konstan dengan nilai 0.872 pada bukaan 45-70 % dan kemudian naik hingga mencapai 0.887 pada bukaan 100%. Pada bulan Januari 2015 nilai *effectiveness intercooler 1* berada konstan dengan nilai 0.923 pada bukaan (40-100%) sedangkan nilai *effectiveness intercooler 2* mencapai nilai 0.925 pada bukaan (40-70%) dan kemudian naik hingga mencapai 0.93 pada bukaan (80-100 %). Nilai *effectiveness intercooler 1* dan 2 pada bulan Desember 2014 dan Januari 2015 terletak dibawah nilai *effectiveness* pada saat *commissioning* yakni 0.97. Kemudian pada bulan April 2015 didapatkan nilai *effectiveness intercooler 1* terletak diatas hasil *commissioning* dan mencapai 0.992 pada bukaan 70%, sedangkan *effectiveness intercooler 2* terletak pada nilai 0.89-0.902 pada bukaan 40-100%.

Nilai *effectiveness* pada *intercooler 1* dan 2 seharusnya memiliki nilai yang hampir sama karena kedua komponen tersebut memiliki spesifikasi sama. Namun pada kenyataannya nilai *effectiveness intercooler* mengalami fluktuasi. Berdasarkan grafik diatas nilai *effectiveness intercooler 2* terletak dibawah nilai *effectiveness intercooler 1*. Hal ini mengindikasikan bahwa *intercooler 2* mengalami permasalahan sehingga nilai *effectiveness intercooler 2* terletak dibawah *intercooler 1*. Hal ini mengindikasikan bahwa performa *intercooler 2* kurang baik sehingga temperatur udara sebelum masuk pada *suction kompresor stage 3* menjadi tinggi. Hal ini berdampak terhadap *flow* dan *pressure* yang masuk pada kompresor *stage 3* menjadi berkurang sehingga performa kompresor.

4.5.3 Grafik *Pressure Drop (ΔP) Intercooler* Terhadap Bukaan

Berikut adalah data *pressure drop intercooler* 1 dan 2 terhadap buaan berdasarkan hasil data *commissioning*, *performance test* bulan Desember 2014, *performance test* bulan Januari 2015 dan *performance test* bulan April 2015:

Tabel 4.11 Data *Pressure Drop Intercooler* Terhadap Bukaan pada Data *Comissioning*

| Hasil Comissioning | | | |
|---------------------------|-------------------------|--|--|
| Bukaan (%) | Q (m ³ /min) | $\Delta P_{\text{intercooler 1}}$ (kgf/cm ²) | $\Delta P_{\text{intercooler 2}}$ (kgf/cm ²) |
| 100 | 84,95 | 0.071 | 0.075 |

Tabel 4.12 Data *Pressure Drop Intercooler* Terhadap Bukaan pada Data Bulan Desember 2014

| Hasil Bulan Desember 2014 | | | |
|----------------------------------|-------------------------|--|--|
| Bukaan (%) | Q (m ³ /min) | $\Delta P_{\text{intercooler 1}}$ (kgf/cm ²) | $\Delta P_{\text{intercooler 2}}$ (kgf/cm ²) |
| 100 | 86.42 | 0.07777216 | 0.07892498 |
| 80 | 85.77 | 0.07800007 | 0.07902611 |
| 70 | 84.58 | 0.07800007 | 0.07902611 |
| 65 | 83.31 | 0.07800007 | 0.07902611 |
| 60 | 82.35 | 0.07815656 | 0.07902611 |
| 55 | 79 | 0.07815656 | 0.07902611 |
| 50 | 74.3 | 0.07815656 | 0.07902611 |
| 45 | 69.38 | 0.07815656 | 0.07902611 |

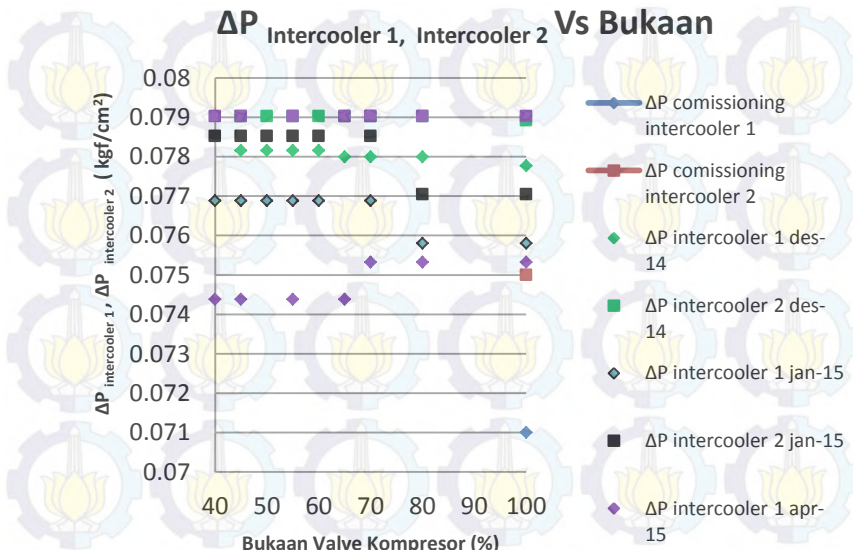
Tabel 4.13 Data *Pressure Drop Intercooler* Terhadap Bukaan pada Data Bulan Januari 2015

| Hasil Bulan Januari 2015 | | | |
|---------------------------------|-------------------------|--|--|
| Bukaan (%) | Q (m ³ /min) | ΔP _{intercooler 1} (kgf/cm ²) | ΔP _{intercooler 2} (kgf/cm ²) |
| 100 | 86.37 | 0.07580183 | 0.0770491 |
| 80 | 86.08 | 0.07580183 | 0.0770491 |
| 70 | 84.58 | 0.07688072 | 0.07852646 |
| 60 | 81.55 | 0.07688072 | 0.07852646 |
| 55 | 78.81 | 0.07688072 | 0.07852646 |
| 50 | 75.27 | 0.07688072 | 0.07852646 |
| 45 | 69.94 | 0.07688072 | 0.07852646 |
| 40 | 67.11 | 0.07688072 | 0.07852646 |

Tabel 4.14 Data *Pressure Drop Intercooler* Terhadap Bukaan pada Data Bulan April 2015

| Hasil Bulan April 2015 | | | |
|-------------------------------|-------------------------|--|--|
| Bukaan (%) | Q (m ³ /min) | ΔP _{intercooler 1} (kgf/cm ²) | ΔP _{intercooler 2} (kgf/cm ²) |
| 100 | 94.15 | 0.07532548 | 0.07902611 |
| 80 | 93.45 | 0.07532548 | 0.07902611 |
| 70 | 90.61 | 0.07532548 | 0.07902611 |
| 65 | 88.58 | 0.07438131 | 0.07902611 |
| 55 | 84.81 | 0.07438131 | 0.07902611 |
| 45 | 77.22 | 0.07438131 | 0.07902611 |
| 40 | 75.72 | 0.07438131 | 0.07902611 |

Berdasarkan data diatas maka dibuat *pressure drop intercooler* 1 dan 2 terhadap bukaan sebagai berikut :



Gambar 4.10 Grafik Bukaan Terhadap *Pressure Drop Intercooler (ΔP)*

Penurunan Tekanan (*Pressure drop*) yang semakin tinggi merupakan salah satu indikator suatu komponen *heat exchanger* mengalami permasalahan. Pada umumnya terdapat nilai *pressure drop* yang diijinkan oleh perusahaan pembuat komponen *heat exchanger*. Pada komponen ini *pressure drop* yang diijinkan adalah 0.075 kgf/cm^2 . Pada bulan Desember 2014 didapatkan nilai *pressure drop* pada *intercooler* 1 terletak antara $0.077\text{-}0.0782 \text{ kgf/cm}^2$, sedangkan nilai *pressure drop* pada *intercooler* 2 terletak pada 0.0790 kgf/cm^2 . Kemudian pada bulan Januari 2015 didapatkan nilai *pressure drop* *intercooler* 1 terletak antara $0.0758\text{-}0.07688 \text{ kgf/cm}^2$, sedangkan nilai *pressure drop* pada *intercooler* 2 terletak antara nilai $0.077\text{-}0.0785 \text{ kgf/cm}^2$. Pada bulan April 2015 didapatkan nilai *pressure drop* *intercooler* 1

terletak antara 0.0743-0.0753 kgf/cm², sedangkan nilai *pressure drop intercooler* 2 terletak pada nilai 0.0790 kgf/cm². Nilai *pressure drop* pada *intercooler* 1 dan 2 pada *performance test* bulan Desember 2014 hingga April 2015 terletak dibawah nilai *commissioning* yakni 0.071 pada *intercooler* 1 dan 0.075 pada *intercooler* 2.

Berdasarkan grafik diatas didapatkan bahwa semakin besarnya nilai *pressure drop* yang terjadi pada *intercooler* 1 dan 2 mengindikasikan bahwa *intercooler* mengalami permasalahan. Oleh karena itu dapat dikatakan bahwa *intercooler* mengalami *low performance*.

4.5.4 Grafik $P_{motor}/\Delta p$, $P_{motor}/\Delta T$ terhadap Bukaan

Berikut adalah data $P_{motor}/\Delta p$ dan $P_{motor}/\Delta T$ terhadap buaan berdasarkan hasil data *commissioning*, *performance test* bulan Desember 2014, *performance test* bulan Januari 2015 dan *performance test* bulan April 2015:

Tabel 4.15 Data $P_{motor}/\Delta p$ dan $P_{motor}/\Delta T$ Terhadap Bukaan pada Data *Comissioning*

| Hasil Data Comissioning | | | | |
|--------------------------------|---------------------------|-------------|----------------------|----------------------|
| Bukaan | Q (m ³ /min) | P_{motor} | $P_{motor}/\Delta p$ | $P_{motor}/\Delta T$ |
| 100 | 84.95 | 538.32 | 59.97 | 4.87 |

Tabel 4.16 Data $P_{motor}/\Delta p$ dan $P_{motor}/\Delta T$ Terhadap Bukaan pada Data Bulan Desember 2014

| Hasil Bulan Desember 2014 | | | | |
|----------------------------------|-----------------|--------|--------------------|--------------------|
| Bukaan | Q (m^3/min) | Pmotor | Pmotor/ ΔP | Pmotor/ ΔT |
| 100 | 86.42 | 570.65 | 96.72 | 5.41 |
| 80 | 85.77 | 533.03 | 88.84 | 4.87 |
| 70 | 84.58 | 530.03 | 86.89 | 4.79 |
| 65 | 83.31 | 527.79 | 86.52 | 4.77 |
| 60 | 82.35 | 515.09 | 81.76 | 4.66 |
| 55 | 79 | 515.09 | 78.04 | 4.66 |
| 50 | 74.3 | 505.85 | 72.26 | 4.57 |
| 45 | 69.38 | 492.44 | 66.55 | 4.45 |

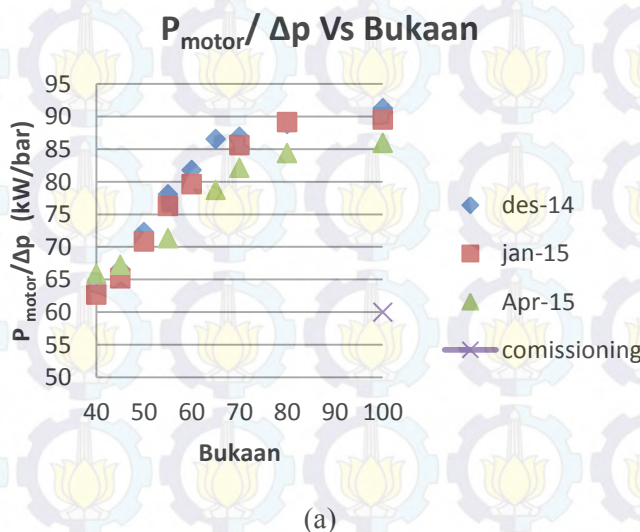
Tabel 4.17 Data $P_{motor}/\Delta p$ dan $P_{motor}/\Delta T$ Terhadap Bukaan pada Data Bulan Januari 2015

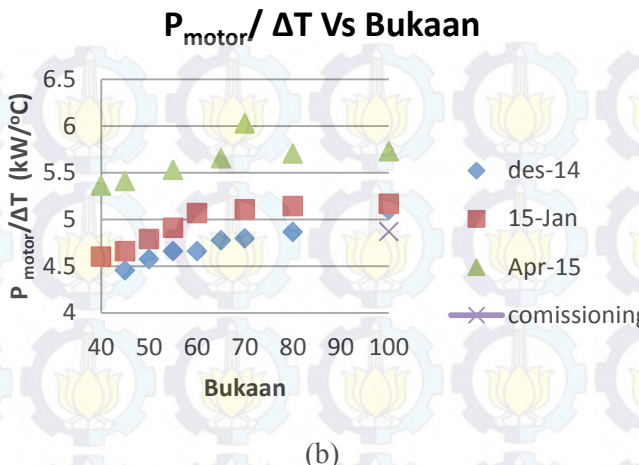
| Hasil Bulan Januari 2015 | | | | |
|---------------------------------|-----------------|--------|--------------------|--------------------|
| Bukaan | Q (m^3/min) | Pmotor | Pmotor/ ΔP | Pmotor/ ΔT |
| 100 | 86.37 | 519.38 | 89.55 | 5.16 |
| 80 | 86.08 | 517.03 | 89.14 | 5.14 |
| 70 | 84.58 | 513.50 | 85.58 | 5.11 |
| 60 | 81.55 | 509.38 | 79.59 | 5.07 |
| 55 | 78.81 | 503.50 | 76.29 | 4.91 |
| 50 | 75.27 | 495.85 | 70.84 | 4.79 |
| 45 | 69.94 | 482.32 | 65.18 | 4.66 |
| 40 | 67.11 | 476.44 | 62.69 | 4.60 |

Tabel 4.18 Data $P_{motor}/\Delta p$ dan $P_{motor}/\Delta T$ Terhadap Bukaan pada Data Bulan April 2015

| Hasil Bulan April 2015 | | | | |
|-------------------------------|-----------------|--------|--------------------|--------------------|
| Bukaan | Q (m^3/min) | Pmotor | Pmotor/ ΔP | Pmotor/ ΔT |
| 100 | 94.15 | 601.49 | 85.93 | 5.73 |
| 80 | 93.45 | 598.96 | 84.36 | 5.70 |
| 70 | 90.61 | 599.38 | 82.11 | 6.03 |
| 65 | 88.58 | 590.32 | 78.71 | 5.65 |
| 55 | 84.81 | 577.61 | 71.31 | 5.53 |
| 45 | 77.22 | 565.02 | 67.26 | 5.41 |
| 40 | 75.72 | 559.73 | 65.85 | 5.36 |

Berdasarkan data diatas maka nilai terhadap bukaan sebagai berikut :





Gambar 4.11 (a) Grafik $P_{motor}/\Delta p$ terhadap Bukaan , (b) Grafik $P_{motor}/\Delta T$ terhadap Bukaan

Grafik $P_{motor}/\Delta p$ terhadap bukaan menunjukkan besarnya daya motor dibagi dengan tekanan yang dihasilkan terhadap variasi bukaan. Nilai $P_{motor}/\Delta p$ merupakan nilai *flowrate* yang dihasilkan saat terjadinya variasi bukaan. Berdasarkan grafik tersebut dapat dilihat bahwa dengan bertambah Δp maka $P_{motor}/\Delta p$ akan semakin berkurang, sehingga nilai Δp terbesar terletak pada bukaan terkecil dari kompresor. Pada bulan Desember 2014 nilai $P_{motor}/\Delta p$ terbesar terletak pada bukaan 100% dan mencapai nilai 91 kWatt/bar. Nilai 91 kWatt/bar sama dengan nilai *flowrate* sebesar $0.91 \text{ m}^3/\text{s}$ pada bukaan 100 %. Kemudian pada bulan Januari 2015 nilai $P_{motor}/\Delta p$ terbesar terletak pada bukaan 100% dan mencapai 90 kWatt/bar. Nilai 90 kWatt/bar sama dengan nilai *flowrate* sebesar $0.90 \text{ m}^3/\text{s}$ pada bukaan 100 %. Kemudian pada bulan April nilai $P_{motor}/\Delta p$ terbesar terletak pada bukaan 100% dan encapai 85 kWatt/bar atau setara dengan nilai *flowrate* $0.85 \text{ m}^3/\text{s}$. Ketiga grafik $P_{motor}/\Delta p$ tersebut terletak diatas nilai $P_{motor}/\Delta p$ saat bukaan 100%. Nilai $P_{motor}/\Delta p$ saat *commissioning* adalah 60 kWatt/bar atau setara dengan nilai $0.60 \text{ m}^3/\text{s}$. Nilai

$P_{motor}/\Delta p$ atau *flowrate* ini memiliki fungsi kuadratik sehingga nilai *flowrate* akan membesar sesuai dengan fungsi kuadratik dengan semakin besarnya bukaan.

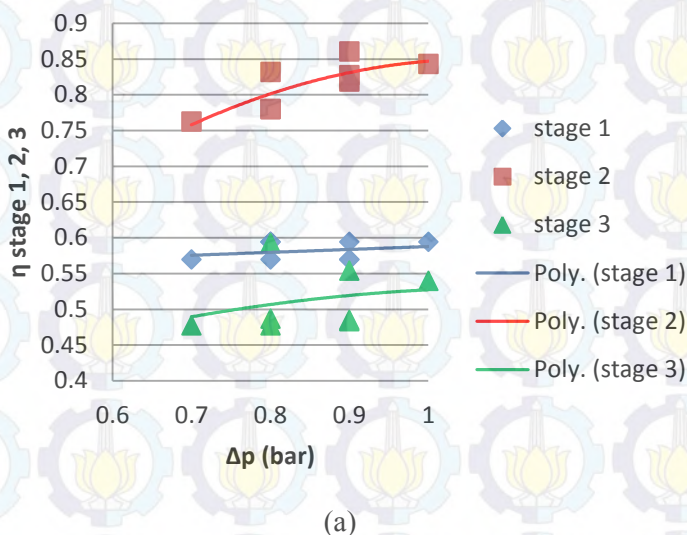
Grafik $P_{motor}/\Delta T$ menunjukkan besarnya daya motor dibagi dengan temperatur yang dihasilkan akibat variasi bukaan yang dijalankan. Nilai ΔT yang dihasilkan pada proses kompresi udara memiliki fungsi kuadratik, sehingga nilai ΔT semakin besar dengan bertambahnya bukaan pada kompresor. Pada bulan Desember 2014 didapatkan nilai $P_{motor}/\Delta T$ terletak antara 4.5-5.1 kWatt/ $^{\circ}$ C. Kemudian pada bulan Januari 2015 didapatkan nilai $P_{motor}/\Delta T$ terletak antara 4.51-5.2 kWatt/ $^{\circ}$ C. Pada bulan April 2015 didapatkan nilai $P_{motor}/\Delta T$ terletak antara 5.3-6 kWatt/ $^{\circ}$ C. Berdasarkan grafik diatas nilai $P_{motor}/\Delta T$ untuk ketiga *performance test* diatas terletak diatas nilai *commissioning* yakni 4.8 kWatt/ $^{\circ}$ C.

Dari kedua grafik diatas disimpulkan bahwa $P_{motor}/\Delta p$ dan $P_{motor}/\Delta T$ terhadap bukaan berbanding secara kuadratik. Berdasarkan grafik diatas dapat dilihat bahwa sistem kompresor masih berjalan dengan baik namun sudah tidak sesuai dengan spesifikasi.

4.5.5 Grafik Efisiensi Terhadap Penurunan Tekanan pada Intercooler

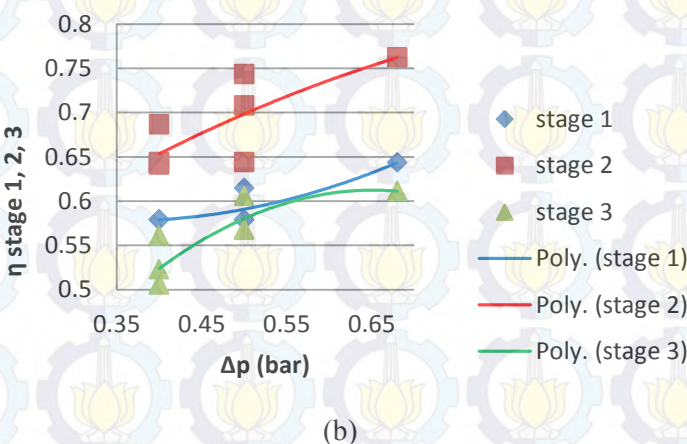
Berdasarkan data *performance test* bulan Desember 2014 hingga April 2015 didapatkan grafik efisiensi terhadap penurunan tekanan pada intercooler sebagai berikut :

Efisiensi Bulan Desember 2014 Vs Δp



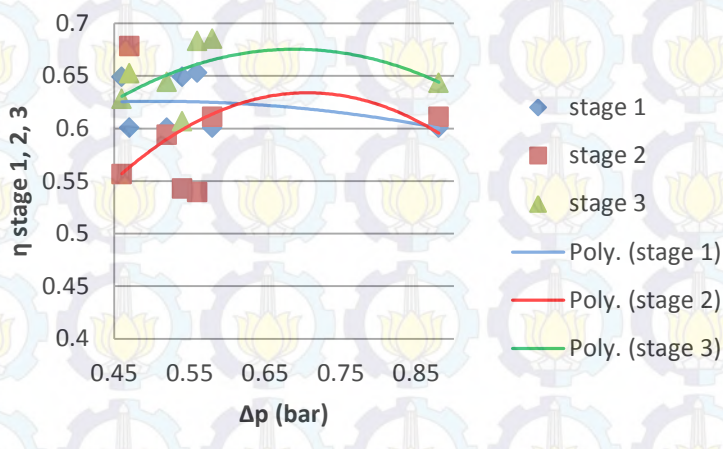
(a)

Efisiensi Bulan Januari 2015 Vs Δp



(b)

Efisiensi Bulan April 2015 Vs Δp



Gambar 4.12 (a) Grafik Penurunan Tekanan *Intercooler* terhadap Efisiensi Kompresor *Stage 1*, **(b)** Grafik Penurunan Tekanan *Intercooler* terhadap Efisiensi Kompresor *Stage 2*, dan **(c)** Grafik Penurunan Tekanan *Intercooler* terhadap Efisiensi Kompresor *Stage 3*

Berdasarkan grafik sistem kompresor diatas didapatkan bahwa nilai efisiensi *stage 1*, efisiensi *stage 2*, dan efisiensi *stage 3* pada bulan Desember hingga April 2015 mengalami penurunan seiring dengan bertambahnya bukaan *valve inlet* kompresor. Ketika bukaan *valve* kompresor semakin besar, maka nilai *pressure drop* pada *intercooler 1* dan *intercooler 2* juga semakin kecil. Pada bulan desember 2014 didapatkan nilai *pressure drop intercooler* terletak pada nilai 0.7-1 bar. Kemudian nilai efisiensi *stage 1* mencapai nilai 0.569, efisiensi *stage 2* mencapai nilai 0.76, dan efisiensi *stage 3* mencapai nilai 0.483. Berdasarkan grafik pada bulan Januari 2015 didapatkan nilai *pressure drop* terletak antara 0.4-0.68 bar. Kemudian nilai efisiensi *stage 1*

mencapai nilai 0.579, efisiensi *stage* 2 mencapai nilai 0.64, dan efisiensi *stage* 3 mencapai nilai 0.505. Berdasarkan grafik pada bulan April 2015 didapatkan nilai efisiensi *stage* 1 menurun hingga mencapai nilai 0.60, efisiensi *stage* 2 mencapai nilai 0.53, dan efisiensi *stage* 3 mencapai nilai 0.6 sedangkan nilai *pressure drop* pada bulan April 2015 terletak antara 0.47-0.88 bar.

Berdasarkan analisis didapatkan bahwa nilai efisiensi kompresor 35-K-1A terletak pada bagian kiri atas sesuai dengan grafik isoefisiensi kompresor pada gambar 2.7. Berdasarkan grafik tersebut didapatkan bahwa nilai efisiensi *isentropic* kompresor 35-K-1A mengalami penurunan seiring dengan bukaan *valve inlet* yang semakin membesar. Ketika bukaan *valve* diperkecil maka nilai *pressure* yang dihasilkan oleh kompresor semakin besar, namun nilai *flow* menjadi semakin kecil. Selain itu didapatkan nilai *pressure drop* pada *intercooler* 1 dan 2 meningkat seiring dengan mengecilnya bukaan *valve inlet*. Ketika *pressure drop* pada *intercooler* 1 dan 2 semakin besar, maka nilai *pressure* pada *discharge* kompresor menjadi semakin kecil. Hal ini berpengaruh terhadap menurunnya nilai *pressure ratio* kompresor sehingga dikatakan bahwa kompresor 35-K-1A mengalami *low performance*.

“Halaman Ini Sengaja dikosongkan”

BAB V **KESIMPULAN DAN SARAN**

5.1 Kesimpulan

Sesuai pembahasan pada bab sebelumnya maka dapat disimpulkan beberapa hal sebagai berikut ini:

1. Nilai efisiensi isentropic kompresor *stage* 1, 2, dan 3 mengalami penurunan seiring dengan bukaan yang dijalankan.
2. Nilai efisiensi isentropic kompresor mengalami penurunan seiring dengan bertambahnya *flow rate* yang masuk pada kompresor. Hal ini dikarenakan adanya kerak pada pipa inlet dan kondisi *valve* yang tidak sesuai
3. Nilai *effectiveness intercooler* 1 terletak diatas nilai *effectiveness intercooler* 2, sehingga diindikasikan bahwa *intercooler* 2 mengalami *low performance*.
4. Nilai *pressure drop intercooler* 2 terletak diatas nilai *pressure drop intercooler* 1 sehingga diindikasikan bahwa *intercooler* 2 mengalami *low performance*.
5. Nilai $P_{motor}/\Delta p$ merupakan nilai *flow rate* yang masuk pada kompresor. Berdasarkan dengan sistem nilai $P_{motor}/\Delta p$ masih dikatakan baik namun sudah tidak sesuai dengan spesifikasi.
6. Nilai $P_{motor}/\Delta T$ merupakan perbandingan antara nilai daya motor dibagi dengan temperatur. Berdasarkan dengan sistem nilai $P_{motor}/\Delta T$ masih dikatakan baik namun sudah tidak sesuai dengan spesifikasi.
7. Nilai *pressure ratio* kompresor menurun seiring dengan meningkatnya nilai *pressure drop* pada *intercooler* sehingga dikatakan bahwa kompresor mengalami *low performance*.

5.2 Saran

Saran yang dapat disampaikan adalah sebagai berikut:

1. Perlunya ketelitian di dalam pembacaan alat pengukuran sehingga didapatkan data yang lebih akurat.

2. Perlunya pengecekan komponen PI dan TI secara berkala sehingga data menjadi lebih akurat.
3. Sebaiknya pengambilan data setiap performance test memiliki jam pengambilan yang sama
4. Sebaiknya pengambilan data dilakukan saat kompresor sudah berjalan dengan stabil

LAMPIRAN

LAMPIRAN A

- Tabel A-1 Hasil Perhitungan Kompresor pada Bulan Desember 2014
- Tabel A-2 Hasil Perhitungan Kompresor pada Bulan Januari 2015
- Tabel A-3 Hasil Perhitungan Kompresor pada Bulan April 2015
- Tabel A-4 Hasil Perhitungan Kompresor pada *Comissioning*
- Tabel A-5 Hasil Perhitungan *Intercooler* 1 pada Bulan Desember 2014
- Tabel A-6 Hasil Perhitungan *Intercooler* 1 pada Bulan Januari 2015
- Tabel A-7 Hasil Perhitungan *Intercooler* 1 pada Bulan April 2015
- Tabel A-8 Hasil Perhitungan *Intercooler* 1 pada *Comissioning*
- Tabel A-9 Hasil Perhitungan *Intercooler* 2 pada Bulan Desember 2014
- Tabel A-10 Hasil Perhitungan *Intercooler* 2 pada Bulan Januari 2015
- Tabel A-11 Hasil Perhitungan *Intercooler* 2 pada Bulan April 2015
- Tabel A-12 Hasil Perhitungan *Intercooler* 2 pada *Comissioning*

LAMPIRAN B

- Tabel B-1 Tabel Properties
- Tabel B-2 Tabel Properties Udara
- Tabel B-3 *Entalphy* Air Laut
- Tabel B-4 Massa jenis air laut
- Tabel B-5 Nilai Cp Air Laut
- Tabel B-6 Nilai *Prandtl* Air Laut

Tabel A-1 Hasil Perhitungan Kompresor pada Bulan Desember 2014

| | | T (K) | bar | Q (m ³ /s) | \dot{m} (kg/s) | h (kJ/kg) | pr (T _{as}) | h _{as} (kJ/kg) | T _{as} (K) | \dot{W}_{cv}/\dot{m} (kJ/kg) | \dot{m} (kJ/kg) | η | | | |
|----------------------------------|----|-------|-----|-----------------------|------------------|-----------|-----------------------|-------------------------|---------------------|--------------------------------|-------------------|---------|--------|------|------|
| bukaan 100, Q=3052 SCFM | T1 | 287.4 | P1 | 1.0 | 1.44 | 1.77 | 287.59 | 2.75 | 365.13 | 364.51 | -136.16 | 0.56 | 0.57 | | |
| | Ta | 423.0 | Pa | 2.3 | 1.44 | 1.77 | 424.31 | | 4.17 | 411.51 | 410.38 | -122.54 | 0.69 | 0.82 | |
| | Tb | 311.0 | Pb | 2.0 | 1.44 | 1.77 | 311.25 | | | 2.47 | 354.15 | 353.63 | -76.34 | 0.29 | 0.48 |
| | T2 | 433.0 | P2 | 5.3 | 1.44 | 1.77 | 434.48 | | | | | | | | |
| | Td | 317.0 | Pd | 4.7 | 1.44 | 1.77 | 317.28 | | | | | | | | |
| | T3 | 393.0 | P3 | 6.9 | 1.44 | 1.77 | 393.91 | | | | | | | | |

| | | T (K) | bar | Q (m ³ /s) | \dot{m} (kg/s) | h (kJ/kg) | pr (T _{2S}) | h _{2S} (kJ/kg) | T _{as} (K) | \dot{W}_{cv}/\dot{m} (kJ/kg) | \dot{m} (kJ/kg) | η | | | |
|---------------------------------|----|-------|-----|-----------------------|------------------|-----------|-----------------------|-------------------------|---------------------|--------------------------------|-------------------|---------|--------|------|------|
| bukaan 80, Q=3029 SCFM | T1 | 287.4 | P1 | 1.0 | 1.43 | 1.76 | 287.59 | 2.75 | 365.13 | 364.51 | -136.16 | 0.56 | 0.57 | | |
| | Ta | 423.0 | Pa | 2.3 | 1.43 | 1.76 | 424.31 | | 4.21 | 412.81 | 411.67 | -121.54 | 0.69 | 0.83 | |
| | Tb | 312.0 | Pb | 2.0 | 1.43 | 1.76 | 312.25 | | | 2.53 | 356.75 | 356.20 | -79.35 | 0.32 | 0.48 |
| | T2 | 433.0 | P2 | 5.3 | 1.43 | 1.76 | 434.48 | | | | | | | | |
| | Td | 318.0 | Pd | 4.7 | 1.43 | 1.76 | 318.28 | | | | | | | | |
| | T3 | 397.0 | P3 | 7.0 | 1.43 | 1.76 | 397.95 | | | | | | | | |

| | | T (K) | | bar | Q (m ³ /s) | \dot{m} (kg/s) | h (kJ/kg) | pr (T _{2S}) | h _{2s} (kJ/kg) | T _{as} (K) | \dot{W}_{cv}/\dot{m} (kJ/kg) | \dot{m} (kJ/kg) | η | |
|---------------------------------|----|-------|----|-----|-----------------------|------------------|-----------|-----------------------|-------------------------|---------------------|--------------------------------|-------------------|--------|------|
| bukaan 70, Q=2987 SCFM | T1 | 287.4 | P1 | 1.0 | 1.41 | 1.73 | 287.59 | 2.75 | 365.13 | 364.51 | -136.16 | 0.56 | 0.57 | |
| | Ta | 423.0 | Pa | 2.3 | 1.41 | 1.73 | 424.31 | | | | | | | |
| | Tb | 313.0 | Pb | 2.2 | 1.41 | 1.73 | 313.26 | | 3.95 | 405.12 | 404.09 | -120.53 | 0.69 | 0.76 |
| | T2 | 433.0 | P2 | 5.4 | 1.41 | 1.73 | 434.48 | | | | | | | |
| | Td | 319.0 | Pd | 4.8 | 1.41 | 1.73 | 319.29 | 2.54 | 357.17 | 356.62 | -79.35 | 0.32 | 0.48 | |
| | T3 | 398.0 | P3 | 7.1 | 1.41 | 1.73 | 398.96 | | | | | | | |

| | | T (K) | | bar | Q (m ³ /s) | \dot{m} (kg /s) | h (kJ/kg) | pr (T _{2S}) | h _{2s} (kJ/kg) | T _{as} (K) | \dot{W}_{cv}/\dot{m} (kJ/kg) | \dot{m} (kJ/kg) | η | |
|---------------------------------|----|-------|----|-----|-----------------------|-------------------|-----------|-----------------------|-------------------------|---------------------|--------------------------------|-------------------|--------|------|
| bukaan 65, Q=2942 SCFM | T1 | 287.4 | P1 | 1.0 | 1.39 | 1.71 | 287.59 | 2.75 | 365.13 | 364.51 | -136.16 | 0.56 | 0.57 | |
| | Ta | 423.0 | Pa | 2.3 | 1.39 | 1.71 | 424.31 | | | | | | | |
| | Tb | 313.0 | Pb | 2.2 | 1.39 | 1.71 | 313.26 | | 4.02 | 407.26 | 406.19 | -120.53 | 0.69 | 0.78 |
| | T2 | 433.0 | P2 | 5.5 | 1.39 | 1.71 | 434.48 | | | | | | | |
| | Td | 319.0 | Pd | 4.8 | 1.39 | 1.71 | 319.29 | 2.54 | 357.17 | 356.62 | -79.35 | 0.32 | 0.48 | |
| | T3 | 398.0 | P3 | 7.1 | 1.39 | 1.71 | 398.96 | | | | | | | |

| | | T (K) | bar | Q (m³/s) | \dot{m} (kg/s) | h (kJ/kg) | pr (T _{2S}) | h _{2s} (kJ/kg) | T _{as} (K) | \dot{W}_{cv}/\dot{m} (kJ/kg) | \dot{m} (kJ/kg) | η |
|---------------------------------|----|-------|-----|----------|------------------|-----------|-----------------------|-------------------------|---------------------|--------------------------------|-------------------|--------|
| bukaan 60, Q=2908 SCFM | T1 | 287.4 | P1 | 1.0 | 1.37 | 1.69 | 287.59 | 2.87 | 369.66 | 369.00 | -138.17 | 0.58 |
| | Ta | 425.0 | Pa | 2.4 | 1.37 | 1.69 | 426.35 | | | | | |
| | Tb | 313.0 | Pb | 2.2 | 1.37 | 1.69 | 313.26 | | | | | |
| | T2 | 433.0 | P2 | 5.5 | 1.37 | 1.69 | 434.48 | 4.02 | 407.26 | 406.19 | -120.53 | 0.69 |
| | Td | 319.0 | Pd | 4.9 | 1.37 | 1.69 | 319.29 | | | | | |
| | T3 | 398.0 | P3 | 7.3 | 1.37 | 1.69 | 398.96 | | | | | |

| | | T (K) | bar | Q (m³/s) | \dot{m} (kg/s) | h (kJ/kg) | pr (T _{2S}) | h _{2s} (kJ/kg) | T _{as} (K) | \dot{W}_{cv}/\dot{m} (kJ/kg) | \dot{m} (kJ/kg) | η |
|---------------------------------|----|-------|-----|----------|------------------|-----------|-----------------------|-------------------------|---------------------|--------------------------------|-------------------|--------|
| bukaan 55, Q=2790 SCFM | T1 | 287.4 | P1 | 1.0 | 1.32 | 1.62 | 287.59 | 2.87 | 369.66 | 369.00 | -138.17 | 0.58 |
| | Ta | 425.0 | Pa | 2.4 | 1.32 | 1.62 | 426.35 | | | | | |
| | Tb | 313.0 | Pb | 2.1 | 1.32 | 1.62 | 313.26 | | | | | |
| | T2 | 433.0 | P2 | 5.6 | 1.32 | 1.62 | 434.48 | 4.29 | 414.86 | 413.68 | -120.53 | 0.69 |
| | Td | 319.0 | Pd | 4.9 | 1.32 | 1.62 | 319.29 | | | | | |
| | T3 | 398.0 | P3 | 7.6 | 1.32 | 1.62 | 398.96 | | | | | |

| | | T (K) | bar | Q (m³/s) | \dot{m} (kg/s) | h (kJ/kg) | pr (T _{2S}) | h _{2s} (kJ/kg) | T _{as} (K) | Wcv/ \dot{m} (kJ/kg) | \dot{m} (kJ/kg) | η |
|---------------------------------|----|-------|-----|----------|------------------|-----------|-----------------------|-------------------------|---------------------|------------------------|-------------------|--------|
| bukaan 50, Q=2624 SCFM | T1 | 287.4 | P1 | 1.0 | 1.24 | 1.52 | 287.59 | 2.87 | 369.66 | 369.00 | -138.17 | 0.58 |
| | Ta | 425.0 | Pa | 2.4 | 1.24 | 1.52 | 426.35 | | | | | |
| | Tb | 313.0 | Pb | 2.1 | 1.24 | 1.52 | 313.26 | | | | | |
| | T2 | 433.0 | P2 | 5.7 | 1.24 | 1.52 | 434.48 | 4.37 | 416.96 | 415.76 | -120.53 | 0.69 |
| | Td | 319.0 | Pd | 5.1 | 1.24 | 1.52 | 319.29 | | | | | |
| | T3 | 398.0 | P3 | 8.0 | 1.24 | 1.52 | 398.96 | | | | | |

| | | T (K) | bar | Q (m³/s) | \dot{m} (kg/s) | h (kJ/kg) | pr (T _{2S}) | h _{2s} (kJ/kg) | T _{as} (K) | Wcv/ \dot{m} (kJ/kg) | \dot{m} (kJ/kg) | η |
|---------------------------------|----|-------|-----|----------|------------------|-----------|-----------------------|-------------------------|---------------------|------------------------|-------------------|--------|
| bukaan 45, Q=2450 SCFM | T1 | 287.4 | P1 | 1.0 | 1.16 | 1.42 | 287.59 | 2.87 | 369.66 | 369.00 | -138.17 | 0.58 |
| | Ta | 425.0 | Pa | 2.4 | 1.16 | 1.42 | 426.35 | | | | | |
| | Tb | 313.0 | Pb | 2.2 | 1.16 | 1.42 | 313.26 | | | | | |
| | T2 | 433.0 | P2 | 5.8 | 1.16 | 1.42 | 434.48 | 4.24 | 413.52 | 412.36 | -120.53 | 0.69 |
| | Td | 319.0 | Pd | 5.2 | 1.16 | 1.42 | 319.29 | | | | | |
| | T3 | 398.0 | P3 | 8.4 | 1.16 | 1.42 | 398.96 | | | | | |

Tabel A-2 Hasil Perhitungan Kompresor pada Bulan Januari 2015

| | T (K) | bar | Q (m³/s) | m̄ (kg/s) | h (kJ/kg) | pr (T _{as}) | h _{as} (kJ/kg) | T _{as} (K) | Wcv/m̄ (kJ/kg) | f̄m (kJ/kg) | η | | |
|----------------------------------|-------|-------|----------|-----------|-----------|-----------------------|-------------------------|---------------------|----------------|-------------|---------|------|------|
| bukaan 100, Q=3050 SCFM | T1 | 287.4 | P1 | 1.0 | 1.44 | 1.77 | 287.59 | 2.63 | 360.60 | 360.02 | -126.12 | 0.45 | 0.58 |
| | Ta | 413.0 | Pa | 2.2 | 1.44 | 1.77 | 414.16 | | | | | | |
| | Tb | 311.0 | Pb | 2.0 | 1.44 | 1.77 | 311.25 | 3.38 | 388.56 | 387.75 | -120.53 | 0.67 | 0.64 |
| | T2 | 431.0 | P2 | 4.3 | 1.44 | 1.77 | 432.45 | | | | | | |
| | Td | 311.0 | Pd | 4.5 | 1.44 | 1.77 | 311.25 | 2.38 | 350.37 | 349.88 | -77.34 | 2.29 | 0.51 |
| | T3 | 388.0 | P3 | 6.8 | 1.44 | 1.77 | 390.88 | | | | | | |

| | | T (K) | bar | Q (m³/s) | m̄ (kg/s) | h (kJ/kg) | pr (T _{as}) | h _{as} (kJ/kg) | T _{as} (K) | Wcv/m̄ (kJ/kg) | m̄ (kJ/kg) | η |
|---------------------------------|----|-------|-----|----------|-----------|-----------|-----------------------|-------------------------|---------------------|----------------|------------|------|
| bukaan 80, Q=3040 SCFM | T1 | 287.4 | P1 | 1.0 | 1.43 | 1.76 | 287.59 | 2.63 | 360.60 | 360.02 | -126.12 | 0.45 |
| | Ta | 413.0 | Pa | 2.2 | 1.43 | 1.76 | 414.16 | | | | | |
| | Tb | 311.0 | Pb | 2.0 | 1.43 | 1.76 | 311.25 | 3.38 | 388.56 | 387.75 | -120.53 | 0.67 |
| | T2 | 431.0 | P2 | 4.3 | 1.43 | 1.76 | 432.45 | | | | | |
| | Td | 311.0 | Pd | 4.5 | 1.43 | 1.76 | 311.25 | 2.38 | 350.37 | 349.88 | -77.34 | 0.27 |
| | T3 | 388.0 | P3 | 6.8 | 1.43 | 1.76 | 388.86 | | | | | |

| | | T (K) | bar | Q (m³/s) | \dot{m} (kg/s) | h (kJ/kg) | pr (T _{as}) | h _{as} (kJ/kg) | T _{as} (K) | Wcv/ \dot{m} (kJ/kg) | \dot{m} (kJ/kg) | η | |
|---------------------------------|----|-------|-----|----------|------------------|-----------|-----------------------|-------------------------|---------------------|------------------------|-------------------|--------|------|
| bukaan 70, Q=2987 SCFM | T1 | 287.4 | P1 | 1.0 | 1.41 | 1.73 | 287.59 | 2.63 | 360.60 | 360.02 | -126.12 | 0.45 | 0.58 |
| | Ta | 413.0 | Pa | 2.2 | 1.41 | 1.73 | 414.16 | | | | | | |
| | Tb | 311.0 | Pb | 2.0 | 1.41 | 1.73 | 311.25 | 3.46 | 390.17 | 389.30 | -122.54 | 0.69 | 0.64 |
| | T2 | 433.0 | P2 | 4.4 | 1.41 | 1.73 | 434.48 | | | | | | |
| | Td | 312.0 | Pd | 4.6 | 1.41 | 1.73 | 312.25 | 2.42 | 352.17 | 351.67 | -76.34 | 0.27 | 0.52 |
| | T3 | 388.0 | P3 | 7.0 | 1.41 | 1.73 | 388.86 | | | | | | |

| | | T (K) | bar | Q (m³/s) | \dot{m} (kg/s) | h (kJ/kg) | pr (T _{as}) | h _{as} (kJ/kg) | T _{as} (K) | Wcv/ \dot{m} (kJ/kg) | \dot{m} (kJ/kg) | η | |
|---------------------------------|----|-------|-----|----------|------------------|-----------|-----------------------|-------------------------|---------------------|------------------------|-------------------|--------|------|
| bukaan 60, Q=2880 SCFM | T1 | 287.4 | P1 | 1.0 | 1.36 | 1.67 | 287.59 | 2.63 | 360.60 | 360.02 | -126.12 | 0.45 | 0.58 |
| | Ta | 413.0 | Pa | 2.2 | 1.36 | 1.67 | 414.16 | | | | | | |
| | Tb | 311.0 | Pb | 2.0 | 1.36 | 1.67 | 311.25 | 3.46 | 390.17 | 389.30 | -122.54 | 0.69 | 0.64 |
| | T2 | 433.0 | P2 | 4.4 | 1.36 | 1.67 | 434.48 | | | | | | |
| | Td | 312.0 | Pd | 4.7 | 1.36 | 1.67 | 312.25 | 2.50 | 355.60 | 355.06 | -76.34 | 0.27 | 0.57 |
| | T3 | 388.0 | P3 | 7.4 | 1.36 | 1.67 | 388.86 | | | | | | |

| | | T (K) | bar | Q (m³/s) | \dot{m} (kg/s) | h (kJ/kg) | pr (T _{as}) | h _{as} (kJ/kg) | T _{as} (K) | \dot{W}_{cv}/\dot{m} (kJ/kg) | \dot{m} (kJ/kg) | η | |
|---------------------------------|----|-------|-----|----------|------------------|-----------|-----------------------|-------------------------|---------------------|--------------------------------|-------------------|--------|------|
| bukaan 55, Q=2783 SCFM | T1 | 287.4 | P1 | 1.0 | 1.31 | 1.61 | 287.59 | 2.63 | 360.60 | 360.02 | -126.12 | 0.45 | 0.58 |
| | Ta | 413.0 | Pa | 2.2 | 1.31 | 1.61 | 414.16 | | | | | | |
| | Tb | 311.0 | Pb | 2.0 | 1.31 | 1.61 | 311.25 | 3.62 | 395.38 | 394.45 | -122.54 | 0.69 | 0.69 |
| | T2 | 433.0 | P2 | 4.6 | 1.31 | 1.61 | 434.48 | | | | | | |
| | Td | 312.0 | Pd | 4.8 | 1.31 | 1.61 | 312.25 | 2.52 | 356.18 | 355.64 | -78.35 | 0.28 | 0.56 |
| | T3 | 390.0 | P3 | 7.6 | 1.31 | 1.61 | 390.88 | | | | | | |

| | | T (K) | bar | Q (m ³ /s) | m (kg/s) | h (kJ/kg) | pr (T _{as}) | h _{as} (kJ/kg) | T _{as} (K) | Wcv/m (kJ/kg) | f̄m (kJ/kg) | η |
|---------------------------------|----|-------|-----|-----------------------|----------|-----------|-----------------------|-------------------------|---------------------|---------------|-------------|------|
| bukaan 50, Q=2658 SCFM | T1 | 287.4 | P1 | 1.0 | 1.25 | 1.54 | 287.59 | 2.63 | 360.60 | 360.02 | -126.12 | 0.45 |
| | Ta | 413.0 | Pa | 2.2 | 1.25 | 1.54 | 414.16 | | | | | |
| | Tb | 311.0 | Pb | 2.0 | 1.25 | 1.54 | 311.25 | 3.70 | 397.99 | 397.03 | -122.54 | 0.69 |
| | T2 | 433.0 | P2 | 4.7 | 1.25 | 1.54 | 434.48 | | | | | |
| | Td | 312.0 | Pd | 5.0 | 1.25 | 1.54 | 312.25 | 2.54 | 357.26 | 356.71 | -79.35 | 0.29 |
| | T3 | 391.0 | P3 | 8.0 | 1.25 | 1.54 | 391.89 | | | | | |

| | | T (K) | bar | Q (m³/s) | \dot{m} (kg/s) | h (kJ/kg) | pr (T _{as}) | h _{as} (kJ/kg) | T _{as} (K) | Wcv/ \dot{m} (kJ/kg) | \dot{m} (kJ/kg) | η |
|---------------------------------|----|-------|-----|----------|------------------|-----------|-----------------------|-------------------------|---------------------|------------------------|-------------------|--------|
| bukaan 45, Q=2470 SCFM | T1 | 287.4 | P1 | 1.0 | 1.17 | 1.43 | 287.59 | 2.75 | 365.13 | 364.51 | -126.12 | 0.45 |
| | Ta | 413.0 | Pa | 2.3 | 1.17 | 1.43 | 414.16 | | | | | |
| | Tb | 311.0 | Pb | 2.0 | 1.17 | 1.43 | 311.25 | | | | | 0.74 |
| | T2 | 433.0 | P2 | 4.9 | 1.17 | 1.43 | 434.48 | 3.85 | 402.34 | 401.35 | -122.54 | 0.69 |
| | Td | 312.0 | Pd | 5.1 | 1.17 | 1.43 | 312.25 | | | | | |
| | T3 | 391.0 | P3 | 8.4 | 1.17 | 1.43 | 391.89 | | | | | 0.61 |

| | | T (K) | bar | Q (m³/s) | \dot{m} (kg/s) | h (kJ/kg) | pr (T _{as}) | h _{as} (kJ/kg) | T _{as} (K) | Wcv/ \dot{m} (kJ/kg) | \dot{m} (kJ/kg) | η |
|---------------------------------|----|-------|-----|----------|------------------|-----------|-----------------------|-------------------------|---------------------|------------------------|-------------------|--------|
| bukaan 40, Q=2370 SCFM | T1 | 287.4 | P1 | 1.0 | 1.12 | 1.37 | 287.59 | 2.84 | 368.75 | 368.10 | -126.12 | 0.45 |
| | Ta | 413.0 | Pa | 2.4 | 1.12 | 1.37 | 414.16 | | | | | |
| | Tb | 311.0 | Pb | 2.0 | 1.12 | 1.37 | 311.25 | | | | | 0.76 |
| | T2 | 433.0 | P2 | 5.0 | 1.12 | 1.37 | 434.48 | 3.93 | 404.64 | 403.61 | -122.54 | 0.69 |
| | Td | 312.0 | Pd | 5.2 | 1.12 | 1.37 | 312.25 | | | | | |
| | T3 | 391.0 | P3 | 8.6 | 1.12 | 1.37 | 391.89 | | | | | 0.61 |

Tabel A-3 Hasil Perhitungan Kompresor pada Bulan April 2015

| | | T (K) | bar | Q (m ³ /s) | \dot{m} (kg/s) | h (kJ/kg) | pr (T _{as}) | h _{as} (kJ/kg) | T _{as} (K) | \dot{W}_{cv}/\dot{m} (kJ/kg) | \dot{m} (kJ/kg) | η | |
|----------------------------------|----|-------|-----|-----------------------|------------------|-----------|-----------------------|-------------------------|---------------------|--------------------------------|-------------------|--------|------|
| bukaan 100, Q=3411 SCFM | T1 | 288.0 | P1 | 1.0 | 1.61 | 1.97 | 288.15 | 2.69 | 363.10 | 362.50 | -115.51 | 0.36 | 0.65 |
| | Ta | 403.0 | P2 | 2.2 | 1.61 | 1.97 | 404.02 | | | | | | |
| | Tb | 299.0 | P3 | 2.1 | 1.61 | 1.97 | 299.19 | | 372.24 | 371.55 | -134.60 | 0.70 | 0.54 |
| | T2 | 433.0 | P4 | 4.5 | 1.61 | 1.97 | 434.48 | 2.68 | | | | | |
| | Td | 315.0 | P5 | 4.9 | 1.61 | 1.97 | 315.27 | | 362.80 | 362.20 | -78.35 | 0.29 | 0.61 |
| | T3 | 393.0 | P6 | 8.0 | 1.61 | 1.97 | 393.91 | | | | | | |

| | | T (K) | bar | Q (m ³ /s) | \dot{m} (kg/s) | h (kJ/kg) | pr (T _{as}) | h _{as} (kJ/kg) | T _{as} (K) | \dot{W}_{cv}/\dot{m} (kJ/kg) | \dot{m} (kJ/kg) | η | |
|---------------------------------|----|-------|-----|-----------------------|------------------|-----------|-----------------------|-------------------------|---------------------|--------------------------------|-------------------|--------|------|
| bukaan 80, Q=3300 SCFM | T1 | 288.0 | P1 | 1.0 | 1.56 | 1.91 | 288.15 | 2.69 | 363.10 | 362.50 | -115.51 | 0.36 | 0.65 |
| | Ta | 403.0 | P2 | 2.2 | 1.56 | 1.91 | 404.02 | | | | | | |
| | Tb | 299.0 | P3 | 2.1 | 1.56 | 1.91 | 299.19 | | 374.09 | 373.39 | -134.60 | 0.70 | 0.56 |
| | T2 | 433.0 | P4 | 4.6 | 1.56 | 1.91 | 434.48 | 2.73 | | | | | |
| | Td | 315.5 | P5 | 4.9 | 1.56 | 1.91 | 315.77 | | 364.65 | 364.04 | -77.85 | 0.29 | 0.63 |
| | T3 | 393.0 | P6 | 8.1 | 1.56 | 1.91 | 393.91 | | | | | | |

| | | T (K) | bar | Q (m³/s) | \dot{m} (kg/s) | h (kJ/kg) | pr (T _{as}) | h _{as} (kJ/kg) | T _{as} (K) | Wcv/ \dot{m} (kJ/kg) | \dot{m} (kJ/kg) | η | |
|---------------------------------|----|-------|-----|----------|------------------|-----------|-----------------------|-------------------------|---------------------|------------------------|-------------------|--------|------|
| bukaan 70, Q=3200 SCFM | T1 | 288.6 | P1 | 1.0 | 1.51 | 1.85 | 288.70 | 2.71 | 363.78 | 363.17 | -114.96 | 0.36 | 0.65 |
| | Ta | 403.0 | P2 | 2.2 | 1.51 | 1.85 | 404.02 | | | | | | |
| | Tb | 296.0 | P3 | 2.1 | 1.51 | 1.85 | 296.17 | 2.88 | 370.39 | 369.72 | -137.61 | 0.70 | 0.54 |
| | T2 | 433.0 | P4 | 4.6 | 1.51 | 1.85 | 434.48 | | | | | | |
| | Td | 316.0 | P5 | 5.0 | 1.51 | 1.85 | 316.27 | 2.76 | 365.68 | 365.05 | -72.32 | 0.26 | 0.68 |
| | T3 | 388.0 | P6 | 8.3 | 1.51 | 1.85 | 388.86 | | | | | | |

| | | T (K) | bar | Q (m³/s) | \dot{m} (kg/s) | h (kJ/kg) | pr (T _{as}) | h _{as} (kJ/kg) | T _{as} (K) | Wcv/ \dot{m} (kJ/kg) | \dot{m} (kJ/kg) | η | |
|---------------------------------|----|-------|-----|----------|------------------|-----------|-----------------------|-------------------------|---------------------|------------------------|-------------------|--------|------|
| bukaan 65, Q=3128 SCFM | T1 | 288.6 | P1 | 1.0 | 1.48 | 1.81 | 288.70 | 2.71 | 363.78 | 363.17 | -125.00 | 0.45 | 0.60 |
| | Ta | 413.0 | P2 | 2.2 | 1.48 | 1.81 | 414.16 | | | | | | |
| | Tb | 301.0 | P3 | 2.1 | 1.48 | 1.81 | 301.20 | 3.15 | 379.93 | 379.17 | -132.59 | 0.70 | 0.59 |
| | T2 | 433.0 | P4 | 4.7 | 1.48 | 1.81 | 434.48 | | | | | | |
| | Td | 316.0 | P5 | 5.1 | 1.48 | 1.81 | 316.27 | 2.77 | 366.10 | 365.47 | -77.34 | 0.29 | 0.64 |
| | T3 | 393.0 | P6 | 8.5 | 1.48 | 1.81 | 393.91 | | | | | | |

| | | T (K) | bar | Q (m³/s) | \dot{m} (kg/s) | h (kJ/kg) | pr (T _{as}) | h _{as} (kJ/kg) | T _{as} (K) | \dot{W}_{cv}/\dot{m} (kJ/kg) | \dot{m} (kJ/kg) | η | |
|---------------------------------|----|-------|-----|----------|------------------|-----------|-----------------------|-------------------------|---------------------|--------------------------------|-------------------|--------|------|
| bukaan 55, Q=2995 SCFM | T1 | 288.6 | P1 | 1.0 | 1.41 | 1.73 | 288.70 | 2.71 | 363.78 | 363.17 | -125.00 | 0.45 | 0.60 |
| | Ta | 413.0 | P2 | 2.2 | 1.41 | 1.73 | 414.16 | | | | | | |
| | Tb | 300.0 | P3 | 2.1 | 1.41 | 1.73 | 300.19 | | | | | | |
| | T2 | 433.0 | P4 | 4.9 | 1.41 | 1.73 | 434.48 | 3.21 | 381.82 | 381.04 | -133.59 | 0.70 | 0.61 |
| | Td | 316.0 | P5 | 5.3 | 1.41 | 1.73 | 316.27 | | | | | | |
| | T3 | 393.0 | P6 | 9.1 | 1.41 | 1.73 | 393.91 | | | | | | |

| | | T (K) | bar | Q (m³/s) | \dot{m} (kg/s) | h (kJ/kg) | pr (T _{as}) | h _{as} (kJ/kg) | T _{as} (K) | \dot{W}_{cv}/\dot{m} (kJ/kg) | \dot{m} (kJ/kg) | η | |
|---------------------------------|----|-------|-----|----------|------------------|-----------|-----------------------|-------------------------|---------------------|--------------------------------|-------------------|--------|------|
| bukaan 45, Q=2727 SCFM | T1 | 288.6 | P1 | 1.0 | 1.29 | 1.58 | 288.70 | 2.71 | 363.78 | 363.17 | - | 0.45 | 0.60 |
| | Ta | 413.0 | P2 | 2.2 | 1.29 | 1.58 | 414.16 | | | | 125.00 | | |
| | Tb | 300.0 | P3 | 2.1 | 1.29 | 1.58 | 300.19 | | | | | | |
| | T2 | 433.0 | P4 | 4.9 | 1.29 | 1.58 | 434.48 | 3.21 | 381.82 | 381.04 | - | 0.70 | 0.61 |
| | Td | 315.0 | P5 | 5.6 | 1.29 | 1.58 | 315.27 | | | | 133.59 | | |
| | T3 | 393.0 | P6 | 9.4 | 1.29 | 1.58 | 393.91 | | | | | 0.29 | 0.64 |

| | | T (K) | | bar | Q (m ³ /s) | \dot{m} (kg/s) | h (kJ/kg) | pr (T _{as}) | h _{as} (kJ/kg) | T _{as} (K) | Wcv/ \dot{m} (kJ/kg) | \dot{m} (kJ/kg) | η |
|---------------------------------|----|-------|----|-----|--------------------------|---------------------|--------------|--------------------------|----------------------------|---------------------|---------------------------|----------------------|--------|
| bukaan 40, Q=2674 SCFM | T1 | 288.6 | P1 | 1.0 | 1.26 | 1.55 | 288.70 | 2.71 | 363.78 | 363.17 | -125.00 | 0.45 | 0.60 |
| | Ta | 413.0 | P2 | 2.2 | 1.26 | 1.55 | 414.16 | | | | | | |
| | Tb | 300.0 | P3 | 2.1 | 1.26 | 1.55 | 300.19 | | | | | | |
| | T2 | 433.0 | P4 | 5.3 | 1.26 | 1.55 | 434.48 | 3.48 | 390.79 | 389.91 | -133.59 | 0.70 | 0.68 |
| | Td | 314.5 | P5 | 5.6 | 1.26 | 1.55 | 314.77 | | | | | | |
| | T3 | 393.0 | P6 | 9.5 | 1.26 | 1.55 | 393.91 | | | | | | |

Tabel A-4 Hasil Perhitungan Kompresor pada *Comissioning*

| | | T (K) | bar | Q (m ³ /s) | \dot{m} (kg/s) | h (kJ/kg) | pr (T _{as}) | h _{as} (kJ/kg) | T _{as} (K) | Wcv/ \dot{m} (kJ/kg) | $f\dot{m}$ (kJ/kg) | η | |
|----------------------------------|----|-------|-----|-----------------------|------------------|-----------|-----------------------|-------------------------|---------------------|------------------------|--------------------|--------|------|
| bukaan 100, Q=3000 SCFM | T1 | 299.6 | P1 | 1.0 | 1.42 | 2.53 | 299.78 | 3.23 | 382.72 | 381.93 | -115.35 | 0.48 | 0.72 |
| | Ta | 414.4 | P2 | 2.3 | 1.42 | 2.53 | 415.61 | | | | | | |
| | Tb | 305.5 | P3 | 2.3 | 1.42 | 2.53 | 305.76 | 3.50 | 391.35 | 390.46 | -118.27 | 0.57 | 0.72 |
| | T2 | 423.3 | P4 | 5.4 | 1.42 | 2.53 | 424.60 | | | | | | |
| | Td | 306.0 | P5 | 5.3 | 1.42 | 2.53 | 306.25 | 2.68 | 362.62 | 362.03 | -77.13 | 0.23 | 0.73 |
| | T3 | 382.8 | P6 | 9.5 | 1.42 | 2.53 | 383.62 | | | | | | |

Tabel A-5 Hasil Perhitungan *Intercooler* 1 pada Bulan Desember 2014

| Bukaan | Th_{in} udara (°C) | Th_{out} udara (°C) | h_{in} udara (kJ/kg) | h_{out} udara (kJ/kg) | Tc_{in} air laut (°C) | Tc_{out} air laut (°C) | h_{in} air laut (kJ/kg) |
|--------|-------------------------|--------------------------|---------------------------|----------------------------|----------------------------|-----------------------------|------------------------------|
| 100 | 150 | 38 | 424.8 | 311.7 | 30 | 43 | 119.98 |
| 80 | 150 | 39 | 424.8 | 312.7 | 30 | 43 | 119.98 |
| 70 | 150 | 40 | 424.8 | 313.7 | 30 | 43 | 119.98 |
| 65 | 150 | 40 | 424.8 | 313.7 | 30 | 43 | 119.98 |
| 60 | 152 | 40 | 426.8 | 313.7 | 30 | 43 | 119.98 |
| 55 | 152 | 40 | 426.8 | 313.7 | 30 | 43 | 119.98 |
| 50 | 152 | 40 | 426.8 | 313.7 | 30 | 43 | 119.98 |
| 45 | 152 | 40 | 426.8 | 313.7 | 30 | 43 | 119.98 |

| h_{out} air laut (kJ/kg) | Q (m^3/s) | \dot{m}_{udara} (kg/s) | \dot{m}_{air} laut (kg/s) | Q_{air} laut (kJ/s) | Q_{udara} (J/s) | Cp_{udara} (j/kg.K) | C_{udara} (J/s.K) |
|-------------------------------|-----------------|-----------------------------|--------------------------------|--------------------------|-------------------|--------------------------|---------------------|
| 172.18 | 1.44 | 1.20132 | 4.5 | 234.9 | -135869.292 | 1015 | 1219.3398 |
| 172.18 | 1.43 | 1.1929775 | 4.5 | 234.9 | -133732.7778 | 1015 | 1210.872163 |
| 172.18 | 1.41 | 1.1762925 | 4.5 | 234.9 | -130686.0968 | 1015 | 1193.936888 |
| 172.18 | 1.39 | 1.1596075 | 4.5 | 234.9 | -128832.3933 | 1015 | 1177.001613 |

| $h_{out \text{ air laut}} \text{ (kJ/kg)}$ | $Q \text{ (m}^3/\text{s)}$ | $\dot{m}_{udara} \text{ (kg/s)}$ | $\dot{m}_{air \text{ laut}} \text{ (kg/s)}$ | $Q_{air \text{ laut}} \text{ (kJ/s)}$ | $Q_{udara} \text{ (J/s)}$ | $Cp_{udara} \text{ (j/kg.K)}$ | $C_{udara} \text{ (J/s.K)}$ |
|--|----------------------------|----------------------------------|---|---------------------------------------|---------------------------|-------------------------------|-----------------------------|
| 172.18 | 1.37 | 1.1371 | 4.5 | 234.9 | -128606.01 | 1015 | 1154.1565 |
| 172.18 | 1.32 | 1.0956 | 4.5 | 234.9 | -123912.36 | 1015 | 1112.034 |
| 172.18 | 1.24 | 1.0292 | 4.5 | 234.9 | -116402.52 | 1015 | 1044.638 |
| 172.18 | 1.16 | 0.9628 | 4.5 | 234.9 | -108892.68 | 1015 | 977.242 |

| $Cp_{air laut} \text{ (J/kg.K)}$ | $C_{air laut} \text{ (J/s.K)}$ | Cr | $q_{maks} \text{ (J/s)}$ | $\rho_{in \text{ udara}} \text{ (kg/m}^3)$ | $\rho_{out \text{ udara}} \text{ (kg/m}^3)$ | $\rho_{in \text{ air laut}} \text{ (kg/m}^3)$ | $\rho_{out \text{ air laut}} \text{ (kg/m}^3)$ |
|----------------------------------|--------------------------------|-------------|--------------------------|--|---|---|--|
| 4005 | 18022.5 | 0.067656529 | 146320.776 | 0.83425 | 1.13448 | 1020.175 | 1018.35 |
| 4005 | 18022.5 | 0.067186692 | 145304.6595 | 0.83425 | 1.1267 | 1020.175 | 1018.35 |
| 4005 | 18022.5 | 0.066247018 | 143272.4265 | 0.83425 | 1.1267 | 1020.175 | 1018.35 |
| 4005 | 18022.5 | 0.065307344 | 141240.1935 | 0.83425 | 1.1267 | 1020.175 | 1018.35 |
| 4005 | 18022.5 | 0.064039756 | 140807.093 | 0.83 | 1.1267 | 1020.175 | 1018.35 |
| 4005 | 18022.5 | 0.061702538 | 135668.148 | 0.83 | 1.1267 | 1020.175 | 1018.35 |
| 4005 | 18022.5 | 0.057962991 | 127445.836 | 0.83 | 1.1267 | 1020.175 | 1018.35 |
| 4005 | 18022.5 | 0.054223443 | 119223.524 | 0.83 | 1.1267 | 1020.175 | 1018.35 |

| $V_{\text{udara}}(\text{m/s})$ | $V_{\text{air laut}}(\text{m/s})$ | $\mu_{\text{in}}(\text{kg/m.s})$ | $\mu_{\text{out}}(\text{kg/m.s})$ | $P_{r_{\text{udara}}}$ | $P_{r_{\text{air laut}}}$ | $k_f(\text{W/m.K})$ | $D_i(\text{m})$ |
|--------------------------------|-----------------------------------|----------------------------------|-----------------------------------|------------------------|---------------------------|---------------------|-----------------|
| 1.26 | 2.33 | 0.0000239 | 0.00001901 | 0.6935 | 5.0575 | 238.965 | 0.013395 |
| 1.26 | 2.33 | 0.0000239 | 0.00001901 | 0.6935 | 5.0575 | 238.965 | 0.013395 |
| 1.26 | 2.33 | 0.0000239 | 0.00001901 | 0.6935 | 5.0575 | 238.965 | 0.013395 |
| 1.26 | 2.33 | 0.0000239 | 0.00001901 | 0.6935 | 5.0575 | 238.965 | 0.013395 |
| 1.26 | 2.33 | 0.000024 | 0.00001901 | 0.6933 | 5.0575 | 238.965 | 0.013395 |
| 1.26 | 2.33 | 0.000024 | 0.00001901 | 0.6933 | 5.0575 | 238.965 | 0.013395 |
| 1.26 | 2.33 | 0.000024 | 0.00001901 | 0.6933 | 5.0575 | 238.965 | 0.013395 |
| 1.26 | 2.33 | 0.000024 | 0.00001901 | 0.6933 | 5.0575 | 238.965 | 0.013395 |

| $D_o(\text{m})$ | $t_f(\text{m})$ | $D_f(\text{m})$ | $A_{\text{tube}}(\text{m}^2)$ | $P_t(\text{m})$ | $P_1(\text{m})$ | $L_1(\text{m})$ | $L_2(\text{m})$ | $L_3(\text{m})$ | $L(\text{m})$ |
|-----------------|-----------------|-----------------|-------------------------------|-----------------|-----------------|-----------------|-----------------|-----------------|---------------|
| 0.015875 | 0.00025 | 0.016375 | 0.000197832 | 0.0381 | 0.033 | 0.528 | 0.61 | 0.457 | 0.020941176 |
| 0.015875 | 0.00025 | 0.016375 | 0.000197832 | 0.0381 | 0.033 | 0.528 | 0.61 | 0.457 | 0.020941176 |
| 0.015875 | 0.00025 | 0.016375 | 0.000197832 | 0.0381 | 0.033 | 0.528 | 0.61 | 0.457 | 0.020941176 |
| 0.015875 | 0.00025 | 0.016375 | 0.000197832 | 0.0381 | 0.033 | 0.528 | 0.61 | 0.457 | 0.020941176 |
| 0.015875 | 0.00025 | 0.016375 | 0.000197832 | 0.0381 | 0.033 | 0.528 | 0.61 | 0.457 | 0.020941176 |

100

| D _o (m) | t _f (m) | D _r (m) | A _{tube} (m ²) | P _t (m) | P _l (m) | L ₁ (m) | L ₂ (m) | L ₃ (m) | L (m) |
|--------------------|--------------------|--------------------|-------------------------------------|--------------------|--------------------|--------------------|--------------------|--------------------|-------------|
| 0.015875 | 0.00025 | 0.016375 | 0.000197832 | 0.0381 | 0.033 | 0.528 | 0.61 | 0.457 | 0.020941176 |
| 0.015875 | 0.00025 | 0.016375 | 0.000197832 | 0.0381 | 0.033 | 0.528 | 0.61 | 0.457 | 0.020941176 |
| 0.015875 | 0.00025 | 0.016375 | 0.000197832 | 0.0381 | 0.033 | 0.528 | 0.61 | 0.457 | 0.020941176 |

| $2a''$ | b'' | $2b''$ | $A_o (m^2)$ | $A_{fr} (m^2)$ | $D_h (m)$ | σ |
|-------------|-------------|-------------|-------------|----------------|-------------|-------------|
| 0.009975994 | 0.009979833 | 0.019959665 | 0.06318025 | 0.17811575 | 0.002078295 | 0.354714561 |
| 0.009975994 | 0.009979833 | 0.019959665 | 0.06318025 | 0.17811575 | 0.002078295 | 0.354714561 |
| 0.009975994 | 0.009979833 | 0.019959665 | 0.06318025 | 0.17811575 | 0.002078295 | 0.354714561 |
| 0.009975994 | 0.009979833 | 0.019959665 | 0.06318025 | 0.17811575 | 0.002078295 | 0.354714561 |
| 0.009975994 | 0.009979833 | 0.019959665 | 0.06318025 | 0.17811575 | 0.002078295 | 0.354714561 |
| 0.009975994 | 0.009979833 | 0.019959665 | 0.06318025 | 0.17811575 | 0.002078295 | 0.354714561 |
| 0.009975994 | 0.009979833 | 0.019959665 | 0.06318025 | 0.17811575 | 0.002078295 | 0.354714561 |

| G_{udara} ($kg/m^2.s$) | Re_D udara | Re_D air laut | N_{ud} udara | N_{ud} air laut | j udara | h_{udara} ($W/m^2.K$) | $h_{air laut}$ ($W/m^2.K$) |
|-------------------------------|--------------|-----------------|-------------------|----------------------|-------------|------------------------------|---------------------------------|
| 2.963382722 | 257.6897191 | 1515.065534 | 7.54 | 3.66 | 0.033052612 | 126.9058303 | 167.3179432 |
| 2.963382722 | 257.6897191 | 1515.065534 | 7.54 | 3.66 | 0.033052612 | 126.9058303 | 167.3179432 |
| 2.963382722 | 257.6897191 | 1515.065534 | 7.54 | 3.66 | 0.033052612 | 126.9058303 | 167.3179432 |
| 2.963382722 | 257.6897191 | 1515.065534 | 7.54 | 3.66 | 0.033052612 | 126.9058303 | 167.3179432 |
| 2.948286076 | 255.3087083 | 1515.065534 | 7.54 | 3.66 | 0.033364065 | 127.4735795 | 167.3179432 |

| G_{udara} (kg/m ² .s) | Re_D udara | Re_D air laut | N_{ud} udara | N_{ud} air laut | j udara | h_{udara} (W/m ² .K) | $h_{\text{air laut}}$ (W/m ² .K) |
|--|--------------|-----------------|--------------------------|-----------------------------|-------------|---|--|
| 2.948286076 | 255.3087083 | 1515.065534 | 7.54 | 3.66 | 0.033364065 | 127.4735795 | 167.3179432 |
| 2.948286076 | 255.3087083 | 1515.065534 | 7.54 | 3.66 | 0.033364065 | 127.4735795 | 167.3179432 |
| 2.948286076 | 255.3087083 | 1515.065534 | 7.54 | 3.66 | 0.033364065 | 127.4735795 | 167.3179432 |

| f_{udara} | $f_{\text{air laut}}$ | m | η_f | R_w | η_o | U (W/m ² .K) |
|--------------------|-----------------------|-------------|-------------|-------------|-------------|---------------------------|
| 0.372541056 | 0.042242397 | 65.18064183 | 0.640444181 | 0.010579019 | 0.643934298 | 30.27615121 |
| 0.372541056 | 0.042242397 | 65.18064183 | 0.640444181 | 0.010579019 | 0.643934298 | 30.27615121 |
| 0.372541056 | 0.042242397 | 65.18064183 | 0.640444181 | 0.010579019 | 0.643934298 | 30.27615121 |
| 0.372541056 | 0.042242397 | 65.18064183 | 0.640444181 | 0.010579019 | 0.643934298 | 30.27615121 |
| 0.376015376 | 0.042242397 | 65.32628115 | 0.639520321 | 0.010579019 | 0.643019405 | 30.29691573 |
| 0.376015376 | 0.042242397 | 65.32628115 | 0.639520321 | 0.010579019 | 0.643019405 | 30.29691573 |
| 0.376015376 | 0.042242397 | 65.32628115 | 0.639520321 | 0.010579019 | 0.643019405 | 30.29691573 |
| 0.376015376 | 0.042242397 | 65.32628115 | 0.639520321 | 0.010579019 | 0.643019405 | 30.29691573 |

| Ntu | ϵ | Δp_{udara} (N/m ²) | Δp_{udara} (kgf/cm ²) | $\Delta p_{air laut}$ (N/m ²) | $\Delta p_{air laut}$ (kgf/cm ²) |
|-------------|-------------|--|---|---|--|
| 7.034101264 | 0.928571429 | 7626.843149 | 0.077772156 | 4611.012325 | 0.047019 |
| 7.083290784 | 0.920361248 | 7649.19433 | 0.078000075 | 4611.012325 | 0.047019 |
| 7.183762993 | 0.912151067 | 7649.19433 | 0.078000075 | 4611.012325 | 0.047019 |
| 7.28712649 | 0.912151067 | 7649.19433 | 0.078000075 | 4611.012325 | 0.047019 |
| 7.436462933 | 0.913348946 | 7664.54042 | 0.078156561 | 4611.012325 | 0.047019 |
| 7.718147135 | 0.913348946 | 7664.54042 | 0.078156561 | 4611.012325 | 0.047019 |
| 8.216092111 | 0.913348946 | 7664.54042 | 0.078156561 | 4611.012325 | 0.047019 |
| 8.782719153 | 0.913348946 | 7664.54042 | 0.078156561 | 4611.012325 | 0.047019 |

Tabel A-6 Hasil Perhitungan *Intercooler* 1 pada Bulan Januari 2015

| Bukaan | T_h in udara (°C) | T_h out udara (°C) | h in udara (kJ/kg) | h out udara (kJ/kg) | T_c in air laut (°C) | T_c out air laut (°C) | h in air laut (kJ/kg) |
|--------|------------------------|-------------------------|-------------------------|--------------------------|---------------------------|----------------------------|----------------------------|
| 100 | 140 | 38 | 414.6 | 311.7 | 30 | 43 | 119.98 |
| 80 | 140 | 38 | 414.6 | 311.7 | 30 | 43 | 119.98 |
| 70 | 140 | 38 | 414.6 | 311.7 | 30 | 43 | 119.98 |
| 60 | 140 | 38 | 414.6 | 311.7 | 30 | 43 | 119.98 |
| 55 | 140 | 38 | 414.6 | 311.7 | 30 | 43 | 119.98 |
| 50 | 140 | 38 | 414.6 | 311.7 | 30 | 43 | 119.98 |
| 45 | 140 | 38 | 414.6 | 311.7 | 30 | 43 | 119.98 |
| 40 | 140 | 38 | 414.6 | 311.7 | 30 | 43 | 119.98 |

| h out air laut (kJ/kg) | Q (m³/s) | \dot{m} udara (kg/s) | \dot{m} air laut (kg/s) | Q air laut (kJ/s) | Q udara (J/s) | C_p udara (j/kg.K) | C udara(J/s.K) |
|-----------------------------|---------------|---------------------------|------------------------------|------------------------|-----------------|-------------------------|------------------|
| 172.18 | 1.44 | 1.22904 | 4.5 | 234.9 | -126468.216 | 1013 | 1245.01752 |
| 172.18 | 1.43 | 1.6946215 | 4.5 | 234.9 | -174376.5524 | 1013 | 1716.65158 |
| 172.18 | 1.41 | 1.203435 | 4.5 | 234.9 | -123833.4615 | 1013 | 1219.079655 |
| 172.18 | 1.36 | 1.16076 | 4.5 | 234.9 | -119442.204 | 1013 | 1175.84988 |

| $h_{out \text{ air laut}}$ (kJ/kg) | Q (m ³ /s) | \dot{m}_{udara} (kg/s) | $\dot{m}_{air \text{ laut}}$ (kg/s) | $Q_{air \text{ laut}}$ (kJ/s) | Q_{udara} (J/s) | Cp_{udara} (j/kg.K) | C_{udara} (J/s.K) |
|---------------------------------------|----------------------------|-----------------------------|--|----------------------------------|-------------------|--------------------------|---------------------|
| 172.18 | 1.31 | 1.118085 | 4.5 | 234.9 | -115050.9465 | 1013 | 1132.620105 |
| 172.18 | 1.25 | 1.066875 | 4.5 | 234.9 | -109781.4375 | 1013 | 1080.744375 |
| 172.18 | 1.17 | 0.998595 | 4.5 | 234.9 | -102755.4255 | 1013 | 1011.576735 |
| 172.18 | 1.12 | 0.95592 | 4.5 | 234.9 | -98364.168 | 1013 | 968.34696 |

| $Cp_{air \text{ laut}}$ (J/kg.K) | $C_{air \text{ laut}}$ (J/s.K) | Cr | q_{maks} (J/s) | $\rho_{in \text{ udara}}$ (kg/m ³) | $\rho_{out \text{ udara}}$ (kg/m ³) | $\rho_{in \text{ air \text{ laut}}}$ (kg/m ³) | $\rho_{out \text{ air \text{ laut}}}$ (kg/m ³) |
|-------------------------------------|-----------------------------------|-------------|------------------|---|--|--|---|
| 4005 | 18022.5 | 0.069081288 | 136951.9272 | 0.8535 | 1.18505 | 1020.175 | 1018.35 |
| 4005 | 18022.5 | 0.095250469 | 188831.6737 | 0.8535 | 1.18505 | 1020.175 | 1018.35 |
| 4005 | 18022.5 | 0.067642095 | 134098.7621 | 0.8535 | 1.14615 | 1020.175 | 1018.35 |
| 4005 | 18022.5 | 0.065243439 | 129343.4868 | 0.8535 | 1.14615 | 1020.175 | 1018.35 |
| 4005 | 18022.5 | 0.062844783 | 124588.2116 | 0.8535 | 1.14615 | 1020.175 | 1018.35 |
| 4005 | 18022.5 | 0.059966396 | 118881.8813 | 0.8535 | 1.14615 | 1020.175 | 1018.35 |
| 4005 | 18022.5 | 0.056128547 | 111273.4409 | 0.8535 | 1.14615 | 1020.175 | 1018.35 |
| 4005 | 18022.5 | 0.053729891 | 106518.1656 | 0.8535 | 1.14615 | 1020.175 | 1018.35 |

| v_{udara} (m/s) | $v_{air\ laut}$ (m/s) | μ_{in} (kg/m.s) | μ_{out} (kg/m.s) | Pr_{udara} | $Pr_{air\ laut}$ | k_f (W/m.K) | D_i (m) | D_o (m) |
|-------------------|-----------------------|---------------------|----------------------|--------------|------------------|---------------|-----------|-----------|
| 1.26 | 2.33 | 0.0000235 | 0.0000189 | 0.694 | 5.0575 | 238.965 | 0.013395 | 0.015875 |
| 1.26 | 2.33 | 0.0000235 | 0.0000189 | 0.694 | 5.0575 | 238.965 | 0.013395 | 0.015875 |
| 1.26 | 2.33 | 0.0000235 | 0.0000189 | 0.694 | 5.0575 | 238.965 | 0.013395 | 0.015875 |
| 1.26 | 2.33 | 0.0000235 | 0.0000189 | 0.694 | 5.0575 | 238.965 | 0.013395 | 0.015875 |
| 1.26 | 2.33 | 0.0000235 | 0.0000189 | 0.694 | 5.0575 | 238.965 | 0.013395 | 0.015875 |
| 1.26 | 2.33 | 0.0000235 | 0.0000189 | 0.694 | 5.0575 | 238.965 | 0.013395 | 0.015875 |
| 1.26 | 2.33 | 0.0000235 | 0.0000189 | 0.694 | 5.0575 | 238.965 | 0.013395 | 0.015875 |

| t_f (m) | D_r (m) | A_{tube} (m ²) | P_t (m) | P_1 (m) | L_1 (m) | L_2 (m) | L_3 (m) | L (m) |
|-----------|-----------|------------------------------|-----------|-----------|-----------|-----------|-----------|-------------|
| 0.00025 | 0.016375 | 0.000197832 | 0.0381 | 0.033 | 0.528 | 0.61 | 0.457 | 0.020941176 |
| 0.00025 | 0.016375 | 0.000197832 | 0.0381 | 0.033 | 0.528 | 0.61 | 0.457 | 0.020941176 |
| 0.00025 | 0.016375 | 0.000197832 | 0.0381 | 0.033 | 0.528 | 0.61 | 0.457 | 0.020941176 |
| 0.00025 | 0.016375 | 0.000197832 | 0.0381 | 0.033 | 0.528 | 0.61 | 0.457 | 0.020941176 |
| 0.00025 | 0.016375 | 0.000197832 | 0.0381 | 0.033 | 0.528 | 0.61 | 0.457 | 0.020941176 |

| t_f (m) | D_r (m) | A_{tube} (m^2) | P_t (m) | P_l (m) | L_1 (m) | L_2 (m) | L_3 (m) | L (m) |
|-----------|-----------|----------------------|-----------|-----------|-----------|-----------|-----------|-------------|
| 0.00025 | 0.016375 | 0.000197832 | 0.0381 | 0.033 | 0.528 | 0.61 | 0.457 | 0.020941176 |
| 0.00025 | 0.016375 | 0.000197832 | 0.0381 | 0.033 | 0.528 | 0.61 | 0.457 | 0.020941176 |
| 0.00025 | 0.016375 | 0.000197832 | 0.0381 | 0.033 | 0.528 | 0.61 | 0.457 | 0.020941176 |

| L_c (m) | N_t | N_l | N | N_{fin} | A_p (m^2) | A_{fin} (m^2) | A_c (m^2) | A (m^2) |
|-------------|-------|-------|-----|-------------|-----------------|---------------------|-----------------|-------------|
| 0.021066176 | 12 | 16 | 192 | 2204.545455 | 2.74983305 | 280.5411166 | 0.241296 | 283.2909497 |
| 0.021066176 | 12 | 16 | 192 | 2204.545455 | 2.74983305 | 280.5411166 | 0.241296 | 283.2909497 |
| 0.021066176 | 12 | 16 | 192 | 2204.545455 | 2.74983305 | 280.5411166 | 0.241296 | 283.2909497 |
| 0.021066176 | 12 | 16 | 192 | 2204.545455 | 2.74983305 | 280.5411166 | 0.241296 | 283.2909497 |
| 0.021066176 | 12 | 16 | 192 | 2204.545455 | 2.74983305 | 280.5411166 | 0.241296 | 283.2909497 |
| 0.021066176 | 12 | 16 | 192 | 2204.545455 | 2.74983305 | 280.5411166 | 0.241296 | 283.2909497 |
| 0.021066176 | 12 | 16 | 192 | 2204.545455 | 2.74983305 | 280.5411166 | 0.241296 | 283.2909497 |
| 0.021066176 | 12 | 16 | 192 | 2204.545455 | 2.74983305 | 280.5411166 | 0.241296 | 283.2909497 |

| $2a''$ | b'' | $2b''$ | $A_o (m^2)$ | $A_{fr} (m^2)$ | $D_h (m)$ | σ |
|-------------|-------------|-------------|-------------|----------------|-------------|-------------|
| 0.009975994 | 0.009979833 | 0.019959665 | 0.06318025 | 0.17811575 | 0.002078295 | 0.354714561 |
| 0.009975994 | 0.009979833 | 0.019959665 | 0.06318025 | 0.17811575 | 0.002078295 | 0.354714561 |
| 0.009975994 | 0.009979833 | 0.019959665 | 0.06318025 | 0.17811575 | 0.002078295 | 0.354714561 |
| 0.009975994 | 0.009979833 | 0.019959665 | 0.06318025 | 0.17811575 | 0.002078295 | 0.354714561 |
| 0.009975994 | 0.009979833 | 0.019959665 | 0.06318025 | 0.17811575 | 0.002078295 | 0.354714561 |
| 0.009975994 | 0.009979833 | 0.019959665 | 0.06318025 | 0.17811575 | 0.002078295 | 0.354714561 |
| 0.009975994 | 0.009979833 | 0.019959665 | 0.06318025 | 0.17811575 | 0.002078295 | 0.354714561 |

| $G_{udara} (kg/m^2.s)$ | Re_D udara | Re_D air laut | N_{ud} udara | Nu_d air laut | j udara | h udara ($W/m^2.K$) |
|------------------------|--------------|-----------------|----------------|-----------------|-------------|-------------------------|
| 3.031761646 | 268.1232289 | 1515.065534 | 7.54 | 3.66 | 0.031758809 | 124.4462844 |
| 3.031761646 | 268.1232289 | 1515.065534 | 7.54 | 3.66 | 0.031758809 | 124.4462844 |
| 3.031761646 | 268.1232289 | 1515.065534 | 7.54 | 3.66 | 0.031758809 | 124.4462844 |
| 3.031761646 | 268.1232289 | 1515.065534 | 7.54 | 3.66 | 0.031758809 | 124.4462844 |
| 3.031761646 | 268.1232289 | 1515.065534 | 7.54 | 3.66 | 0.031758809 | 124.4462844 |

| $G_{\text{udara}} (\text{kg/m}^2 \cdot \text{s})$ | Re_D_{udara} | $Re_D_{\text{air laut}}$ | $N_{\text{ud udara}}$ | $Nu_d_{\text{air laut}}$ | j_{udara} | $h_{\text{udara}} (\text{W/m}^2 \cdot \text{K})$ |
|---|-----------------------|--------------------------|-----------------------|--------------------------|--------------------|--|
| 3.031761646 | 268.1232289 | 1515.065534 | 7.54 | 3.66 | 0.031758809 | 124.4462844 |
| 3.031761646 | 268.1232289 | 1515.065534 | 7.54 | 3.66 | 0.031758809 | 124.4462844 |
| 3.031761646 | 268.1232289 | 1515.065534 | 7.54 | 3.66 | 0.031758809 | 124.4462844 |

| $h_{\text{air laut}} (\text{W/m}^2 \cdot \text{K})$ | f_{udara} | $f_{\text{air laut}}$ | m | η_f | R_w |
|---|--------------------|-----------------------|-------------|-------------|-------------|
| 167.3179432 | 0.358044323 | 0.042242397 | 64.54592252 | 0.644486803 | 0.010579019 |
| 167.3179432 | 0.358044323 | 0.042242397 | 64.54592252 | 0.644486803 | 0.010579019 |
| 167.3179432 | 0.358044323 | 0.042242397 | 64.54592252 | 0.644486803 | 0.010579019 |
| 167.3179432 | 0.358044323 | 0.042242397 | 64.54592252 | 0.644486803 | 0.010579019 |
| 167.3179432 | 0.358044323 | 0.042242397 | 64.54592252 | 0.644486803 | 0.010579019 |
| 167.3179432 | 0.358044323 | 0.042242397 | 64.54592252 | 0.644486803 | 0.010579019 |
| 167.3179432 | 0.358044323 | 0.042242397 | 64.54592252 | 0.644486803 | 0.010579019 |
| 167.3179432 | 0.358044323 | 0.042242397 | 64.54592252 | 0.644486803 | 0.010579019 |

| η_o | U ($\text{W}/\text{m}^2 \cdot \text{K}$) | Ntu | ε | $\Delta p_{\text{udara}} (\text{N}/\text{m}^2)$ | $\Delta p_{\text{udara}} (\text{kgf}/\text{cm}^2)$ |
|-------------|--|-------------|---------------|---|--|
| 0.647937679 | 30.18326432 | 6.867891798 | 0.923449699 | 7433.620072 | 0.075801829 |
| 0.647937679 | 30.18326432 | 4.981002386 | 0.923449699 | 7433.620072 | 0.075801829 |
| 0.647937679 | 30.18326432 | 7.014017155 | 0.923449699 | 7539.42318 | 0.076880721 |
| 0.647937679 | 30.18326432 | 7.271885433 | 0.923449699 | 7539.42318 | 0.076880721 |
| 0.647937679 | 30.18326432 | 7.549438312 | 0.923449699 | 7539.42318 | 0.076880721 |
| 0.647937679 | 30.18326432 | 7.911811351 | 0.923449699 | 7539.42318 | 0.076880721 |
| 0.647937679 | 30.18326432 | 8.452789905 | 0.923449699 | 7539.42318 | 0.076880721 |
| 0.647937679 | 30.18326432 | 8.830146597 | 0.923449699 | 7539.42318 | 0.076880721 |

| $\Delta p_{\text{air laut}} (\text{N}/\text{m}^2)$ | $\Delta p_{\text{air laut}} (\text{kgf}/\text{cm}^2)$ |
|--|---|
| 4611.012325 | 0.047019 |
| 4611.012325 | 0.047019 |
| 4611.012325 | 0.047019 |
| 4611.012325 | 0.047019 |
| 4611.012325 | 0.047019 |

| | |
|-------------|----------|
| 4611.012325 | 0.047019 |
| 4611.012325 | 0.047019 |
| 4611.012325 | 0.047019 |

Tabel A-7 Hasil Perhitungan *Intercooler* 1 pada Bulan April 2015

| Bukaan | T_h in udara (°C) | T_h out udara (°C) | h in udara (kJ/kg) | h out udara (kJ/kg) | T_c in air laut (°C) | T_c out air laut (°C) | h in air laut (kJ/kg) |
|--------|---------------------------|----------------------------|----------------------------|-----------------------------|------------------------------|-------------------------------|-------------------------------|
| 100 | 130 | 36 | 404.5 | 305 | 30 | 43 | 119.98 |
| 80 | 130 | 26 | 404.5 | 305 | 30 | 43 | 119.98 |
| 70 | 130 | 23 | 404.5 | 304 | 30 | 43 | 119.98 |
| 65 | 140 | 28 | 414.6 | 306 | 30 | 43 | 119.98 |
| 55 | 140 | 27 | 414.6 | 306 | 30 | 43 | 119.98 |
| 45 | 140 | 27 | 414.6 | 306 | 30 | 43 | 119.98 |
| 40 | 140 | 27 | 414.6 | 306 | 30 | 43 | 119.98 |

| h out air laut (kJ/kg) | Q (m^3/s) | \dot{m} udara (kg/s) | \dot{m} air laut (kg/s) | Q air laut (kJ/s) | Q udara (J/s) | C_p udara (j/kg.K) | C udara(J/s.K) |
|--------------------------------|--------------------|---------------------------|------------------------------|------------------------|-----------------|-------------------------|------------------|
| 172.18 | 1.57 | 1.3749275 | 4.5 | 234.9 | -136805.2863 | 1013 | 1392.801558 |
| 172.18 | 1.56 | 1.366117 | 4.5 | 234.9 | -135933.915 | 1013 | 1383.93021 |
| 172.18 | 1.51 | 1.3223825 | 4.5 | 234.9 | -132899.4413 | 1013 | 1339.573473 |
| 172.18 | 1.48 | 1.26318 | 4.5 | 234.9 | -137181.348 | 1013 | 1279.60134 |
| 172.18 | 1.41 | 1.203435 | 4.5 | 234.9 | -130693.041 | 1013 | 1219.079655 |

| $h_{\text{out air laut}}$ (kJ/kg) | Q (m ³ /s) | \dot{m}_{udara} (kg/s) | $\dot{m}_{\text{air laut}}$ (kg/s) | $Q_{\text{air laut}}$ (kJ/s) | Q_{udara} (J/s) | Cp_{udara} (j/kg.K) | C_{udara} (J/s.K) |
|--------------------------------------|----------------------------|------------------------------------|---------------------------------------|---------------------------------|--------------------------|---------------------------------|----------------------------|
| 172.18 | 1.29 | 1.101015 | 4.5 | 234.9 | -119570.229 | 1013 | 1115.328195 |
| 172.18 | 1.26 | 1.07541 | 4.5 | 234.9 | -116789.526 | 1013 | 1089.39033 |

| $Cp_{\text{air laut}}$ (J/kg.K) | $C_{\text{air laut}}$ (J/s.K) | Cr | q_{maks} (J/s) | $\rho_{\text{in udara}}$ (kg/m ³) | $\rho_{\text{out udara}}$ (kg/m ³) | $\rho_{\text{in air laut}}$ (kg/m ³) | $\rho_{\text{out air laut}}$ (kg/m ³) |
|------------------------------------|----------------------------------|-------------|-------------------------|--|---|---|--|
| 4005 | 18022.5 | 0.077281263 | 139280.1558 | 0.87575 | 1.18505 | 1020.175 | 1018.35 |
| 4005 | 18022.5 | 0.076789025 | 138393.021 | 0.87575 | 1.18505 | 1020.175 | 1018.35 |
| 4005 | 18022.5 | 0.074327839 | 133957.3473 | 0.87575 | 1.18505 | 1020.175 | 1018.35 |
| 4005 | 18022.5 | 0.071000213 | 140756.1474 | 0.8535 | 1.19 | 1020.175 | 1018.35 |
| 4005 | 18022.5 | 0.067642095 | 134098.7621 | 0.8535 | 1.19 | 1020.175 | 1018.35 |
| 4005 | 18022.5 | 0.061885321 | 122686.1015 | 0.8535 | 1.19 | 1020.175 | 1018.35 |
| 4005 | 18022.5 | 0.060446127 | 119832.9363 | 0.8535 | 1.19 | 1020.175 | 1018.35 |

| $v_{\text{udara}}(\text{m/s})$ | $v_{\text{air laut}}(\text{m/s})$ | μ_{in} (kg/m.s) | μ_{out} (kg/m.s) | Pr_{udara} | $Pr_{\text{air laut}}$ | k_f (W/m.K) | D_i (m) |
|--------------------------------|-----------------------------------|----------------------------|--------------------------------|---------------------|------------------------|------------------|-----------|
| 1.26 | 2.33 | 0.0000231 | 0.0000185 | 0.697 | 5.0575 | 238.965 | 0.013395 |

| v_udara(m/s) | v_air laut (m/s) | μ_{in} (kg/m.s) | μ_{out} (kg/m.s) | Pr_udara | Pr_air laut | k_f (W/m.K) | D_i (m) |
|--------------|------------------|---------------------|----------------------|----------|-------------|-------------|----------|
| 1.26 | 2.33 | 0.0000231 | 0.0000185 | 0.697 | 5.0575 | 238.965 | 0.013395 |
| 1.26 | 2.33 | 0.0000231 | 0.0000185 | 0.697 | 5.0575 | 238.965 | 0.013395 |
| 1.26 | 2.33 | 0.0000231 | 0.0000185 | 0.694 | 5.0575 | 238.965 | 0.013395 |
| 1.26 | 2.33 | 0.0000231 | 0.0000185 | 0.694 | 5.0575 | 238.965 | 0.013395 |
| 1.26 | 2.33 | 0.0000231 | 0.0000185 | 0.694 | 5.0575 | 238.965 | 0.013395 |
| 1.26 | 2.33 | 0.0000231 | 0.0000185 | 0.694 | 5.0575 | 238.965 | 0.013395 |

| L_c (m) | N_t | N_l | N | N_{fin} | A_p (m^2) | A_{fin} (m^2) | A_c (m^2) | A (m^2) |
|-------------|-------|-------|-----|-------------|-----------------|---------------------|-----------------|---------------|
| 0.021066176 | 12 | 16 | 192 | 2204.545455 | 2.74983305 | 280.5411166 | 0.241296 | 283.2909497 |
| 0.021066176 | 12 | 16 | 192 | 2204.545455 | 2.74983305 | 280.5411166 | 0.241296 | 283.2909497 |
| 0.021066176 | 12 | 16 | 192 | 2204.545455 | 2.74983305 | 280.5411166 | 0.241296 | 283.2909497 |
| 0.021066176 | 12 | 16 | 192 | 2204.545455 | 2.74983305 | 280.5411166 | 0.241296 | 283.2909497 |
| 0.021066176 | 12 | 16 | 192 | 2204.545455 | 2.74983305 | 280.5411166 | 0.241296 | 283.2909497 |
| 0.021066176 | 12 | 16 | 192 | 2204.545455 | 2.74983305 | 280.5411166 | 0.241296 | 283.2909497 |
| 0.021066176 | 12 | 16 | 192 | 2204.545455 | 2.74983305 | 280.5411166 | 0.241296 | 283.2909497 |

| $2a''$ | b'' | $2b''$ | A_o (m^2) | A_{fr} (m^2) | D_h (m) | σ |
|-------------|-------------|-------------|-----------------|--------------------|-------------|-------------|
| 0.009975994 | 0.009979833 | 0.019959665 | 0.06318025 | 0.17811575 | 0.002078295 | 0.354714561 |
| 0.009975994 | 0.009979833 | 0.019959665 | 0.06318025 | 0.17811575 | 0.002078295 | 0.354714561 |
| 0.009975994 | 0.009979833 | 0.019959665 | 0.06318025 | 0.17811575 | 0.002078295 | 0.354714561 |
| 0.009975994 | 0.009979833 | 0.019959665 | 0.06318025 | 0.17811575 | 0.002078295 | 0.354714561 |
| 0.009975994 | 0.009979833 | 0.019959665 | 0.06318025 | 0.17811575 | 0.002078295 | 0.354714561 |

| $2a''$ | b'' | $2b''$ | $A_o (m^2)$ | $A_{fr} (m^2)$ | $D_h (m)$ | σ |
|-------------|-------------|-------------|-------------|----------------|-------------|-------------|
| 0.009975994 | 0.009979833 | 0.019959665 | 0.06318025 | 0.17811575 | 0.002078295 | 0.354714561 |
| 0.009975994 | 0.009979833 | 0.019959665 | 0.06318025 | 0.17811575 | 0.002078295 | 0.354714561 |

| $G_{udara} (kg/m^2.s)$ | Re_D_{udara} | $Re_D_{air laut}$ | $N_{ud} udara$ | $Nu_d air laut$ | j_{udara} | $h_{udara} (W/m^2.K)$ |
|------------------------|----------------|-------------------|----------------|-----------------|-------------|-----------------------|
| 3.110797025 | 279.8768284 | 1515.065534 | 7.54 | 3.66 | 0.030381407 | 121.8015302 |
| 3.110797025 | 279.8768284 | 1515.065534 | 7.54 | 3.66 | 0.030381407 | 121.8015302 |
| 3.110797025 | 279.8768284 | 1515.065534 | 7.54 | 3.66 | 0.030381407 | 121.8015302 |
| 3.031761646 | 272.7660554 | 1515.065534 | 7.54 | 3.66 | 0.031218233 | 122.3280498 |
| 3.031761646 | 272.7660554 | 1515.065534 | 7.54 | 3.66 | 0.031218233 | 122.3280498 |
| 3.031761646 | 272.7660554 | 1515.065534 | 7.54 | 3.66 | 0.031218233 | 122.3280498 |
| 3.031761646 | 272.7660554 | 1515.065534 | 7.54 | 3.66 | 0.031218233 | 122.3280498 |

| $h_{air laut} (W/m^2.K)$ | f_{udara} | $f_{air laut}$ | m | η_f | R_w | η_o |
|--------------------------|-------------|----------------|------------|------------|------------|------------|
| 167.3179432 | 0.343008032 | 0.042242397 | 63.8563686 | 0.64890845 | 0.01057901 | 0.65231641 |
| 167.3179432 | 0.343008032 | 0.042242397 | 63.8563686 | 0.64890845 | 0.01057901 | 0.65231641 |

| $h_{\text{air laut}}$ (W/m ² .K) | f_{udara} | $f_{\text{air laut}}$ | m | η_f | R_w | η_o |
|--|--------------------|-----------------------|------------|------------|------------|------------|
| 167.3179432 | 0.343008032 | 0.042242397 | 63.8563686 | 0.64890845 | 0.01057901 | 0.65231641 |
| 167.3179432 | 0.351949952 | 0.042242397 | 63.9942378 | 0.64802193 | 0.01057901 | 0.65143849 |
| 167.3179432 | 0.351949952 | 0.042242397 | 63.9942378 | 0.64802193 | 0.01057901 | 0.65143849 |
| 167.3179432 | 0.351949952 | 0.042242397 | 63.9942378 | 0.64802193 | 0.01057901 | 0.65143849 |
| 167.3179432 | 0.351949952 | 0.042242397 | 63.9942378 | 0.64802193 | 0.01057901 | 0.65143849 |

| U (W/m ² .K) | Ntu | ϵ | Δp_{udara} (N/m ²) | Δp_{udara} (kgf/cm ²) | $\Delta p_{\text{air laut}}$ (N/m ²) | $\Delta p_{\text{air laut}}$ (kgf/cm ²) |
|---------------------------|-------------|-------------|--|--|---|--|
| 30.07786436 | 6.117732073 | 0.982230997 | 7386.906389 | 0.075325482 | 4611.012325 | 0.047019 |
| 30.07786436 | 6.156948304 | 0.982230997 | 7386.906389 | 0.075325482 | 4611.012325 | 0.047019 |
| 30.07786436 | 6.360820764 | 0.992102665 | 7386.906389 | 0.075325482 | 4611.012325 | 0.047019 |
| 30.09931721 | 6.663688048 | 0.97460289 | 7294.314642 | 0.074381309 | 4611.012325 | 0.047019 |
| 30.09931721 | 6.99450944 | 0.97460289 | 7294.314642 | 0.074381309 | 4611.012325 | 0.047019 |
| 30.09931721 | 7.645161481 | 0.97460289 | 7294.314642 | 0.074381309 | 4611.012325 | 0.047019 |
| 30.09931721 | 7.827189136 | 0.97460289 | 7294.314642 | 0.074381309 | 4611.012325 | 0.047019 |

Tabel A-8 Hasil Perhitungan *Intercooler 1* pada *Comissioning*

| Bukaan | Th in udara | Th out udara | h in udara | h out udara | Tc in air laut | Tc out air laut | h in air laut | h out air laut | m udara (kg/s) |
|--------|-------------|--------------|------------|-------------|----------------|-----------------|---------------|----------------|----------------|
| 100 | 141.43 | 32.538 | 416.1 | 306.2 | 30 | 43 | 119.98 | 172.18 | 1.41 |

| mair laut (kg/s) | Q air laut | Q udara | Cp udara (j/kg.K) | C udara | Cp air laut | C air laut | Cr | qmaks (J/s) |
|------------------|------------|---------|-------------------|---------|-------------|------------|-------------|-------------|
| 4.5 | 234.9 | -154959 | 1015 | 1431.15 | 4005 | 18022.5 | 0.079409072 | 159473.0445 |

| ρ in udara (kg/m3) | ρ out udara (kg/m3) | ρ in air laut(kg/m3) | ρ out air laut(kg/m3) | v udara (m/s) | v air laut (m/s) | μ in (kg/m.s) | μ out (kg/m.s) |
|--------------------|---------------------|----------------------|-----------------------|---------------|------------------|---------------|----------------|
| 0.8535 | 1.194775 | 1020.175 | 1018.35 | 1.26 | 2.33 | 0.0000239 | 0.00001901 |

| Pr udara | Pr air laut | kf(W/m.K) | Di (m) | Do (m) | tf (m) | Dr (m) | Atube (m2) |
|----------|-------------|-----------|----------|----------|---------|----------|-------------|
| 0.6935 | 5.0575 | 238.965 | 0.013395 | 0.015875 | 0.00025 | 0.016375 | 0.000197832 |

| Pt (m) | Pl (m) | L ₁ (m) | L ₂ (m) | L ₃ (m) | L (m) | Lc (m) | Nt | Nl | N | Nfin |
|--------|--------|--------------------|--------------------|--------------------|-------------|-------------|----|----|-----|-------------|
| 0.0381 | 0.033 | 0.528 | 0.61 | 0.457 | 0.020941176 | 0.021066176 | 12 | 16 | 192 | 2204.545455 |

| A_p (m^2) | A_{fin} (m^2) | A_c (m^2) | A (m^2) | $2a''$ | b'' | $2b''$ |
|-----------------|---------------------|-----------------|---------------|-------------|-------------|-------------|
| 2.74983305 | 280.5411166 | 0.241296 | 283.2909497 | 0.009975994 | 0.009979833 | 0.019959665 |

| A_o (m^2) | A_{fr} (m^2) | D_h (m) | σ | G udara ($kg/m^2.s$) | Re_D udara | Re_D air laut |
|-----------------|--------------------|-------------|-------------|------------------------|--------------|-----------------|
| 0.06318025 | 0.17811575 | 0.002078295 | 0.354714561 | 3.031761646 | 263.6358109 | 1515.065534 |

| Nud udara | Nud air laut | j udara | h udara (W/m ² .K) | h air (W/m ² .K) | f udara | f air laut |
|----------------|-------------------|-------------|------------------------------------|----------------------------------|-------------|--------------|
| 7.54 | 3.66 | 0.032307137 | 126.9058303 | 167.3179432 | 0.364138695 | 0.042242397 |

| m | ηf | Rw | ηo | U | Ntu |
|-------------|-------------|-------------|-------------|-------------|-------------|
| 65.18064183 | 0.640444181 | 0.010579019 | 0.643934298 | 30.76212713 | 6.089251447 |

| ϵ | Δp (N/m ²) | Δp (kgf/cm ²) | Δp (N/m ²) | Δp (kgf/cm ²) |
|-------------|--------------------------------|-----------------------------------|--------------------------------|-----------------------------------|
| 0.971693997 | 7534.373065 | 0.071 | 4611.012325 | 0.047019 |

Lampiran A-9 Hasil Perhitungan *Intercooler 2* pada Bulan Desember 2014

| Bukaan | T_h _{in udara} (°C) | T_h _{out udara} (°C) | h _{in udara} (kJ/kg) | h _{out udara} (kJ/kg) | T_c _{in air laut} (°C) | T_c _{out air laut} (°C) | h _{in air laut} (kJ/kg) |
|--------|-----------------------------------|------------------------------------|------------------------------------|-------------------------------------|--------------------------------------|---------------------------------------|---------------------------------------|
| 100 | 160 | 44 | 435 | 317.7 | 30 | 43 | 119.98 |
| 80 | 160 | 45 | 435 | 318.7 | 30 | 43 | 119.98 |
| 70 | 160 | 46 | 435 | 319.7 | 30 | 43 | 119.98 |
| 65 | 160 | 46 | 435 | 319.7 | 30 | 43 | 119.98 |
| 60 | 160 | 46 | 435 | 319.7 | 30 | 43 | 119.98 |
| 55 | 160 | 46 | 435 | 319.7 | 30 | 43 | 119.98 |
| 50 | 160 | 46 | 435 | 319.7 | 30 | 43 | 119.98 |
| 45 | 160 | 46 | 435 | 319.7 | 30 | 43 | 119.98 |

| h _{out air laut} (kJ/kg) | Q (m ³ /s) | \dot{m} _{udara} (kg/s) | \dot{m} _{air laut} (kg/s) | Q _{air laut} (kJ/s) | Q _{udara} (J/s) | C_p _{udara} (j/kg.K) | C _{udara} (J/s.K) |
|--|----------------------------|--------------------------------------|---|-----------------------------------|----------------------------|------------------------------------|------------------------------|
| 172.18 | 1.44 | 1.1736 | 4.5 | 234.9 | -137663.28 | 1017 | 1193.5512 |
| 172.18 | 1.43 | 1.16545 | 4.5 | 234.9 | -135541.835 | 1017 | 1185.26265 |
| 172.18 | 1.41 | 1.14915 | 4.5 | 234.9 | -132496.995 | 1017 | 1168.68555 |

| h_{out} air laut (kJ/kg) | Q (m ³ /s) | \dot{m}_{udara} (kg/s) | \dot{m}_{air} laut (kg/s) | Q_{air} laut (kJ/s) | Q_{udara} (J/s) | Cp_{udara} (j/kg.K) | C_{udara} (J/s.K) |
|-------------------------------|----------------------------|-----------------------------|--------------------------------|--------------------------|-------------------|--------------------------|---------------------|
| 172.18 | 1.39 | 1.13285 | 4.5 | 234.9 | -130617.605 | 1017 | 1152.10845 |
| 172.18 | 1.37 | 1.11655 | 4.5 | 234.9 | -128738.215 | 1017 | 1135.53135 |
| 172.18 | 1.32 | 1.0758 | 4.5 | 234.9 | -124039.74 | 1017 | 1094.0886 |
| 172.18 | 1.24 | 1.0106 | 4.5 | 234.9 | -116522.18 | 1017 | 1027.7802 |
| 172.18 | 1.16 | 0.9454 | 4.5 | 234.9 | -109004.62 | 1017 | 961.4718 |

| Cp_{air} laut(J/kg.K) | C_{air} laut (J/s.K) | Cr | q_{maks} (J/s) | ρ_{in} udara (kg/m ³) | ρ_{out} udara (kg/m ³) | ρ_{in} air laut(kg/m ³) | ρ_{out} air laut(kg/m ³) |
|----------------------------|---------------------------|-------------|---------------------|---|--|---|--|
| 4005 | 18022.5 | 0.066225618 | 155161.656 | 0.815 | 1.11326 | 1020.175 | 1018.35 |
| 4005 | 18022.5 | 0.065765718 | 154084.1445 | 0.815 | 1.1099 | 1020.175 | 1018.35 |
| 4005 | 18022.5 | 0.064845918 | 151929.1215 | 0.815 | 1.11 | 1020.175 | 1018.35 |
| 4005 | 18022.5 | 0.063926117 | 149774.0985 | 0.815 | 1.11 | 1020.175 | 1018.35 |
| 4005 | 18022.5 | 0.063006317 | 147619.0755 | 0.815 | 1.11 | 1020.175 | 1018.35 |
| 4005 | 18022.5 | 0.060706816 | 142231.518 | 0.815 | 1.11 | 1020.175 | 1018.35 |
| 4005 | 18022.5 | 0.057027615 | 133611.426 | 0.815 | 1.11 | 1020.175 | 1018.35 |

| C_p air laut(J/kg.K) | C air laut (J/s.K) | Cr | q_{maks} (J/s) | $\rho_{in\ udara}$ (kg/m ³) | $\rho_{out\ udara}$ (kg/m ³) | $\rho_{in\ air\ laut}$ (kg/m ³) | $\rho_{out\ air\ laut}$ (kg/m ³) |
|------------------------------|----------------------------|-------------|---------------------|--|---|--|---|
| 4005 | 18022.5 | 0.053348414 | 124991.334 | 0.815 | 1.11 | 1020.175 | 1018.35 |

| D _o (m) | t _f (m) | D _r (m) | A _{tube} (m ²) | P _t (m) | P ₁ (m) | L ₁ (m) | L ₂ (m) | L ₃ (m) | L (m) |
|--------------------|--------------------|--------------------|-------------------------------------|--------------------|--------------------|--------------------|--------------------|--------------------|-------------|
| 0.015875 | 0.00025 | 0.016375 | 0.000197832 | 0.0381 | 0.033 | 0.528 | 0.61 | 0.457 | 0.020941176 |
| 0.015875 | 0.00025 | 0.016375 | 0.000197832 | 0.0381 | 0.033 | 0.528 | 0.61 | 0.457 | 0.020941176 |
| 0.015875 | 0.00025 | 0.016375 | 0.000197832 | 0.0381 | 0.033 | 0.528 | 0.61 | 0.457 | 0.020941176 |
| 0.015875 | 0.00025 | 0.016375 | 0.000197832 | 0.0381 | 0.033 | 0.528 | 0.61 | 0.457 | 0.020941176 |
| 0.015875 | 0.00025 | 0.016375 | 0.000197832 | 0.0381 | 0.033 | 0.528 | 0.61 | 0.457 | 0.020941176 |
| 0.015875 | 0.00025 | 0.016375 | 0.000197832 | 0.0381 | 0.033 | 0.528 | 0.61 | 0.457 | 0.020941176 |
| 0.015875 | 0.00025 | 0.016375 | 0.000197832 | 0.0381 | 0.033 | 0.528 | 0.61 | 0.457 | 0.020941176 |
| 0.015875 | 0.00025 | 0.016375 | 0.000197832 | 0.0381 | 0.033 | 0.528 | 0.61 | 0.457 | 0.020941176 |

| L _c (m) | N _t | N _l | N | N _{fin} | A _p (m ²) | A _{fin} (m ²) | A _c (m ²) | A (m ²) |
|--------------------|----------------|----------------|-----|------------------|----------------------------------|------------------------------------|----------------------------------|---------------------|
| 0.021066176 | 12 | 16 | 192 | 2204.545455 | 2.74983305 | 280.5411166 | 0.241296 | 283.2909497 |
| 0.021066176 | 12 | 16 | 192 | 2204.545455 | 2.74983305 | 280.5411166 | 0.241296 | 283.2909497 |
| 0.021066176 | 12 | 16 | 192 | 2204.545455 | 2.74983305 | 280.5411166 | 0.241296 | 283.2909497 |
| 0.021066176 | 12 | 16 | 192 | 2204.545455 | 2.74983305 | 280.5411166 | 0.241296 | 283.2909497 |

| L _c (m) | N _t | N _l | N | N _{fin} | A _p (m ²) | A _{fin} (m ²) | A _c (m ²) | A (m ²) |
|--------------------|----------------|----------------|-----|------------------|----------------------------------|------------------------------------|----------------------------------|---------------------|
| 0.021066176 | 12 | 16 | 192 | 2204.545455 | 2.74983305 | 280.5411166 | 0.241296 | 283.2909497 |
| 0.021066176 | 12 | 16 | 192 | 2204.545455 | 2.74983305 | 280.5411166 | 0.241296 | 283.2909497 |
| 0.021066176 | 12 | 16 | 192 | 2204.545455 | 2.74983305 | 280.5411166 | 0.241296 | 283.2909497 |
| 0.021066176 | 12 | 16 | 192 | 2204.545455 | 2.74983305 | 280.5411166 | 0.241296 | 283.2909497 |

| G udara ($\text{kg/m}^2 \cdot \text{s}$) | Re_D udara | Re_D air laut | N_u udara | N_u air laut | j udara | h udara ($\text{W/m}^2 \cdot \text{K}$) |
|--|---------------------|------------------------|-------------|----------------|-------------|---|
| 2.895003797 | 247.5996992 | 1515.065534 | 7.54 | 3.66 | 0.034407813 | 129.3773017 |
| 2.895003797 | 247.5996992 | 1515.065534 | 7.54 | 3.66 | 0.034407813 | 129.3773017 |
| 2.895003797 | 247.5996992 | 1515.065534 | 7.54 | 3.66 | 0.034407813 | 129.3773017 |
| 2.895003797 | 247.5996992 | 1515.065534 | 7.54 | 3.66 | 0.034407813 | 129.3773017 |
| 2.895003797 | 247.5996992 | 1515.065534 | 7.54 | 3.66 | 0.034407813 | 129.3773017 |
| 2.895003797 | 247.5996992 | 1515.065534 | 7.54 | 3.66 | 0.034407813 | 129.3773017 |
| 2.895003797 | 247.5996992 | 1515.065534 | 7.54 | 3.66 | 0.034407813 | 129.3773017 |

| h air laut ($\text{W/m}^2 \cdot \text{K}$) | f udara | f air laut | m | η_f | R_w | η_o |
|--|-------------|--------------|------------|------------|------------|------------|
| 167.3179432 | 0.387722603 | 0.042242397 | 65.8122728 | 0.63644760 | 0.01057901 | 0.63997651 |
| 167.3179432 | 0.387722603 | 0.042242397 | 65.8122728 | 0.63644760 | 0.01057901 | 0.63997651 |
| 167.3179432 | 0.387722603 | 0.042242397 | 65.8122728 | 0.63644760 | 0.01057901 | 0.63997651 |
| 167.3179432 | 0.387722603 | 0.042242397 | 65.8122728 | 0.63644760 | 0.01057901 | 0.63997651 |

| $h_{\text{air laut}}$ (W/m ² .K) | f_{udara} | $f_{\text{air laut}}$ | m | η_f | R_w | η_o |
|--|--------------------|-----------------------|------------|------------|------------|------------|
| 167.3179432 | 0.387722603 | 0.042242397 | 65.8122728 | 0.63644760 | 0.01057901 | 0.63997651 |
| 167.3179432 | 0.387722603 | 0.042242397 | 65.8122728 | 0.63644760 | 0.01057901 | 0.63997651 |
| 167.3179432 | 0.387722603 | 0.042242397 | 65.8122728 | 0.63644760 | 0.01057901 | 0.63997651 |
| 167.3179432 | 0.387722603 | 0.042242397 | 65.8122728 | 0.63644760 | 0.01057901 | 0.63997651 |

| U (W/m ² .K) | Ntu | ϵ | Δp_{udara} (N/m ²) | Δp_{udara} (kgf/cm ²) | $\Delta p_{\text{air laut}}$ (N/m ²) | $\Delta p_{\text{air laut}}$ (kgf/cm ²) |
|------------------------------|-------------|-------------|--|--|--|---|
| 30.3647463 | 7.207112528 | 0.88722487 | 7739.896089 | 0.078924975 | 4611.012325 | 0.047019 |
| 30.3647463 | 7.257511916 | 0.879661145 | 7749.814263 | 0.079026113 | 4611.012325 | 0.047019 |
| 30.3647463 | 7.360455348 | 0.872097421 | 7749.518212 | 0.079026113 | 4611.012325 | 0.047019 |
| 30.3647463 | 7.46636118 | 0.872097421 | 7749.518212 | 0.079026113 | 4611.012325 | 0.047019 |
| 30.3647463 | 7.575359153 | 0.872097421 | 7749.518212 | 0.079026113 | 4611.012325 | 0.047019 |
| 30.3647463 | 7.862304576 | 0.872097421 | 7749.518212 | 0.079026113 | 4611.012325 | 0.047019 |
| 30.3647463 | 8.369550032 | 0.872097421 | 7749.518212 | 0.079026113 | 4611.012325 | 0.047019 |
| 30.3647463 | 8.946760379 | 0.872097421 | 7749.518212 | 0.079026113 | 4611.012325 | 0.047019 |

Tabel A-10 Hasil Perhitungan *Intercooler* 2 pada Bulan Januari 2015

| Bukaan | Th_{in} udara (°C) | Th_{out} udara (°C) | h_{in} udara (kJ/kg) | h_{out} udara (kJ/kg) | Tc_{in} air laut (°C) | Tc_{out} air laut (°C) |
|--------|-------------------------|--------------------------|---------------------------|----------------------------|----------------------------|-----------------------------|
| 100 | 158 | 38 | 432.9 | 311.7 | 30 | 43 |
| 80 | 158 | 38 | 432.9 | 311.7 | 30 | 43 |
| 70 | 160 | 39 | 435 | 312.7 | 30 | 43 |
| 60 | 160 | 39 | 435 | 312.7 | 30 | 43 |
| 55 | 160 | 39 | 435 | 312.7 | 30 | 43 |
| 50 | 160 | 39 | 435 | 312.7 | 30 | 43 |
| 45 | 160 | 39 | 435 | 312.7 | 30 | 43 |
| 40 | 160 | 39 | 435 | 312.7 | 30 | 43 |

| h_{in} air laut (kJ/kg) | h_{out} air laut (kJ/kg) | Q (m^3/s) | \dot{m}_{udara} (kg/s) | $\dot{m}_{air\ laut}$ (kg/s) | $Q_{air\ laut}$ (kJ/s) | Q_{udara} (J/s) | Cp_{udara} (j/kg.K) |
|------------------------------|-------------------------------|-----------------|-----------------------------|---------------------------------|------------------------|-------------------|--------------------------|
| 119.98 | 172.18 | 1.44 | 1.21518 | 4.5 | 234.9 | -147279.816 | 1016.5 |
| 119.98 | 172.18 | 1.43 | 1.6946215 | 4.5 | 234.9 | -205388.1258 | 1016.5 |
| 119.98 | 172.18 | 1.41 | 1.14915 | 4.5 | 234.9 | -140541.045 | 1017 |
| 119.98 | 172.18 | 1.36 | 1.1084 | 4.5 | 234.9 | -135557.32 | 1017 |

| h_{in} air laut (kJ/kg) | h_{out} air laut (kJ/kg) | Q (m^3/s) | \dot{m}_{udara} (kg/s) | $\dot{m}_{air\ laut}$ (kg/s) | $Q_{air\ laut}$ (kJ/s) | Q_{udara} (J/s) | Cp_{udara} (j/kg.K) |
|------------------------------|-------------------------------|-----------------|-----------------------------|---------------------------------|------------------------|-------------------|--------------------------|
| 119.98 | 172.18 | 1.31 | 1.06765 | 4.5 | 234.9 | -130573.595 | 1017 |
| 119.98 | 172.18 | 1.25 | 1.01875 | 4.5 | 234.9 | -124593.125 | 1017 |
| 119.98 | 172.18 | 1.17 | 0.95355 | 4.5 | 234.9 | -116619.165 | 1017 |
| 119.98 | 172.18 | 1.12 | 0.9128 | 4.5 | 234.9 | -111635.44 | 1017 |

| C_{udara} (J/s.K) | $Cp_{air\ laut}$ (J/kg.K) | $C_{air\ laut}$ (J/s.K) | Cr | q_{maks} (J/s) | $\rho_{in\ udara}$ (kg/m ³) | $\rho_{out\ udara}$ (kg/m ³) | $\rho_{in\ air\ laut}$ (kg/m ³) |
|------------------------|------------------------------|----------------------------|-------------|------------------|--|---|---|
| 1235.23047 | 4005 | 18022.5 | 0.068538242 | 158109.5002 | 0.843875 | 1.18505 | 1020.175 |
| 1722.582755 | 4005 | 18022.5 | 0.095579567 | 220490.5926 | 0.843875 | 1.18505 | 1020.175 |
| 1168.68555 | 4005 | 18022.5 | 0.064845918 | 151929.1215 | 0.815 | 1.1267 | 1020.175 |
| 1127.2428 | 4005 | 18022.5 | 0.062546417 | 146541.564 | 0.815 | 1.1267 | 1020.175 |
| 1085.80005 | 4005 | 18022.5 | 0.060246916 | 141154.0065 | 0.815 | 1.1267 | 1020.175 |
| 1036.06875 | 4005 | 18022.5 | 0.057487516 | 134688.9375 | 0.815 | 1.1267 | 1020.175 |
| 969.76035 | 4005 | 18022.5 | 0.053808315 | 126068.8455 | 0.815 | 1.1267 | 1020.175 |
| 928.3176 | 4005 | 18022.5 | 0.051508814 | 120681.288 | 0.815 | 1.1267 | 1020.175 |

| $\rho_{\text{out air laut}} (\text{kg/m}^3)$ | $V_{\text{udara}} (\text{m/s})$ | $V_{\text{air laut}} (\text{m/s})$ | $\mu_{\text{in}} (\text{kg/m.s})$ | $\mu_{\text{out}} (\text{kg/m.s})$ | $P_{\text{r udara}}$ | $P_{\text{r air laut}}$ | $k_f (\text{W/m.K})$ | $D_i (\text{m})$ |
|--|---------------------------------|------------------------------------|-----------------------------------|------------------------------------|----------------------|-------------------------|----------------------|------------------|
| 1018.35 | 1.26 | 2.33 | 0.000024 | 0.0000189 | 0.693 | 5.0575 | 238.965 | 0.013395 |
| 1018.35 | 1.26 | 2.33 | 0.000024 | 0.0000189 | 0.693 | 5.0575 | 238.965 | 0.013395 |
| 1018.35 | 1.26 | 2.33 | 0.0000243 | 0.0000191 | 0.69 | 5.0575 | 238.965 | 0.013395 |
| 1018.35 | 1.26 | 2.33 | 0.0000243 | 0.0000191 | 0.69 | 5.0575 | 238.965 | 0.013395 |
| 1018.35 | 1.26 | 2.33 | 0.0000243 | 0.0000191 | 0.69 | 5.0575 | 238.965 | 0.013395 |
| 1018.35 | 1.26 | 2.33 | 0.0000243 | 0.0000191 | 0.69 | 5.0575 | 238.965 | 0.013395 |
| 1018.35 | 1.26 | 2.33 | 0.0000243 | 0.0000191 | 0.69 | 5.0575 | 238.965 | 0.013395 |
| 1018.35 | 1.26 | 2.33 | 0.0000243 | 0.0000191 | 0.69 | 5.0575 | 238.965 | 0.013395 |

| $D_o (\text{m})$ | $t_f (\text{m})$ | $D_r (\text{m})$ | $A_{\text{tube}} (\text{m}^2)$ | $P_t (\text{m})$ | $P_1 (\text{m})$ | $L_1 (\text{m})$ | $L_2 (\text{m})$ | $L_3 (\text{m})$ | $L (\text{m})$ |
|------------------|------------------|------------------|--------------------------------|------------------|------------------|------------------|------------------|------------------|----------------|
| 0.015875 | 0.00025 | 0.016375 | 0.000197832 | 0.0381 | 0.033 | 0.528 | 0.61 | 0.457 | 0.020941176 |
| 0.015875 | 0.00025 | 0.016375 | 0.000197832 | 0.0381 | 0.033 | 0.528 | 0.61 | 0.457 | 0.020941176 |
| 0.015875 | 0.00025 | 0.016375 | 0.000197832 | 0.0381 | 0.033 | 0.528 | 0.61 | 0.457 | 0.020941176 |
| 0.015875 | 0.00025 | 0.016375 | 0.000197832 | 0.0381 | 0.033 | 0.528 | 0.61 | 0.457 | 0.020941176 |

| D_o (m) | t_f (m) | D_r (m) | A_{tube} (m^2) | P_t (m) | P_l (m) | L_1 (m) | L_2 (m) | L_3 (m) | L (m) |
|-----------|-----------|-----------|----------------------|-----------|-----------|-----------|-----------|-----------|-------------|
| 0.015875 | 0.00025 | 0.016375 | 0.000197832 | 0.0381 | 0.033 | 0.528 | 0.61 | 0.457 | 0.020941176 |
| 0.015875 | 0.00025 | 0.016375 | 0.000197832 | 0.0381 | 0.033 | 0.528 | 0.61 | 0.457 | 0.020941176 |
| 0.015875 | 0.00025 | 0.016375 | 0.000197832 | 0.0381 | 0.033 | 0.528 | 0.61 | 0.457 | 0.020941176 |
| 0.015875 | 0.00025 | 0.016375 | 0.000197832 | 0.0381 | 0.033 | 0.528 | 0.61 | 0.457 | 0.020941176 |

| $2a''$ | b'' | $2b''$ | $A_o (m^2)$ | $A_{fi} (m^2)$ | $D_h (m)$ | σ |
|-------------|-------------|-------------|-------------|----------------|-------------|-------------|
| 0.009975994 | 0.009979833 | 0.019959665 | 0.06318025 | 0.17811575 | 0.002078295 | 0.354714561 |
| 0.009975994 | 0.009979833 | 0.019959665 | 0.06318025 | 0.17811575 | 0.002078295 | 0.354714561 |
| 0.009975994 | 0.009979833 | 0.019959665 | 0.06318025 | 0.17811575 | 0.002078295 | 0.354714561 |
| 0.009975994 | 0.009979833 | 0.019959665 | 0.06318025 | 0.17811575 | 0.002078295 | 0.354714561 |
| 0.009975994 | 0.009979833 | 0.019959665 | 0.06318025 | 0.17811575 | 0.002078295 | 0.354714561 |
| 0.009975994 | 0.009979833 | 0.019959665 | 0.06318025 | 0.17811575 | 0.002078295 | 0.354714561 |
| 0.009975994 | 0.009979833 | 0.019959665 | 0.06318025 | 0.17811575 | 0.002078295 | 0.354714561 |

| G_{udara} (kg/m ² .s) | Re_D udara | Re_D air laut | N_{ud} udara | Nu_d air laut | j udara | h_{udara} (W/m ² .K) | $h_{\text{air laut}}$ (W/m ² .K) |
|--|--------------|-----------------|-------------------|--------------------|-------------|---|--|
| 2.997572184 | 259.5766701 | 1515.065534 | 7.54 | 3.66 | 0.032820223 | 127.717229 | 167.3179432 |
| 2.997572184 | 259.5766701 | 1515.065534 | 7.54 | 3.66 | 0.032820223 | 127.717229 | 167.3179432 |
| 2.895003797 | 247.5996992 | 1515.065534 | 7.54 | 3.66 | 0.034457557 | 129.9398117 | 167.3179432 |
| 2.895003797 | 247.5996992 | 1515.065534 | 7.54 | 3.66 | 0.034457557 | 129.9398117 | 167.3179432 |
| 2.895003797 | 247.5996992 | 1515.065534 | 7.54 | 3.66 | 0.034457557 | 129.9398117 | 167.3179432 |

| G udara (kg/m ² .s) | Re _D udara | Re _D air laut | N _{ud} udara | N _{ud} air laut | j udara | h udara (W/m ² .K) | h air laut (W/m ² .K) |
|-----------------------------------|-----------------------|--------------------------|--------------------------|-----------------------------|-------------|----------------------------------|-------------------------------------|
| 2.895003797 | 247.5996992 | 1515.065534 | 7.54 | 3.66 | 0.034457557 | 129.9398117 | 167.3179432 |
| 2.895003797 | 247.5996992 | 1515.065534 | 7.54 | 3.66 | 0.034457557 | 129.9398117 | 167.3179432 |
| 2.895003797 | 247.5996992 | 1515.065534 | 7.54 | 3.66 | 0.034457557 | 129.9398117 | 167.3179432 |

| f_udara | f_air_laut | m | η_f | R_w | η_o | U (W/m ² .K) |
|-------------|-------------|-------------|-------------|-------------|-------------|-------------------------|
| 0.369832928 | 0.042242397 | 65.38868278 | 0.639124906 | 0.010579019 | 0.642627829 | 30.3057506 |
| 0.369832928 | 0.042242397 | 65.38868278 | 0.639124906 | 0.010579019 | 0.642627829 | 30.3057506 |
| 0.387722603 | 0.042242397 | 65.95518786 | 0.635547 | 0.010579019 | 0.639084652 | 30.3842697 |
| 0.387722603 | 0.042242397 | 65.95518786 | 0.635547 | 0.010579019 | 0.639084652 | 30.3842697 |
| 0.387722603 | 0.042242397 | 65.95518786 | 0.635547 | 0.010579019 | 0.639084652 | 30.3842697 |
| 0.387722603 | 0.042242397 | 65.95518786 | 0.635547 | 0.010579019 | 0.639084652 | 30.3842697 |
| 0.387722603 | 0.042242397 | 65.95518786 | 0.635547 | 0.010579019 | 0.639084652 | 30.3842697 |

| Ntu | ϵ | $\Delta p_{\text{udara}} (\text{N/m}^2)$ | $\Delta p_{\text{udara}} (\text{kgf/cm}^2)$ | $\Delta p_{\text{air laut}} (\text{N/m}^2)$ | $\Delta p_{\text{air laut}} (\text{kgf/cm}^2)$ |
|-------------|-------------|--|---|---|--|
| 6.950399197 | 0.931505165 | 7555.936006 | 0.077049104 | 4611.012325 | 0.047019 |
| 4.983995598 | 0.931505165 | 7555.936006 | 0.077049104 | 4611.012325 | 0.047019 |
| 7.365187855 | 0.925043491 | 7700.814946 | 0.078526459 | 4611.012325 | 0.047019 |
| 7.63596682 | 0.925043491 | 7700.814946 | 0.078526459 | 4611.012325 | 0.047019 |
| 7.927415935 | 0.925043491 | 7700.814946 | 0.078526459 | 4611.012325 | 0.047019 |
| 8.3079319 | 0.925043491 | 7700.814946 | 0.078526459 | 4611.012325 | 0.047019 |
| 8.87599562 | 0.925043491 | 7700.814946 | 0.078526459 | 4611.012325 | 0.047019 |
| 9.272245424 | 0.925043491 | 7700.814946 | 0.078526459 | 4611.012325 | 0.047019 |

Tabel A-11 Hasil Perhitungan *Intercooler 2* pada Bulan April 2015

| Bukaan | T_h in udara ($^{\circ}\text{C}$) | T_h out udara ($^{\circ}\text{C}$) | h in udara (kJ/kg) | h out udara (kJ/kg) | T_c in air laut ($^{\circ}\text{C}$) | T_c out air laut ($^{\circ}\text{C}$) |
|--------|---------------------------------------|--|----------------------|-----------------------|--|---|
| 100 | 160 | 42 | 435 | 315.7 | 30 | 43 |
| 80 | 160 | 43 | 435 | 316.7 | 30 | 43 |
| 70 | 160 | 43 | 435 | 316.7 | 30 | 43 |
| 65 | 160 | 43 | 435 | 316.7 | 30 | 43 |
| 55 | 160 | 43 | 435 | 316.7 | 30 | 43 |
| 45 | 160 | 42 | 435 | 315.7 | 30 | 43 |
| 40 | 160 | 42 | 435 | 315.7 | 30 | 43 |

| h in air laut (kJ/kg) | h out air laut (kJ/kg) | Q (m^3/s) | \dot{m}_{udara} (kg/s) | $\dot{m}_{\text{air laut}}$ (kg/s) | Q air laut (kJ/s) | Q udara (J/s) | C_p udara (j/kg.K) |
|-------------------------|--------------------------|-------------------------------|---------------------------------|------------------------------------|---------------------|-----------------|----------------------|
| 119.98 | 172.18 | 1.57 | 1.27955 | 4.5 | 234.9 | -152650.315 | 1017 |
| 119.98 | 172.18 | 1.56 | 1.2714 | 4.5 | 234.9 | -150406.62 | 1017 |
| 119.98 | 172.18 | 1.51 | 1.23065 | 4.5 | 234.9 | -145585.895 | 1017 |
| 119.98 | 172.18 | 1.48 | 1.2062 | 4.5 | 234.9 | -142693.46 | 1017 |
| 119.98 | 172.18 | 1.41 | 1.14915 | 4.5 | 234.9 | -135944.445 | 1017 |

| h_{in} air laut (kJ/kg) | h_{out} air laut (kJ/kg) | Q (m^3/s) | \dot{m}_{udara} (kg/s) | \dot{m}_{air} laut (kg/s) | Q_{air} laut (kJ/s) | Q_{udara} (J/s) | Cp_{udara} (j/kg.K) |
|------------------------------|-------------------------------|-----------------|-----------------------------|--------------------------------|--------------------------|-------------------|--------------------------|
| 119.98 | 172.18 | 1.29 | 1.05135 | 4.5 | 234.9 | -125426.055 | 1017 |
| 119.98 | 172.18 | 1.26 | 1.0269 | 4.5 | 234.9 | -122509.17 | 1017 |

| C_{udara} (J/s.K) | Cp_{air} laut(J/kg.K) | C_{air} laut (J/s.K) | Cr | q_{maks} (J/s) | $\rho_{in udara}$ (kg/m ³) | $\rho_{out udara}$ (kg/m ³) |
|---------------------|----------------------------|---------------------------|--------------|------------------|---|--|
| 1301.30235 | 4005 | 18022.5 | 0.07220432 | 169169.3055 | 0.815 | 1.1099 |
| 1293.0138 | 4005 | 18022.5 | 0.071744419 | 168091.794 | 0.815 | 1.1099 |
| 1251.57105 | 4005 | 18022.5 | 0.0694444919 | 162704.2365 | 0.815 | 1.1099 |
| 1226.7054 | 4005 | 18022.5 | 0.068065218 | 159471.702 | 0.815 | 1.1099 |
| 1168.68555 | 4005 | 18022.5 | 0.064845918 | 151929.1215 | 0.815 | 1.1099 |
| 1069.22295 | 4005 | 18022.5 | 0.059327116 | 138998.9835 | 0.815 | 1.1099 |
| 1044.3573 | 4005 | 18022.5 | 0.057947416 | 135766.449 | 0.815 | 1.1099 |

| $\rho_{in air}$ laut(kg/m ³) | $\rho_{out air}$ laut(kg/m ³) | V_{udara} (m/s) | V_{air} laut (m/s) | μ_{in} (kg/m.s) | μ_{out} (kg/m.s) | Pr_{udara} | Pr_{air} laut |
|---|--|-------------------|-------------------------|------------------------|-------------------------|--------------|--------------------|
| 1020.175 | 1018.35 | 1.26 | 2.33 | 0.0000243 | 0.000019325 | 0.693 | 5.0575 |

| L_2 (m) | L_3 (m) | L (m) | L_c (m) | N_t | N_l | N | N_{fin} | A_p (m^2) | A_{fin} (m^2) |
|-----------|-----------|-------------|-------------|-------|-------|-----|-------------|-----------------|---------------------|
| 0.61 | 0.457 | 0.020941176 | 0.021066176 | 12 | 16 | 192 | 2204.545455 | 2.74983305 | 280.5411166 |
| 0.61 | 0.457 | 0.020941176 | 0.021066176 | 12 | 16 | 192 | 2204.545455 | 2.74983305 | 280.5411166 |
| 0.61 | 0.457 | 0.020941176 | 0.021066176 | 12 | 16 | 192 | 2204.545455 | 2.74983305 | 280.5411166 |
| 0.61 | 0.457 | 0.020941176 | 0.021066176 | 12 | 16 | 192 | 2204.545455 | 2.74983305 | 280.5411166 |
| 0.61 | 0.457 | 0.020941176 | 0.021066176 | 12 | 16 | 192 | 2204.545455 | 2.74983305 | 280.5411166 |
| 0.61 | 0.457 | 0.020941176 | 0.021066176 | 12 | 16 | 192 | 2204.545455 | 2.74983305 | 280.5411166 |
| 0.61 | 0.457 | 0.020941176 | 0.021066176 | 12 | 16 | 192 | 2204.545455 | 2.74983305 | 280.5411166 |

| A_c (m^2) | A (m^2) | $2a''$ | b'' | $2b''$ | A_o (m^2) | A_{fr} (m^2) |
|-----------------|---------------|-------------|-------------|-------------|-----------------|--------------------|
| 0.241296 | 283.2909497 | 0.009975994 | 0.009979833 | 0.019959665 | 0.06318025 | 0.17811575 |
| 0.241296 | 283.2909497 | 0.009975994 | 0.009979833 | 0.019959665 | 0.06318025 | 0.17811575 |
| 0.241296 | 283.2909497 | 0.009975994 | 0.009979833 | 0.019959665 | 0.06318025 | 0.17811575 |
| 0.241296 | 283.2909497 | 0.009975994 | 0.009979833 | 0.019959665 | 0.06318025 | 0.17811575 |
| 0.241296 | 283.2909497 | 0.009975994 | 0.009979833 | 0.019959665 | 0.06318025 | 0.17811575 |
| 0.241296 | 283.2909497 | 0.009975994 | 0.009979833 | 0.019959665 | 0.06318025 | 0.17811575 |

| $A_c (m^2)$ | $A (m^2)$ | $2a''$ | b'' | $2b''$ | $A_o (m^2)$ | $A_{fr} (m^2)$ |
|-------------|-------------|-------------|-------------|-------------|-------------|----------------|
| 0.241296 | 283.2909497 | 0.009975994 | 0.009979833 | 0.019959665 | 0.06318025 | 0.17811575 |

| $D_h (m)$ | σ | G_{udara} (kg/m ² .s) | Re_D udara | Re_D air laut | N_{ud} udara | Nu_d air laut | j udara |
|-------------|-------------|---------------------------------------|--------------|-----------------|-------------------|--------------------|-------------|
| 0.002078295 | 0.354714561 | 2.895003797 | 247.5996992 | 1515.065534 | 7.54 | 3.66 | 0.034407813 |
| 0.002078295 | 0.354714561 | 2.895003797 | 247.5996992 | 1515.065534 | 7.54 | 3.66 | 0.034407813 |
| 0.002078295 | 0.354714561 | 2.895003797 | 247.5996992 | 1515.065534 | 7.54 | 3.66 | 0.034407813 |
| 0.002078295 | 0.354714561 | 2.895003797 | 247.5996992 | 1515.065534 | 7.54 | 3.66 | 0.034407813 |
| 0.002078295 | 0.354714561 | 2.895003797 | 247.5996992 | 1515.065534 | 7.54 | 3.66 | 0.034407813 |
| 0.002078295 | 0.354714561 | 2.895003797 | 247.5996992 | 1515.065534 | 7.54 | 3.66 | 0.034407813 |
| 0.002078295 | 0.354714561 | 2.895003797 | 247.5996992 | 1515.065534 | 7.54 | 3.66 | 0.034407813 |

| h_{udara} (W/m ² .K) | $h_{air laut}$ (W/m ² .K) | f_{udara} | $f_{air laut}$ | m | η_f | R_w |
|--------------------------------------|---|-------------|----------------|-------------|-------------|-------------|
| 129.3773017 | 167.3179432 | 0.387722603 | 0.042242397 | 65.81227287 | 0.636447603 | 0.010579019 |
| 129.3773017 | 167.3179432 | 0.387722603 | 0.042242397 | 65.81227287 | 0.636447603 | 0.010579019 |
| 129.3773017 | 167.3179432 | 0.387722603 | 0.042242397 | 65.81227287 | 0.636447603 | 0.010579019 |

| h_{udara} (W/m ² .K) | $h_{\text{air laut}}$ (W/m ² .K) | f_{udara} | $f_{\text{air laut}}$ | m | η_f | R_w |
|---|--|--------------------|-----------------------|-------------|-------------|-------------|
| 129.3773017 | 167.3179432 | 0.387722603 | 0.042242397 | 65.81227287 | 0.636447603 | 0.010579019 |
| 129.3773017 | 167.3179432 | 0.387722603 | 0.042242397 | 65.81227287 | 0.636447603 | 0.010579019 |
| 129.3773017 | 167.3179432 | 0.387722603 | 0.042242397 | 65.81227287 | 0.636447603 | 0.010579019 |
| 129.3773017 | 167.3179432 | 0.387722603 | 0.042242397 | 65.81227287 | 0.636447603 | 0.010579019 |

| η_o | U (W/m ² .K) | Ntu | ϵ | Δp_{udara} (N/m ²) | Δp_{udara} (kgf/cm ²) | $\Delta p_{\text{air laut}}$ (N/m ²) | $\Delta p_{\text{air laut}}$ (kgf/cm ²) |
|------------|------------------------------|------------|------------|--|---|---|--|
| 0.63997651 | 30.364746 | 6.61034524 | 0.9023523 | 7749.81426 | 0.0790261 | 4611.0123 | 0.047019 |
| 0.63997651 | 30.364746 | 6.65271925 | 0.8947885 | 7749.81426 | 0.0790261 | 4611.0123 | 0.047019 |
| 0.63997651 | 30.364746 | 6.87300797 | 0.8947885 | 7749.81426 | 0.0790261 | 4611.0123 | 0.047019 |
| 0.63997651 | 30.364746 | 7.01232570 | 0.8947885 | 7749.81426 | 0.0790261 | 4611.0123 | 0.047019 |
| 0.63997651 | 30.364746 | 7.36045534 | 0.8947885 | 7749.81426 | 0.0790261 | 4611.0123 | 0.047019 |
| 0.63997651 | 30.364746 | 8.04514886 | 0.9023523 | 7749.81426 | 0.0790261 | 4611.0123 | 0.047019 |
| 0.63997651 | 30.364746 | 8.23670003 | 0.9023523 | 7749.81426 | 0.0790261 | 4611.0123 | 0.047019 |

Tabel A-12 Hasil Perhitungan *Intercooler 2* pada *Comissioning*

| Bukaan | T_h in udara ($^{\circ}\text{C}$) | T_h out udara ($^{\circ}\text{C}$) | h in udara (kJ/kg) | h out udara (kJ/kg) | T_c in air laut ($^{\circ}\text{C}$) | T_c out air laut ($^{\circ}\text{C}$) | h in air laut (kJ/kg) | h out air laut (kJ/kg) | Q (m^3/s) |
|--------|---------------------------------------|--|----------------------|-----------------------|--|---|-------------------------|--------------------------|-----------------------------|
| 100 | 150.28 | 33.03 | 425.1 | 306.7 | 30 | 43 | 119.98 | 172.18 | 1.41 |

| \dot{m} udara (kg/s) | \dot{m} air laut (kg/s) | Q air laut (kJ/s) | Q udara (J/s) | C_p udara (J/kg.K) | C_p udara (J/s.K) | C_p air laut (J/kg.K) | C_p air laut (J/s.K) | Cr |
|------------------------|---------------------------|-------------------|---------------|----------------------|---------------------|-------------------------|------------------------|-------------|
| 4.5 | 234.9 | -166944 | 1017 | 1433.97 | 4005 | 18022.5 | 0.079565543 | 172477.9116 |

| q_{maks} (J/s) | $\rho_{\text{in udara}}$ (kg/m^3) | $\rho_{\text{out udara}}$ (kg/m^3) | $\rho_{\text{in air laut}}$ (kg/m^3) | $\rho_{\text{out air laut}}$ (kg/m^3) | v_{udara} (m/s) | $v_{\text{air laut}}$ (m/s) | μ_{in} ($\text{kg}/\text{m.s}$) |
|-------------------------|---|--|--|---|--------------------------|-----------------------------|--|
| 0.83425 | 1.11326 | 1020.175 | 1018.35 | 1.26 | 2.33 | 0.0000243 | 0.00001928 |

| μ_{out} ($\text{kg}/\text{m.s}$) | P_r udara | P_r air laut | k_f (W/m.K) | D_i (m) | D_o (m) | t_f (m) | D_r (m) | A_{tube} (m^2) |
|---|-------------|----------------|---------------|-----------|-----------|-----------|-----------|------------------------------------|
| 0.693 | 5.058 | 238.97 | 0.013395 | 0.015875 | 0.00025 | 0.01638 | 0.000198 | 0.0381 |

| P _t (m) | P _l (m) | L ₁ (m) | L ₂ (m) | L ₃ (m) | L (m) | L _c (m) | N _t | N _I | N | N _{fin} |
|--------------------|--------------------|--------------------|--------------------|--------------------|------------|--------------------|----------------|----------------|-------------|------------------|
| 0.033 | 0.528 | 0.61 | 0.457 | 0.020941176 | 0.02106617 | 12 | 16 | 192 | 2204.545455 | 2.74983305 |

| A _p (m ²) | A _{fin} (m ²) | A _c (m ²) | A (m ²) | 2a" | b" | 2b" | A _o (m ²) |
|----------------------------------|------------------------------------|----------------------------------|---------------------|-------------|-------------|------------|----------------------------------|
| 280.541117 | 0.241296 | 283.2909 | 0.009975994 | 0.009979833 | 0.019959665 | 0.06318025 | 0.1781157 |

| A _{fr} (m ²) | D _h (m) | σ | G _{udara} (kg/m ² .s) | Re _{D udara} | Re _{D air laut} | N _{ud udara} | N _{ud air laut} |
|-----------------------------------|--------------------|-------------|---|-----------------------|--------------------------|-----------------------|--------------------------|
| 0.0020783 | 0.354714561 | 2.963382722 | 253.447913 | 1515.065534 | 7.54 | 3.66 | 0.03361 |

| j udara | h _{udara} (W/m ² .K) | h _{air laut} (W/m ² .K) | f _{udara} | f _{air laut} | m | η _f |
|-------------|--|---|--------------------|-----------------------|-------------|----------------|
| 129.3773017 | 167.3179432 | 0.378776053 | 0.042242397 | 65.81227287 | 0.636447603 | 0.010579019 |

| R _w | η _o | U (W/m ² .K) | Ntu | ε | Δp _{udara} (N/m ²) | Δp _{udara} (kgf/cm ²) | Δp _{air laut} (N/m ²) |
|----------------|----------------|-------------------------|------------|------------|---|--|--|
| 0.63997651 | 30.856665 | 6.0959532 | 0.96791524 | 7817.24550 | 0.075 | 4611.012325 | 0.047019 |

Tabel B-1 Nilai Properties Bahan Logam

TABLE A-1 Thermophysical Properties of Selected Metallic Solids^a

| Composition | Melting Point (K) | ρ (kg/m ³) | Properties at 300 K | | | Properties at Various Temperatures (K) | | | | | | | | | | |
|---|----------------------|--------------------------------|---------------------|------------------|--|--|------|------|------|------|------|------|------|------|------|------|
| | | | c_p (J/kg · K) | k (W/m · K) | $\alpha \cdot 10^6$ (m ² /s) | 100 | 200 | 300 | 400 | 600 | 800 | 1000 | 1200 | 1500 | 2000 | 2500 |
| Aluminum Pure | 933 | 2702 | 903 | 237 | 97.1 | 302 | 237 | 240 | 231 | 218 | | | | | | |
| Alloy 2024-T6 (4.5% Cu, 1.5% Mg, 0.6% Mn) | 775 | 2770 | 875 | 177 | 73.0 | 65 | 482 | 798 | 949 | 1033 | 1146 | | | | | |
| Alloy 195, Cast (4.5% Cu) | 2790 | | 883 | 168 | 68.2 | | | 174 | 185 | 186 | 186 | | | | | |
| Beryllium | 1550 | 1850 | 1825 | 200 | 59.2 | 990 | 203 | 301 | 161 | 126 | 106 | 90.8 | 78.7 | | | |
| Bismuth | 545 | 9780 | 122 | 7.86 | 6.59 | 16.5 | 1114 | 2191 | 2604 | 2823 | 3018 | 3227 | 3519 | | | |
| Boron | 2573 | 2500 | 1107 | 27.0 | 9.76 | 190 | 120 | 127 | | | | | | | | |
| Cadmium | 594 | 8650 | 231 | 96.8 | 48.4 | 203 | 55.5 | 16.8 | 10.6 | 9.60 | 9.85 | | | | | |
| Chromium | 2118 | 7160 | 449 | 93.7 | 29.1 | 159 | 222 | 242 | 1892 | 2160 | 2358 | | | | | |
| Cobalt | 1769 | 8862 | 421 | 99.2 | 26.6 | 167 | 384 | 484 | 542 | 581 | 616 | 682 | 779 | | | |
| Copper Pure | 1358 | 8933 | 385 | 401 | 117 | 482 | 413 | 393 | 379 | 366 | 352 | 339 | | | | |
| Commercial bronze (90% Cu, 10% Al) | 1293 | 8800 | 420 | 52 | 14 | 252 | 356 | 397 | 417 | 433 | 451 | 480 | | | | |
| Phosphor gear bronze (89% Cu, 11% Sn) | 1104 | 8780 | 355 | 54 | 17 | 14 | 785 | 460 | 545 | | | | | | | |
| Cartridge brass (70% Cu, 30% Zn) | 1188 | 8530 | 380 | 110 | 33.9 | 75 | 41 | 52 | 59 | | | | | | | |
| Constantan (55% Cu, 45% Ni) | 1493 | 8920 | 384 | 23 | 6.71 | 17 | 95 | 137 | 149 | | | | | | | |
| Germanium | 1211 | 5360 | 322 | 59.9 | 34.7 | 232 | 290 | 43.2 | 27.3 | 19.8 | 17.4 | 17.4 | | | | |

Tabel B-2 Properties Udara

Appendix B

Physical Properties of Air, Water, Liquid Metals, and Refrigerants

TABLE B.1
Properties of Dry Air at Atmospheric Pressure

| Temperature (°C) | ρ (kg/m ³) | c_p (kJ/kg · K) | k (W/m · K) | $\beta \times 10^3$ (1/K) | $\mu \times 10^3$ (kg/m · s) | $v \times 10^6$ (m ² /s) | $\alpha \times 10^6$ (m ² /s) | Pr |
|---------------------|--------------------------------|----------------------|------------------|------------------------------|---------------------------------|--|---|-------|
| -150 | 2.793 | 1.026 | 0.0120 | 8.21 | 0.870 | 3.11 | 4.19 | 0.74 |
| -100 | 1.980 | 1.009 | 0.0165 | 5.82 | 1.18 | 5.96 | 8.28 | 0.72 |
| -50 | 1.534 | 1.005 | 0.0206 | 4.51 | 1.47 | 9.55 | 13.4 | 0.715 |
| 0 | 1.2930 | 1.005 | 0.0242 | 3.67 | 1.72 | 13.30 | 18.7 | 0.711 |
| 20 | 1.2045 | 1.005 | 0.0257 | 3.43 | 1.82 | 15.11 | 21.4 | 0.713 |
| 40 | 1.1267 | 1.009 | 0.0271 | 3.20 | 1.91 | 16.97 | 23.9 | 0.711 |
| 60 | 1.0595 | 1.009 | 0.0285 | 3.00 | 2.00 | 18.90 | 26.7 | 0.709 |
| 80 | 0.9908 | 1.009 | 0.0299 | 2.83 | 2.10 | 20.94 | 29.6 | 0.708 |
| 100 | 0.9458 | 1.013 | 0.0314 | 2.68 | 2.18 | 23.06 | 32.8 | 0.704 |
| 120 | 0.8980 | 1.013 | 0.0328 | 2.55 | 2.27 | 25.23 | 36.1 | 0.70 |
| 140 | 0.8535 | 1.013 | 0.0343 | 2.43 | 2.35 | 27.55 | 39.7 | 0.694 |
| 160 | 0.8150 | 1.017 | 0.0358 | 2.32 | 2.43 | 29.85 | 43.0 | 0.693 |
| 180 | 0.7785 | 1.022 | 0.0372 | 2.21 | 2.51 | 32.29 | 46.7 | 0.69 |
| 200 | 0.7475 | 1.026 | 0.0386 | 2.11 | 2.58 | 34.63 | 50.5 | 0.685 |
| 250 | 0.6745 | 1.034 | 0.0421 | 1.91 | 2.78 | 41.17 | 60.3 | 0.68 |
| 300 | 0.6157 | 1.047 | 0.0390 | 1.75 | 2.95 | 47.85 | 70.3 | 0.68 |
| 350 | 0.5662 | 1.055 | 0.0485 | 1.61 | 3.12 | 55.05 | 81.1 | 0.68 |
| 400 | 0.5242 | 1.068 | 0.0516 | 1.49 | 3.28 | 62.53 | 91.9 | 0.68 |
| 450 | 0.4875 | 1.080 | 0.0543 | — | 3.44 | 70.54 | 103.1 | 0.685 |
| 500 | 0.4564 | 1.092 | 0.0570 | — | 3.66 | 70.48 | 114.2 | 0.69 |
| 600 | 0.4041 | 1.114 | 0.0621 | — | 3.58 | 95.57 | 138.2 | 0.69 |
| 700 | 0.3625 | 1.135 | 0.0667 | — | 4.12 | 113.7 | 162.2 | 0.70 |
| 800 | 0.3287 | 1.156 | 0.0706 | — | 4.37 | 132.8 | 185.8 | 0.715 |
| 900 | 0.321 | 1.172 | 0.0741 | — | 4.59 | 152.5 | 210 | 0.725 |
| 1000 | 0.277 | 1.185 | 0.0770 | — | 4.80 | 175 | 235 | 0.735 |

From Kakaç, S. and Yener, Y. (1995) *Convective Heat Transfer*, 2nd ed., CRC Press, Boca Raton, FL. With permission.

Tabel B-3 Nilai Enthalphy Air Laut

Specific enthalpy, kJ/kg

| Temp, °C | Salinity, g/kg | | | | | | | | | | | | |
|----------|----------------|-------|-------|-------|-------|-------|-------|-------|-------|-------|-------|-------|-------|
| | 0 | 10 | 20 | 30 | 40 | 50 | 60 | 70 | 80 | 90 | 100 | 110 | 120 |
| 10 | 42.1 | 41.4 | 40.6 | 39.8 | 39.1 | 38.3 | 37.6 | 36.8 | 36.1 | 35.3 | 34.6 | 33.8 | 33.1 |
| 20 | 84.0 | 82.8 | 81.5 | 80.3 | 79.0 | 77.8 | 76.6 | 75.3 | 74.1 | 72.9 | 71.8 | 70.4 | 69.1 |
| 30 | 125.8 | 124.1 | 122.4 | 120.7 | 118.9 | 117.2 | 115.5 | 113.8 | 112.1 | 110.3 | 108.6 | 106.9 | 105.2 |
| 40 | 167.6 | 165.4 | 163.2 | 161.0 | 158.8 | 156.6 | 154.4 | 152.2 | 150.0 | 147.8 | 145.6 | 143.4 | 141.2 |
| 50 | 209.4 | 206.7 | 204.0 | 201.4 | 198.7 | 196.0 | 193.3 | 190.6 | 187.9 | 185.2 | 182.5 | 179.8 | 177.2 |
| 60 | 251.2 | 248.1 | 244.9 | 241.7 | 238.5 | 235.4 | 232.2 | 229.0 | 225.9 | 222.7 | 219.5 | 216.3 | 213.2 |
| 70 | 293.1 | 289.4 | 285.8 | 282.1 | 278.5 | 274.8 | 271.1 | 267.5 | 263.8 | 260.2 | 256.5 | 252.9 | 249.2 |
| 80 | 335.0 | 330.8 | 326.7 | 322.6 | 318.4 | 314.3 | 310.1 | 306.0 | 301.9 | 297.7 | 293.6 | 289.5 | 285.3 |
| 90 | 377.0 | 372.4 | 367.7 | 363.1 | 358.5 | 353.9 | 349.2 | 344.6 | 340.0 | 335.4 | 330.8 | 326.1 | 321.5 |
| 100 | 419.1 | 414.0 | 408.9 | 403.8 | 398.7 | 393.6 | 388.5 | 383.4 | 378.3 | 373.1 | 368.0 | 362.9 | 357.8 |
| 110 | 461.4 | 455.8 | 450.2 | 444.6 | 439.0 | 433.4 | 427.8 | 422.2 | 416.6 | 411.1 | 405.5 | 399.9 | 394.3 |
| 120 | 503.8 | 497.7 | 491.6 | 485.6 | 479.5 | 473.4 | 467.3 | 461.3 | 455.2 | 449.1 | 443.1 | 437.0 | 430.9 |

Tabel B-4 Massa Jenis Air Laut

Density, kg/m³

| Temp, °C | Salinity, g/kg | | | | | | | | | | | | |
|----------|----------------|--------|--------|--------|--------|--------|--------|--------|--------|--------|--------|--------|--------|
| | 0 | 10 | 20 | 30 | 40 | 50 | 60 | 70 | 80 | 90 | 100 | 110 | 120 |
| 0 | 999.8 | 1007.9 | 1016.0 | 1024.0 | 1032.0 | 1040.0 | 1048.0 | 1056.1 | 1064.1 | 1072.1 | 1080.1 | 1088.1 | 1096.2 |
| 10 | 999.7 | 1007.4 | 1015.2 | 1023.0 | 1030.9 | 1038.7 | 1046.6 | 1054.4 | 1062.2 | 1070.1 | 1077.9 | 1085.7 | 1093.6 |
| 20 | 998.2 | 1005.7 | 1013.4 | 1021.1 | 1028.8 | 1036.5 | 1044.1 | 1051.8 | 1059.5 | 1067.2 | 1074.9 | 1082.6 | 1090.3 |
| 30 | 995.7 | 1003.1 | 1010.7 | 1018.2 | 1025.8 | 1033.4 | 1040.9 | 1048.5 | 1056.1 | 1063.8 | 1071.2 | 1078.7 | 1086.3 |
| 40 | 992.2 | 999.7 | 1007.1 | 1014.6 | 1022.1 | 1029.5 | 1037.0 | 1044.5 | 1052.0 | 1059.4 | 1066.9 | 1074.4 | 1081.8 |
| 50 | 988.0 | 985.5 | 1002.9 | 1010.3 | 1017.7 | 1025.1 | 1032.5 | 1039.9 | 1047.3 | 1054.7 | 1062.1 | 1069.5 | 1076.9 |
| 60 | 983.2 | 990.6 | 998.0 | 1005.3 | 1012.7 | 1020.0 | 1027.4 | 1034.7 | 1042.1 | 1049.5 | 1056.8 | 1064.2 | 1071.5 |
| 70 | 977.8 | 985.1 | 992.5 | 999.8 | 1007.1 | 1014.5 | 1021.8 | 1029.1 | 1036.5 | 1043.8 | 1051.2 | 1058.5 | 1065.8 |
| 80 | 971.8 | 979.1 | 986.5 | 993.8 | 1001.1 | 1008.5 | 1015.8 | 1023.1 | 1030.5 | 1037.8 | 1045.1 | 1052.5 | 1059.8 |
| 90 | 965.3 | 972.6 | 980.0 | 987.3 | 994.7 | 1002.0 | 1009.4 | 1016.8 | 1024.1 | 1031.5 | 1038.8 | 1046.2 | 1053.5 |
| 100 | 958.4 | 965.7 | 973.1 | 980.5 | 987.9 | 995.2 | 1002.6 | 1010.0 | 1017.4 | 1024.8 | 1032.2 | 1039.6 | 1047.0 |
| 110 | 950.9 | 958.3 | 965.8 | 973.2 | 980.6 | 988.1 | 995.5 | 1003.0 | 1010.4 | 1017.8 | 1025.3 | 1032.7 | 1040.2 |
| 120 | 943.1 | 950.6 | 958.1 | 965.6 | 973.1 | 980.6 | 988.1 | 995.6 | 1003.1 | 1010.6 | 1018.1 | 1025.6 | 1033.1 |

Tabel B-5 Nilai Cp Air Laut

Specific heat at constant pressure, J/kg K

| Temp, °C | Salinity, g/kg | | | | | | | | | | | | |
|----------|----------------|--------|--------|--------|--------|--------|--------|--------|--------|--------|--------|--------|--------|
| | 0 | 10 | 20 | 30 | 40 | 50 | 60 | 70 | 80 | 90 | 100 | 110 | 120 |
| 0 | 4206.8 | 4142.1 | 4079.9 | 4020.1 | 3982.7 | 3907.8 | 3855.3 | 3805.2 | 3757.8 | 3712.4 | 3669.7 | 3629.3 | 3591.5 |
| 10 | 4196.7 | 4136.7 | 4078.8 | 4022.8 | 3968.9 | 3918.9 | 3867.1 | 3819.2 | 3773.3 | 3729.5 | 3687.7 | 3647.9 | 3610.1 |
| 20 | 4189.1 | 4132.8 | 4078.2 | 4025.3 | 3974.1 | 3924.5 | 3876.6 | 3830.4 | 3785.9 | 3743.0 | 3701.8 | 3662.3 | 3624.5 |
| 30 | 4183.9 | 4130.5 | 4078.5 | 4027.8 | 3978.6 | 3930.8 | 3884.4 | 3839.4 | 3795.8 | 3753.6 | 3712.7 | 3673.3 | 3635.3 |
| 40 | 4181.0 | 4129.7 | 4079.6 | 4030.7 | 3982.9 | 3938.4 | 3891.0 | 3846.7 | 3803.7 | 3761.8 | 3721.1 | 3681.6 | 3643.2 |
| 50 | 4180.6 | 4130.8 | 4081.9 | 4034.1 | 3987.3 | 3941.5 | 3896.6 | 3852.9 | 3810.1 | 3768.3 | 3727.5 | 3687.8 | 3649.0 |
| 60 | 4182.7 | 4133.7 | 4085.5 | 4038.3 | 3992.0 | 3946.5 | 3902.0 | 3858.3 | 3815.5 | 3773.7 | 3732.7 | 3692.6 | 3653.4 |
| 70 | 4187.1 | 4138.5 | 4090.6 | 4043.6 | 3997.3 | 3951.9 | 3907.4 | 3863.6 | 3820.6 | 3778.5 | 3737.2 | 3696.7 | 3657.0 |
| 80 | 4194.0 | 4145.3 | 4097.3 | 4050.1 | 4003.7 | 3958.1 | 3913.3 | 3869.2 | 3825.9 | 3783.5 | 3741.7 | 3700.8 | 3660.7 |
| 90 | 4203.4 | 4154.2 | 4105.9 | 4058.3 | 4011.5 | 3965.4 | 3920.2 | 3875.7 | 3832.0 | 3789.1 | 3746.9 | 3705.6 | 3665.0 |
| 100 | 4215.2 | 4165.4 | 4116.4 | 4068.2 | 4020.9 | 3974.3 | 3928.5 | 3883.6 | 3839.4 | 3796.0 | 3753.5 | 3711.7 | 3670.8 |
| 110 | 4229.4 | 4178.8 | 4129.1 | 4080.2 | 4032.2 | 3985.1 | 3938.7 | 3893.3 | 3848.6 | 3804.9 | 3761.9 | 3719.9 | 3678.6 |
| 120 | 4246.1 | 4194.7 | 4144.2 | 4094.6 | 4045.9 | 3998.2 | 3951.3 | 3905.4 | 3860.3 | 3816.2 | 3773.0 | 3730.7 | 3689.4 |

Tabel B-6 Nilai *Prandtl* Air Laut

Prandtl number

| Temp, °C | Salinity, g/kg | | | | | | | | | | | | |
|----------|----------------|-------|-------|-------|-------|-------|-------|-------|-------|-------|-------|-------|-------|
| | 0 | 10 | 20 | 30 | 40 | 50 | 60 | 70 | 80 | 90 | 100 | 110 | 120 |
| 0 | 13.18 | 13.21 | 13.25 | 13.31 | 13.40 | 13.50 | 13.63 | 13.78 | 13.94 | 14.13 | 14.34 | 14.56 | 14.81 |
| 10 | 9.32 | 9.36 | 9.41 | 9.48 | 9.56 | 9.65 | 9.76 | 9.87 | 10.00 | 10.14 | 10.30 | 10.46 | 10.64 |
| 20 | 6.95 | 7.00 | 7.08 | 7.12 | 7.19 | 7.27 | 7.36 | 7.46 | 7.56 | 7.67 | 7.79 | 7.92 | 8.05 |
| 30 | 5.40 | 5.45 | 5.51 | 5.57 | 5.63 | 5.70 | 5.78 | 5.86 | 5.94 | 6.03 | 6.13 | 6.23 | 6.33 |
| 40 | 4.34 | 4.38 | 4.43 | 4.49 | 4.54 | 4.60 | 4.67 | 4.74 | 4.81 | 4.88 | 4.96 | 5.04 | 5.13 |
| 50 | 3.57 | 3.61 | 3.66 | 3.71 | 3.76 | 3.81 | 3.87 | 3.93 | 3.99 | 4.05 | 4.12 | 4.18 | 4.25 |
| 60 | 3.00 | 3.04 | 3.08 | 3.12 | 3.17 | 3.22 | 3.27 | 3.32 | 3.37 | 3.42 | 3.48 | 3.54 | 3.60 |
| 70 | 2.57 | 2.60 | 2.64 | 2.68 | 2.72 | 2.78 | 2.81 | 2.85 | 2.90 | 2.94 | 2.99 | 3.04 | 3.09 |
| 80 | 2.23 | 2.27 | 2.30 | 2.33 | 2.37 | 2.41 | 2.45 | 2.49 | 2.53 | 2.57 | 2.61 | 2.66 | 2.70 |
| 90 | 1.97 | 2.00 | 2.03 | 2.06 | 2.09 | 2.13 | 2.16 | 2.20 | 2.23 | 2.27 | 2.31 | 2.35 | 2.39 |
| 100 | 1.76 | 1.78 | 1.81 | 1.84 | 1.87 | 1.90 | 1.93 | 1.96 | 1.99 | 2.03 | 2.06 | 2.10 | 2.13 |
| 110 | 1.59 | 1.61 | 1.63 | 1.66 | 1.69 | 1.71 | 1.74 | 1.77 | 1.80 | 1.83 | 1.86 | 1.89 | 1.93 |
| 120 | 1.45 | 1.47 | 1.49 | 1.51 | 1.54 | 1.56 | 1.59 | 1.61 | 1.64 | 1.67 | 1.70 | 1.73 | 1.76 |

DAFTAR PUSTAKA

- [1] Eddy Liemena, Aloysius. 2010. “*Analisis Energi pada Kompresor Tiga Tingkat yang Mengalami Penurunan Tekanan*”. Nitro Pdf Profesional.
- [2] Incropera, Frank P. and Dewitt, David P. (1981). “*Fundamentals of Heat and Mass Transfer Sixth Edition*”. John Wiley & Sons. Inc.
- [3] Kakac, Sadic and Hongtan Liu. 2004. “*Heat Exchanger : Desain, Selection and Thermal Design*”. CRC Press
- [4] Kays and London. 1955. “*Compact Heat Exchangers Second Edition*”. McGraw-Hill Book Company. USA
- [5] Lopata, Stanisław and Ocło, Paweł. 2015. *Numerical study of the effect of fouling on local heat transfer conditions in a high-temperature fin-and-tube heat exchanger*. Elsevier
- [6] Moran, M.J and Howard N, Shapiro. 2000. “*Fundamental Engineering Thermodynamics*”. John Wiley & Sons Inc. Chichester.
- [7] Shah, Ramesh K. 2003. “*Fundamentals Of Heat Exchanger Design*”. John Wiley & Sons Inc. Chichester.
- [8] T. Kuppan. “*Heat Exchanger Design Handbook*”. L.L Faulkner

“Halaman Sengaja akan Dikosongkan”

BIODATA PENULIS



Nia Rosalina lahir di Malang pada tanggal 14 April 1994, merupakan anak ketiga dari pasangan Suprapto dan Suhartatik. Penulis menyelesaikan pendidikan dasar di SDN Lawang V (2000-2006), SMPN 1 Singosari (2006-2009), SMA Negeri 01 Lawang (2009-2012). Kemudian penulis melanjutkan pendidikan tinggi di Institut Teknologi Sepuluh Nopember Surabaya Jurusan Teknik Mesin dan lulus pada tahun 2016.

Selama kuliah di jurusan teknik mesin penulis aktif dalam berorganisasi di dalam Lembaga Bengkel Mahasiswa Mesin sebagai staff divisi umum (2013 dan 2015) dan Kabiro Event Internal divisi umum (2014). Selain itu, penulis juga berkegiatan dalam bidang akademik diantaranya menjadi asisten dan grader Laboratorium Perpindahan Panas Dan Massa (2015-2016). Di jurusan Teknik Mesin, penulis mengambil bidang studi Konversi energi sebagai bahan Tugas Akhir.

Jika ada informasi, pertanyaan, maupun saran yang ingin disampaikan kepada penulis, dapat menghubungi penulis melalui email niarosalina22@gmail.com